



DIREZIONE CENTRALE PROGRAMMAZIONE PROGETTAZIONE

PA 12/09

CORRIDOIO PLURIMODALE TIRRENICO - NORD EUROPA
ITINERARIO AGRIGENTO - CALTANISSETTA - A19
S.S. N° 640 "DI PORTO EMPEDOCLE"
AMMODERNAMENTO E ADEGUAMENTO ALLA CAT. B DEL D.M. 5.11.2001
Dal km 44+000 allo svincolo con l'A19

PROGETTO ESECUTIVO

Contraente Generale:



OPERE D'ARTE MINORI - MURI IN C.A.

MU. 83 - Muro di sottoscarpa 49.94 mt - da 20+873.00 a 20+921.54

Relazione di calcolo

Codice Unico Progetto (CUP): F91B09000070001																				
Codice Elaborato:																				
PA12_09 - E 0 1 4 R I 2 1 3 M U 8 3 6 C L 2 4 1							A	Scala:												
F																				•
Е																				
D																				
С																				
В																				
Α	Aprile 2011				EMI	SSIC	NE	\wedge			M.R	ESTA	NO	F	A.TUR	so	M.	LITI		P. PAGLINI
REV. DATA DESCRIZIONE REDATTO VERIFICATO APPROVATO						AUTORIZZATO														
Respons	Responsabile del procedimento: Ing. MAURIZIO ARAMINI																			
						SOL	A	0/	NO	-										



ORUMENTE Specialista:







S.S. N° 640 "DI PORTO EMPEDOCLE" AMMODERNAMENTO E ADEGUAMENTO ALLA CAT. B DEL D.M. 5.11.2001 Dal km 44+000 allo svincolo con l'A19

PROGETTO ESECUTIVO

OPERE D'ARTE MINORI MURI IN C.A. M.U. 83 RELAZIONE DI CALCOLO

INDICE

INDICE	<u></u>
1. DESCRIZIONE DELLE OPERE	3
1.1. LE OPERE PROGETTATE	
1.2. NORMATIVE DI RIFERIMENTO	
1.3. DURABILITÀ E PRESCRIZIONI DEI MATERIALI	
1.3.1. CLASSI DI ESPOSIZIONE AMBIENTALE	
1.3.2. COPRIFERRO MINIMO E COPRIFERRO NOMINALE	
1.3.3. CARATTERISTICHE DEI COSTITUENTI IL CALCESTRUZZO	
1.3.4. CARATTERISTICHE DELLE MISCELE	
1.4. CARATTERISTICHE GEOTECNICHE DEI TERRENI	9
2. SCHEMATIZZAZIONE DEL MODELLO DI CALCOLO	11
2.1. Analisi dei carichi	
2.1.1. PESO PROPRIO STRUTTURA (G1)	
2.1.2. Dati sismici	
2.2. COMBINAZIONI DI CARICO	
3. I CODICI DI CALCOLO	14
3.1. CARATTERISTICHE DEL SOFTWARE MAX10.0	14
3.1.1. SCHEMATIZZAZIONE DI CALCOLO	14
3.1.2. VERIFICHE	
4. ESAME DEI RISULTATI	16
4.1.1. MURO TIPO "1"	16
4.1.2. MURO TIPO "2"	

Cod. elab.: 014RI213-MU83-6-CL-241_A	Titolo: OPERE D'ARTE MINORI - MURI IN C.A.	Data: Aprile 2011
	MU.83 - Muro di sottoscarpa 49.94 mt - da 20+873.00 a 20+921.54	P 2 di 120
Nome file: 014RI213-MU83-6-CL-241_A.docx	Relazione di calcolo	Pagina 2 di 130

1. DESCRIZIONE DELLE OPERE

La presente relazione ha per oggetto il calcolo e la verifica del muro M.U. 83 di sottoscarpa in calcestruzzo armato gettato in opera da realizzare lungo la viabilità principale.

I calcoli dell'opera in oggetto sono stati affrontati sulla base dei metodi indicati dalla normativa vigente in materia e più dettagliatamente riportati nei paragrafi successivi.

Nella relazione si descrivono i problemi di carattere strutturale che sono stati affrontati nel corso della progettazione e per essi vengono esposte le modalità di soluzione e le procedure di calcolo adottate per la determinazione delle dimensioni delle strutture principali.

La relazione si completa mediante una serie di elaborati che consistono in tabelle schematiche riportanti le caratteristiche della sollecitazione utilizzate alla base della verifica degli elementi strutturali costituenti il manufatto, nonché le verifiche di resistenza dei materiali, eseguite nelle sezioni più significative e maggiormente sollecitate dei manufatti.

1.1. LE OPERE PROGETTATE

L'opera sarà realizzata mediante una piastra di fondazione sulla quale si innesteranno i paramenti verticali in cemento armato, a spessore variabile. L'opera in esame è caratterizzata da altezze del paramento variabili ,ai fini delle verifiche si è schematizzata l'altezza massima del muro relativamente alla tipologia in questione; per la descrizione dettagliata si rimanda agli elaborati grafici specifici .

1.2. NORMATIVE DI RIFERIMENTO

La progettazione degli elementi strutturali è stata condotta in conformità al quadro legislativo attualmente vigente in merito al dimensionamento delle strutture e per quanto riguarda la classificazione sismica del territorio nazionale. Le norme di riferimento adottate sono riportate nel seguito:

- Legge 5 Novembre 1971 n° 1086 Norma per la disciplina delle opere in conglomerato cementizio, normale e precompresso ed a struttura metallica;
- NTC2008 Norme Tecniche delle costruzioni D.M. 14 Gennaio 2008;
- Norma tecnica UNI ENV 1992-1-1:1993, Eurocodice 2 progettazione delle strutture di calcestruzzo;

Cod. elab.: 014RI213-MU83-6-CL-241_	Titolo: OPERE D'ARTE MINORI - MURI IN C.A.	Data: Aprile 2011
Nome file: 014RI213-MU83-6-CL-241_A.docx	MU.83 - Muro di sottoscarpa 49.94 mt - da 20+873.00 a 20+921.54	Pagina 3 di 130
Nome fue. 014M215-M005-0-CL-241_A.d	Relazione di calcolo	1 agina 3 di 130

1.3. DURABILITÀ E PRESCRIZIONI DEI MATERIALI

La forte importanza che riveste la durabilità dell'opera in funzione dell'ambiente nel quale è inserita, ha comportato una notevole attenzione alle tipologie dei materiali da utilizzarsi per le strutture da realizzare. Si consideri, infatti, che il manufatto deve garantire adeguati livelli di sicurezza anche dopo l'inevitabile degrado dei materiali dovuto al tempo ed all'azione degli agenti atmosferici.

Tutti questi elementi ambientali costituiscono dei fattori importantissimi dai quali non è possibile esulare quando si stabilisce la tipologia dei materiali che saranno impiegati per la realizzazione dell'opera, pensando questo nell'ottica di garantire alla stessa una vita media compatibile con l'investimento che si sta realizzando.

1.3.1. Classi di esposizione ambientale

Ai fini di una corretta prescrizione del calcestruzzo, occorre classificare l'ambiente nel quale ciascun elemento strutturale sarà inserito. Per "ambiente", in questo contesto, si intende l'insieme delle azioni chimico-fisiche alle quali si presume che potrà essere esposto il calcestruzzo durante il periodo di vita delle opere e che causa effetti che non possono essere classificati come dovuti a carichi o ad azioni indirette quali deformazioni impresse, cedimenti e variazioni termiche.

In funzione di tali azioni, sono individuate le classi e sottoclassi di esposizione ambientale del calcestruzzo elencate nella tabella che segue.

Cod. elab.: 014RI213-MU83-6-CL-241_A	Titolo: OPERE D'ARTE MINORI - MURI IN C.A.	Data: Aprile 2011
N 61. 014D1012 M102 6 GL 241 4 dece	MU.83 - Muro di sottoscarpa 49.94 mt - da 20+873.00 a 20+921.54	
Nome file: 014RI213-MU83-6-CL-241_A.docx	Relazione di calcolo	Pagina 4 di 130

Classi di esposizione per calcestruzzo strutturale, in funzione delle condizioni ambientali secondo norma UNI 11104:2004 e UNI EN 206-1:2006

Classe esposizione norma UNI 9858	Classe esposizione norma UNI 11104 UNI EN 206 –1	Descrizione dell'ambiente	Esempio	Massimo rapporto a/c	Minima Classe di resistenza	Contenuto minimo in aria (%)
1 Assenza	a di rischio di	corrosione o attacco				
1	Χo	Per calcestruzzo privo di armatura o inserti metallici: tutte le esposizioni eccetto dove c'è gelo/disgelo, o attacco chimico. Calcestruzzi con armatura o inserti metallici:in ambiente molto asciutto.	Interno di edifici con umidità relativa molto bassa. Calcestruzzo non armato all'interno di edifici. Calcestruzzo non armato immerso in suolo non aggressivo o in acqua non aggressiva. Calcestruzzo non armato soggetto a cicli di bagnato asciutto ma non soggetto ad abrasione, gelo o attacco chimico.	-	C 12/15	
Nota - Le cond condizioni rifle	fizioni di umidità si ri ttano quelle dell'amb	a carbonatazione feriscono a quelle presenti nel copi piente circostante.In questi casi la c estruzzo e il suo ambiente.	fferro o nel ricoprimento di inserti metallici, ma in r lassificazione dell'ambiente circostante può esser	molti casi su e adeguata	può considera Questo può no	re che tali on essere il
2 a	XC1	Asciutto o permanentemente bagnato.	Interni di edifici con umidità relativa bassa. Calcestruzzo armato ordinario o precompresso con le superfici all'interno di strutture con eccezione delle parti esposte a condensa, o immerse i acqua.	0,60	C 25/30	
2 a	XC2	Bagnato, raramente asciutto.	Parti di strutture di contenimento liquidi,fondazioni. Calcestruzzo armato ordinario o precompresso prevalentemente immerso in acqua o terreno non aggressivo.	0,60	C 25/30	
5 a	хсз	Umidità moderata.	Calcestruzzo armato ordinario o precompresso in esterni con superfici esterne riparate dalla pioggia, o in intemi con umidità da moderata ad alta.	0,55	C 28/35	
4 a 5 b	XC4	Ciclicamente asciutto e bagnato.	Calcestruzzo armato ordinario o precompresso in esterni con superfici soggette a alternanze di asciutto ed umido. Calcestruzzi a vista in ambienti urbani. Superfici a contatto con l'acqua non comprese nella classe XC2.	0,50	C 32/40	
3 Corrosi	one indotta d	a cloruri esclusi quelli	provenenti dall'acqua di mare			
5 a	XD1	Umidità moderata.	Calcestruzzo armato ordinario o precompresso in superfici o parti di ponti e viadotti esposti a spruzzi d'acqua contenenti cloruri.	0,55	C 28/35	
4 a 5 b	XD2	Bagnato, raramente asciutto.	Calcestruzzo armato ordinario o precompresso in elementi strutturali totalmente immersi in acqua anche industriale contenete cloruri (Piscine).	0,50	C 32/40	
5 c	XDз	Ciclicamente bagnato e asciutto.	Calcestruzzo armato ordinario o precompresso, di elementi strutturali direttamente soggetti agli agenti disgelanti o agli spruzzi contenenti agenti disgelanti. Calcestruzzo armato ordinario o precompresso, elementi con una superficie immersa in acqua contenente cloruri e l'altra esposta all'aria. Parti di ponti, pavimentazioni e parcheggi per auto.	0,45	C 35/45	

Cod. elab.: 014RI213-MU83-6-CL-241_A	Titolo: OPERE D'ARTE MINORI - MURI IN C.A.	Data: Aprile 2011
N. CL. OLIDPOLO MUON C. CL. O.L. A. I.	MU.83 - Muro di sottoscarpa 49.94 mt - da 20+873.00 a 20+921.54	
Nome file: 014RI213-MU83-6-CL-241_A.docx	Relazione di calcolo	Pagina 5 di 130

Classe esposizione norma UNI 9858	Classe esposizione norma UNI 11104 UNI EN 206 -1	Descrizione dell'ambiente	Esempio	Massimo rapporto a/c	Minima Classe di resistenza	Contenuto minimo in aria (%)
4 Corrosi	one indotta d	la cloruri presenti nell'a	acqua di mare			
4 a 5 b	XS1	Esposto alla salsedine marina ma non direttamente in contatto con l'acqua di mare .	Calcestruzzo armato ordinario o precompresso con elementi strutturali sulle coste o in prossimità.	0,50	C 32/40	
	XS2	Permanentemente sommerso.	Calcestruzzo armato ordinario o precompresso di strutture marine completamente immersi in acqua.	0,45	C 35/45	
	XS3	Zone esposte agli spruzzi o alle marea.	Calcestruzzo armato ordinario o precompresso con elementi strutturali esposti alla battigia o alle zone soggette agli spruzzi ed onde del mare.	0,45	C 35/45	
5 Attacco	dei cicli di ge	elo/disgelo con o senza	disgelanti *			
2 b	XF1	Moderata saturazione d'acqua,in assenza di agente disgelante.	Superfici verticali di calcestruzzo come facciate e colonne esposte alla pioggia ed al gelo. Superfici non verticali e non soggette alla completa saturazione ma esposte al gelo, alla pioggia o all'acqua.	0,50	C 32/40	
3	XF2	Moderata saturazione d'acqua, in presenza di agente disgelante.	Elementi come parti di ponti che in altro modo sarebbero classificati come XF1 ma che sono esposti direttamente o indirettamente agli agenti disgelanti.	0,50	C 25/30	3,0
2 b	XF3	Elevata saturazione d'acqua, in assenza di agente disgelante	Superfici orizzontali in edifici dove l'acqua può accumularsi e che possono essere soggetti ai fenomeni di gelo, elementi soggetti a frequenti bagnature ed esposti al gelo.	0,50	C 25/30	3,0
3	XF4	Elevata saturazione d'acqua, con presenza di agente antigelo oppure acqua di mare.	Superfici orizzontali quali strade o pavimentazioni esposte al gelo ed ai sali disgelanti in modo diretto o indiretto, elementi esposti al gelo e soggetti a frequenti bagnature in presenza di agenti disgelanti o di acqua di mare.	0,45	C 28/35	3,0
6 Attacco	chimico**					
5 a	XA1	Ambiente chimicamente debolmente aggressivo secondo il prospetto 2 della UNI EN 206-1	Contenitori di fanghi e vasche di decantazione. Contenitori e vasche per acque reflue.	0,55	C 28/35	
4 a 5 b	XA2	Ambiente chimicamente moderatamente aggressivo secondo il prospetto 2 della UNI EN 206-1	Elementi strutturali o pareti a contatto di terreni aggressivi.	0,50	C 32/40	
5 c	ХАЗ	Ambiente chimicamente fortemente aggressivo secondo il prospetto 2 della UNI EN 206-1	Elementi strutturali o pareti a contatto di acque industriali fortemente aggressive. Contenitori di foraggi, mangimi e liquame provenienti dall'allevamento animale. Torri di raffreddamento di fumi di gas di scarico industriali.	0,45	C 35/45	

^{*)} Il grado di saturazione della seconda colonna riflette la relativa frequenza con cui si verifica il gelo in condizioni di saturazione:

Tabella 1.1: Classi di esposizione e requisiti minimi del calcestruzzo in funzione della classe d'esposizione

Le resistenze caratteristiche R_{ck} della tabella precedente sono da considerarsi quelle minime in relazione agli usi indicati in funzione della classe di esposizione. Le miscele non presenteranno un contenuto di cemento minore di 280 kg/m^3 . La definizione di una soglia minima per il dosaggio di cemento, risponde all'esigenza di garantire in ogni caso una sufficiente quantità di pasta di cemento, condizione essenziale per ottenere un calcestruzzo indurito a struttura chiusa e poco permeabile. Nelle normali condizioni operative, il

Cod. elab.: 014RI213-MU83-6-CL-241_A	Titolo: OPERE D'ARTE MINORI - MURI IN C.A.	Data: Aprile 2011
N. C. OLADIOLO MUOR COLONIA A L.	MU.83 - Muro di sottoscarpa 49.94 mt - da 20+873.00 a 20+921.54	
Nome file: 014RI213-MU83-6-CL-241_A.docx	Relazione di calcolo	Pagina 6 di 130

moderato: occasionalmente gelato in condizione di saturazione;
 elevato: alta frequenza di gelo in condizioni di saturazione.

^{**)} Da parte di acque del terreno e acque fluenti.

rispetto dei valori di R_{Ck} e a/c della tabella precedente può comportare dosaggi di cemento anche sensibilmente più elevati del valore minimo indicato.

Facendo riferimento alla tabella precedente, la classe di esposizione attribuita ai vari elementi strutturali costituenti le opere è così riassunta:

• Soletta di fondazione: XC2;

Paramento verticale: XC2.

CARATTERISTICHE DEI MATERIALI

• Fondazione ed elevazione gettatata in opera: C 25/30 N/mm²;

Acciaio per armature di tipo B450C

Modulo di elasticità di Joung (E)
 210.000 N/mm²;

Tensione caratteristica di snervamento f_{y nom}
 450 N/mm²;

Tensione caratteristica di rottura f_{t nom}
 540 N/mm².

1.3.2. Copriferro minimo e copriferro nominale

Ai fini di preservare le armature dai fenomeni di aggressione ambientale, dovrà essere previsto un idoneo copriferro; il suo valore, misurato tra la parete interna del cassero e la generatrice dell'armatura metallica più vicina, individua il cosiddetto "copriferro nominale".

Il copriferro nominale c_{nom} è somma di due contributi, il copriferro minimo c_{min} e la tolleranza di posizionamento h. Vale pertanto: $c_{nom} = c_{min} + h$.

I valori di copriferro minimo in funzione delle classi di esposizione del calcestruzzo sono indicati nella tabella seguente. La tolleranza di posizionamento delle armature h, nel caso di strutture gettate in opera, dovrà essere assunta pari ad almeno 5 mm. Considerando la classe di esposizione ambientale delle diverse sottostrutture, si dovranno adoperare dei copriferri adeguati come prescritti nella tavola delle prescrizioni dei materiali allegata al progetto. Nel caso specifico sarà considerato un valore pari a 5 cm.

Cod. elab.: 014RI213-MU83-6-CL-241_A	Titolo: OPERE D'ARTE MINORI - MURI IN C.A.	Data: Aprile 2011
Nome file: 014RI213-MU83-6-CL-241_A.docx	MU.83 - Muro di sottoscarpa 49.94 mt - da 20+873.00 a 20+921.54	Pagina 7 di 130
	Relazione di calcolo	

Ambiente	Classe di esposizione	C _{min} (mm)
Molto secco	X0	15
Umido senza gelo	XC1 XC2	20
Debolmente aggressivo	XC3 XA1 XD1	
Umido con gelo	XF1	
Marino senza gelo	XS1 XD2	30
Moderatamente aggressivo	XA2 XC4	30
Umido con gelo e sali disgelanti	XF3	
Marino con gelo	XF2	
Fortemente aggressivo	XS2 XS3XA3 XD3 XF4	40

Tabella 1.2 - Copriferro minimo e classi di esposizione

1.3.3. Caratteristiche dei costituenti il calcestruzzo

Cemento

Si utilizzeranno unicamente i cementi previsti nella Legge 26 Maggio 1965 nº 595 che soddisfino i requisiti di accettazione elencati nella norma UNI ENV 197/1, con esclusione del cemento alluminoso e dei cementi per sbarramenti di ritenuta.

Acqua d'impasto

L'acqua d'impasto, di provenienza nota, dovrà avere caratteristiche costanti nel tempo, conformi a quelle della norma UNI EN 1008.

Aggregati

Gli aggregati impiegati per il confezionamento del calcestruzzo dovranno avere caratteristiche conformi a quelle previste nella parte 1^a della norma UNI 8520. Le caratteristiche dovranno essere verificate in fase di qualifica delle miscele. In caso di fornitura di aggregati da parte di azienda dotata di Sistema Qualità certificato secondo norme UNI EN ISO 9000, saranno ritenuti validi i risultati delle prove effettuate dall'Azienda.

1.3.4. Caratteristiche delle miscele

Granulometria degli aggregati

Per la realizzazione di calcestruzzi con classi di resistenza maggiori di C 12/15 gli aggregati dovranno appartenere ad almeno tre classi granulometriche diverse. Nella composizione della curva granulometrica nessuna frazione sarà dosata in percentuale maggiore del 55%, salvo preventiva autorizzazione del Direttore dei Lavori.

Le classi granulometriche saranno mescolate tra loro in percentuali tali da formare miscele rispondenti ai criteri di curve granulometriche di riferimento, teoriche o sperimentali, scelte in modo che l'impasto fresco e indurito abbia i prescritti requisiti di resistenza, consistenza, omogeneità, aria inglobata, permeabilità, ritiro e acqua essudata. Si dovrà

Cod. elab.: 014RI213-MU83-6-CL-241_A	Titolo: OPERE D'ARTE MINORI - MURI IN C.A.	Data: Aprile 2011
N CL OLIDICAL MUSIC CL ALL A L	MU.83 - Muro di sottoscarpa 49.94 mt - da 20+873.00 a 20+921.54	
Nome file: 014RI213-MU83-6-CL-241_A.docx	Relazione di calcolo	Pagina 8 di 130

adottare una curva granulometrica che, in relazione al dosaggio di cemento, garantisca la massima compattezza e la migliore lavorabilità del calcestruzzo.

Dimensione massima nominale dell'aggregato

La massima dimensione nominale dell'aggregato è scelta in funzione dei valori di copriferro ed interferro, delle dimensioni minime dei getti, delle modalità di getto e del tipo di mezzi d'opera utilizzati per la compattazione dei getti; come previsto nel punto 5.4. della norma UNI 9858, la dimensione massima nominale dell'aggregato non dovrà essere maggiore:

- di un quarto della dimensione minima dell'elemento strutturale;
- della distanza tra le singole barre di armatura o tra gruppi di barre d'armatura (interferro) diminuita di 5 mm;
- di 1,3 volte lo spessore del copriferro che vale 30 mm.

Dalla analisi dei dati citati si evince che la massima dimensione dell'inerte non potrà superare i 40 mm di diametro.

Rapporto acqua/cemento

La quantità d'acqua totale da impiegare per il confezionamento dell'impasto dovrà essere calcolata tenendo conto dell'acqua libera contenuta negli aggregati. Si dovrà fare riferimento alla norma UNI 8520 parti 13^a e 16^a per la condizione "satura a superficie asciutta", nella quale l'aggregato non assorbe né cede acqua all'impasto. Facendo riferimento inoltre alla classe di esposizione ambientale, il rapporto acqua cemento non potrà superare il valore a/c = 0,60.

1.4. CARATTERISTICHE GEOTECNICHE DEI TERRENI

In questo paragrafo, sono indicate le caratteristiche fisiche e meccaniche dei terreni in sito e di riporto per la realizzazione del rilevato stradale, utilizzati per la determinazione della spinta agente sulle strutture.

Come si può vedere nelle figure delle sezioni di verifica, l'opera in oggetto sostiene a sua volta un muro in terra verde; il tracciato stradale a monte ad inizio muro è posto ad una quota di circa 9.50 m al di sopra della testa muro per giungere per giungere a 7.50m alla sezione di fine progetto.

Nella zona in oggetto è previsto uno spessore di 7.50 m dal p.c. di materiale denominato TRV1 classificato come argille marnose sommitali alterate. Tale materiale dovrà essere totalmente asportato nella superficie di posa della fondazione e bonificato con c.l.s. magro per uno spessore di almeno 2.00m.

Considerata l'elevata altezza dell'opera, al fine di ridurre la spinta del terreno, anche il materiale di riempimento a tergo del muro verrà realizzato in calcestruzzo magro par almeno tutta la lunghezza della zattera di monte.

Pertanto la successione stratigrafica considerata nello schema di calcolo è di seguito riportata:

Cod. elab.: 014RI213-MU83-6-CL-241_A	Titolo: OPERE D'ARTE MINORI - MURI IN C.A.	Data: Aprile 2011
Nome file: 014RI213-MU83-6-CL-241_A.docx	MU.83 - Muro di sottoscarpa 49.94 mt - da 20+873.00 a 20+921.54	
Nome file. 014R1213-W083-0-CL-241_A.docx	Relazione di calcolo	Pagina 9 di 130

materiale di riempimento ______5 MPa Coesione terreno a monte del paramento (rilevato) Angolo di attrito terra- muro 23,33° Coesione terreno di fondazione Coesione

Cod. elab.: 014RI213-MU83-6-CL-241_A	Titolo: OPERE D'ARTE MINORI - MURI IN C.A.	Data: Aprile 2011
Nome file: 014RI213-MU83-6-CL-241 A.docx	MU.83 - Muro di sottoscarpa 49.94 mt - da 20+873.00 a 20+921.54	<i>Pagina</i> 10 di 130
	Relazione di calcolo	- 10

2. SCHEMATIZZAZIONE DEL MODELLO DI CALCOLO

2.1. Analisi dei carichi

2.1.1. Peso proprio struttura (g1)

Il peso proprio delle strutture è determinato automaticamente dal programma di calcolo.

2.1.2. Dati sismici

Di seguito si riportano i dati sismici adoperati per l'analisi strutturale dell'opera in oggetto:

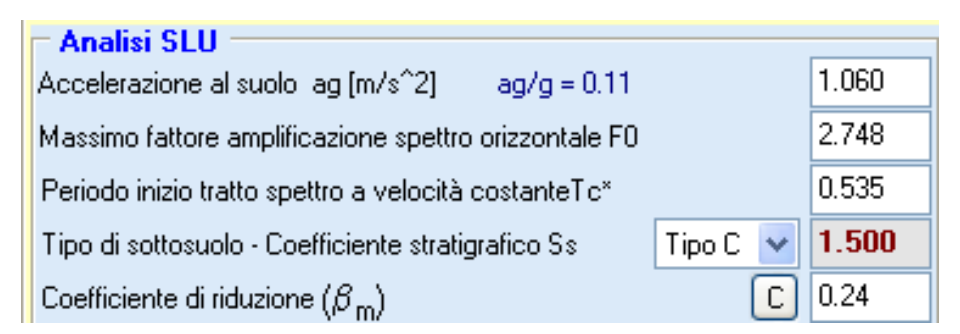


Figura 2.1: Dati sismici

Categoria	Descrizione
A	Ammassi rocciosi affioranti o terreni molto rigidi caratterizzati da valori di $V_{s,30}$ superiori a 800 m/s, eventualmente comprendenti in superficie uno strato di alterazione, con spessore massimo pari a 3 m.
В	Rocce tenere e depositi di terreni a grana grossa molto addensati o terreni a grana fina molto consistenti con spessori superiori a 30 m, caratterizzati da un graduale miglioramento delle proprietà meccaniche con la profondità e da valori di $V_{s,30}$ compresi tra 360 m/s e 800 m/s (ovvero $N_{SPT,30} > 50$ nei terreni a grana grossa e $c_{u,30} > 250$ kPa nei terreni a grana fina).
C	Depositi di terreni a grana grossa mediamente addensati o terreni a grana fina mediamente consistenti con spessori superiori a 30 m, caratterizzati da un graduale miglioramento delle proprietà meccaniche con la profondità e da valori di $V_{s,30}$ compresi tra 180 m/s e 360 m/s (ovvero $15 \le N_{SPT,30} \le 50$ nei terreni a grana grossa e $70 \le c_{u,30} \le 250$ kPa nei terreni a grana fina).
D	Depositi di terreni a grana grossa scarsamente addensati o di terreni a grana fina scarsamente consistenti, con spessori superiori a 30 m, caratterizzati da un graduale miglioramento delle proprietà meccaniche con la profondità e da valori di $V_{s,30}$ inferiori a 180 m/s (ovvero $N_{SPT,30} \le 15$ nei terreni a grana grossa e $c_{u,30} \le 70$ kPa nei terreni a grana fina).
E	Terreni dei sottosuoli di tipo C o D per spessore non superiore a 20 m, posti sul substrato di riferimento (con V _s > 800 m/s).

Tabella 2.1: Categorie di sottosuolo

Cod. elab.: 014RI213-MU83-6-CL-241_A	Titolo: OPERE D'ARTE MINORI - MURI IN C.A.	Data: Aprile 2011
Name Flat 014B1212 MH92 6 CL 241 A door	MU.83 - Muro di sottoscarpa 49.94 mt - da 20+873.00 a 20+921.54	
Nome file: 014RI213-MU83-6-CL-241_A.docx	Relazione di calcolo	Pagina 11 di 130

2.2. COMBINAZIONI DI CARICO

Di seguito si riportano i coefficienti parziali di sicurezza per le azioni definite nel capitolo 6 delle Norme Tecniche delle costruzioni ed associati alla progettazione geotecnica.

Tabella 6.2.I – Coefficienti parziali per le azioni o per l'effetto delle azioni.

	I I	e azrom o per regg			
CARICHI	EFFETTO	Coefficiente Parziale $\gamma_F (o \gamma_E)$	EQU	(A1) STR	(A2) GEO
Permanenti	Favorevole		0,9	1,0	1,0
Permanenti	Sfavorevole	γ _{G1}	1,1	1,3	1,0
Permanenti non strutturali (1)	Favorevole		0,0	0,0	0,0
Permanenti non strutturan	Sfavorevole	γ_{G2}	1,5	1,5	1,3
Variabili	Favorevole	.,	0,0	0,0	0,0
V ai iauiii	Sfavorevole	γQi	1,5	1,5	1,3

⁽¹⁾ Nel caso in cui i carichi permanenti non strutturali (ad es. i carichi permanenti portati) siano compiutamente definiti, si potranno adottare gli stessi coefficienti validi per le azioni permanenti.

Di seguito si riportano invece i coefficienti parziali per i parametri geotecnici del terreno.

Tabella 6.2.II - Coefficienti parziali per i parametri geotecnici del terreno

PARAMETRO	GRANDEZZA ALLA QUALE	COEFFICIENTE	(M1)	(M2)
	APPLICARE IL	PARZIALE		
	COEFFICIENTE PARZIALE	γм		
Tangente dell'angolo di resistenza al taglio	tan φ' _k	$\gamma_{\phi'}$	1,0	1,25
Coesione efficace	c′ _k	$\gamma_{c'}$	1,0	1,25
Resistenza non drenata	c_{uk}	γ _{cu}	1,0	1,4
Peso dell'unità di volume	γ	γ_{γ}	1,0	1,0

Tabella 6.5.I - Coefficienti parziali yR per le verifiche agli stati limite ultimi STR e GEO di muri di sostegno.

VERIFICA	COEFFICIENTE PARZIALE (R1)	COEFFICIENTE PARZIALE (R2)	COEFFICIENTE PARZIALE (R3)
Capacità portante della fondazione	$\gamma_{R} = 1.0$	$\gamma_{R} = 1,0$	$\gamma_{R} = 1.4$
Scorrimento	$\gamma_{R} = 1.0$	$\gamma_R = 1.0$	$\gamma_R = 1,1$
Resistenza del terreno a valle	$\gamma_{R} = 1.0$	$\gamma_{R} = 1.0$	$\gamma_{R} = 1.4$

Coefficienti parziali per le verifiche di sicurezza di opere di materiali sciolti e di fronti di scavo

Coefficiente	R2
γr	1.1

Le verifiche vengono condotte definendo diverse combinazioni di gruppi di coefficienti parziali, rispettivamente definite per le azioni (A1 e A2) e per i parametri geotecnici (M1 e M2).

Cod. elab.: 014RI213-MU83-6-CL-241_A	Titolo: OPERE D'ARTE MINORI - MURI IN C.A.	Data: Aprile 2011
Nome file: 014RI213-MU83-6-CL-241_A.docx	MU.83 - Muro di sottoscarpa 49.94 mt - da 20+873.00 a 20+921.54	<i>Pagina</i> 12 di 130
Nome file: 014K1215-W005-0-CL-241_A.docx	Relazione di calcolo	1 agina 12 di 130

Corridoio PlurimodaleTirrenico - Nord Europa / Itinerario Agrigento — Caltanissetta - A19 / S.S. nº 640 "di Porto Empedocle" Ammodernamento e adeguamento alla Cat. B del D.M. 5.11.2001 dal km 44+000 allo svincolo con l'A19 PROGETTO ESECUTIVO

Nell'approccio 1 sono previste due diverse combinazioni di gruppi di coefficienti: la prima combinazione è generalmente più severa nei confronti del dimensionamento strutturale delle opere a contatto con il terreno, mentre la seconda combinazione è generalmente più severa nei riguardi del dimensionamento geotecnico.

Restano pertanto definite le seguenti 15 combinazioni di carico per l'approccio 1.

Cod. elab.: 014RI213-MU83-6-CL-241_A	Titolo: OPERE D'ARTE MINORI - MURI IN C.A.	Data: Aprile 2011
Name Classification Miles & Cl. 241 A decre	MU.83 - Muro di sottoscarpa 49.94 mt - da 20+873.00 a 20+921.54	
Nome file: 014RI213-MU83-6-CL-241_A.docx	Relazione di calcolo	Pagina 13 di 130

3. I CODICI DI CALCOLO

3.1. CARATTERISTICHE DEL SOFTWARE MAX10.0

Il programma *MAX10.0*° è dedicato all'analisi e al calcolo di muri di sostegno. La versione del programma utilizzata è la Rel. 10.05a del 2010, distribuita dalla società AZTEC, nella forma originale commercializzata senza alcuna modifica apportata da parte dell'utente.

3.1.1. Schematizzazione di calcolo

Partendo dalle caratteristiche meccaniche del terreno, dalla geometria e dai sovraccarichi agenti, il programma esegue le verifiche del muro di sostegno considerando tratti di lunghezza unitaria, restituendo le armature necessarie per metro lineare di opera.

Il calcolo della spinta attiva esercitata dal terrapieno a ridosso del muro, è stato condotto utilizzando il metodo di Culmann, noto anche come "metodo del cuneo di tentativo".

Il metodo in questione considera una superficie di rottura del terrapieno di tipo piano. Il valore della spinta viene determinato per iterazioni successive come segue:

- si impone una superficie di rottura inclinata di un angolo arbitrario ρ rispetto all'orizzontale e si
 considera il cuneo di spinta delimitato dalla superficie di rottura stessa, dalla parete su cui si calcola la
 spinta, e dal profilo del terreno;
- si valutano tutte le forze agenti sul cuneo di spinta e cioè peso proprio W, carichi agenti sulla superficie del terreno, siano essi concentrati che distribuiti, resistenza per attrito R e per coesione c lungo la superficie di rottura e resistenza per coesione lungo la parete di contatto terra muro A;
- dalle equazioni di equilibrio si ricava quindi il valore della spinta S sulla parete, inclinata dell'angolo d'attrito terreno-muro δ rispetto alla normale alla parete.

Per determinare il punto di applicazione della spinta, i passi elementari su esposti vengono applicati discretizzando l'altezza del muro in tanti tratti di ampiezza dz. In corrispondenza di ogni ordinata z_i , si determina il cuneo di rottura e la spinta elementare S_i , ottenendo quindi la distribuzione della spina S(z) lungo l'altezza della parete. Sulla base della distribuzione delle spinte lungo l'altezza della parete, è possibile determinare la pressione ad una generica profondità z, rispetto alla sommità della parete ponendo:

$$\sigma(z) = \frac{dS}{dz}$$

Noto quindi il diagramma delle pressioni è possibile ricavare il punto di applicazione della spinta. Inoltre dal diagramma delle pressioni è facile ricavare anche l'andamento delle sollecitazioni lungo la parete.

Cod. elab.: 014RI213-MU83-6-CL-241_A	Titolo: OPERE D'ARTE MINORI - MURI IN C.A.	Data: Aprile 2011
Nome file: 014RI213-MU83-6-CL-241_A.docx	MU.83 - Muro di sottoscarpa 49.94 mt - da 20+873.00 a 20+921.54	<i>Pagina</i> 14 di 130
	Relazione di calcolo	

3.1.2. Verifiche

Le verifiche vengono condotte tenendo conto delle condizioni più gravose che si individuano dall'inviluppo delle sollecitazioni agenti nelle diverse combinazioni di carico.

Cod. elab.: 014RI213-MU83-6-CL-241_A	Titolo: OPERE D'ARTE MINORI - MURI IN C.A.	Data: Aprile 2011
Nome file: 014RI213-MU83-6-CL-241_A.docx	MU.83 - Muro di sottoscarpa 49.94 mt - da 20+873.00 a 20+921.54	Pagina 15 di 130
Nome fue. 014Rt213-W003-0-CL-241_A.docx	Relazione di calcolo	1 agina 15 di 150

4. ESAME DEI RISULTATI

4.1.1. MURO TIPO "1"

Normativa

N.T.C. 2008 - Approccio 1

Simbologia adottata

γ_{Gsfav}	Coefficiente parziale sfavorevole sulle azioni permanenti
γ_{Gfav}	Coefficiente parziale favorevole sulle azioni permanenti
γ_{Qsfav}	Coefficiente parziale sfavorevole sulle azioni variabili
$\gamma_{\rm Qfav}$	Coefficiente parziale favorevole sulle azioni variabili
γ _{tanφ'}	Coefficiente parziale di riduzione dell'angolo di attrito drenato

 $[\]gamma_{c^\prime}$ Coefficiente parziale di riduzione della coesione drenata

Coefficienti di partecipazione combinazioni statiche

Coefficienti parziali per le azioni o per l'effetto delle azioni:

Carichi	Effetto		A1	A2	EQU	HYD
Permanenti	Favorevole	γ_{Gfav}	1.00	1.00	0.90	0.90
Permanenti	Sfavorevole	γ_{Gsfav}	1.30	1.00	1.10	1.30
Variabili	Favorevole	γ_{Qfav}	0.00	0.00	0.00	0.00
Variabili	Sfavorevole	γ_{Qsfav}	1.50	1.30	1.50	1.50

Coefficienti parziali per i parametri geotecnici del terreno:

Parametri		M1	<i>M</i> 2	<i>M</i> 2	M1
Tangente dell'angolo di attrito	$\gamma_{tan\varphi'}$	1.00	1.25	1.25	1.00
Coesione efficace	$\gamma_{c'}$	1.00	1.25	1.25	1.00
Resistenza non drenata	$\gamma_{\rm cu}$	1.00	1.40	1.40	1.00
Resistenza a compressione uniassiale	$\gamma_{ m qu}$	1.00	1.60	1.60	1.00

Cod. elab.: 014RI213-MU83-6-CL-241_A	Titolo: OPERE D'ARTE MINORI - MURI IN C.A.	Data: Aprile 2011
Nome file: 014RI213-MU83-6-CL-241_A.docx	MU.83 - Muro di sottoscarpa 49.94 mt - da 20+873.00 a 20+921.54	<i>Pagina</i> 16 di 130
	Relazione di calcolo	

 $[\]gamma_{cu}\,$ Coefficiente parziale di riduzione della coesione non drenata

 $[\]gamma_{qu}\,$ Coefficiente parziale di riduzione del carico ultimo

 $[\]gamma_{\gamma}$ Coefficiente parziale di riduzione della resistenza a compressione uniassiale delle rocce

Peso dell'unità di volume	γ_{γ}	1.00	1.00	1.00	1.00

Coefficienti di partecipazione combinazioni sismiche

Coefficienti parziali per le azioni o per l'effetto delle azioni:

Carichi	Effetto		AI	A2	EQU	HYD
Permanenti	Favorevole	γ_{Gfav}	1.00	1.00	1.00	0.90
Permanenti	Sfavorevole	γ_{Gsfav}	1.00	1.00	1.00	1.30
Variabili	Favorevole	γ_{Qfav}	0.00	0.00	0.00	0.00
Variabili	Sfavorevole	γ_{Qsfav}	1.00	1.00	1.00	1.50

Coefficienti parziali per i parametri geotecnici del terreno:

Parametri		M1	<i>M</i> 2	M2	M1
Tangente dell'angolo di attrito	$\gamma_{tan\phi'}$	1.00	1.25	1.25	1.00
Coesione efficace	γ _{c'}	1.00	1.25	1.25	1.00
Resistenza non drenata	γ_{cu}	1.00	1.40	1.40	1.00
Resistenza a compressione uniassiale	$\gamma_{\rm qu}$	1.00	1.60	1.60	1.00
Peso dell'unità di volume	γ_{γ}	1.00	1.00	1.00	1.00

FONDAZIONE SUPERFICIALE

Coefficienti parziali γ_R per le verifiche agli stati limite ultimi STR e GEO

Verifica	Coefficienti parziali			
	R1	R2	R3	
Capacità portante della fondazione	1.00	1.00	1.40	
Scorrimento	1.00	1.00	1.10	
Resistenza del terreno a valle	1.00	1.00	1.40	
Stabilità globale		1.10		

Cod. elab.: 014RI213-MU83-6-CL-241_A	Titolo: OPERE D'ARTE MINORI - MURI IN C.A.	Data: Aprile 2011
Nome file: 014RI213-MU83-6-CL-241 A.docx	MU.83 - Muro di sottoscarpa 49.94 mt - da 20+873.00 a 20+921.54	<i>Pagina</i> 17 di 130
	Relazione di calcolo	- 10

Geometria muro e fondazione

Descrizione Muro a gradoni in c.a.

Descrizione dei gradoni

Simbologia adottata

Nr. numero d'ordine del gradone (a partire dall'alto)

Bs base superiore del gradone espressa in [m]

Bi base inferiore del gradone espressa in [m]

Hg altezza del gradone espressa in [m]

 $\alpha_e~$ inclinazione esterna del gradone espressa in $[^\circ]$

 α_i $\,$ inclinazione interna del gradone espressa in $[^\circ]$

Nr.	Bs	Bi	Hg	$\alpha_{\rm e}$	α_{i}
1	0.50	0.50	3.00	0.00	0.00
2	1.00	1.00	2.00	0.00	0.00

Altezza del paramento 5.00 [m]

Fondazione

Lunghezza mensola fondazione di valle	0.50 [m]
Lunghezza mensola fondazione di monte	3.50 [m]
Lunghezza totale fondazione	5.00 [m]
Inclinazione piano di posa della fondazione	0.00 [°]
Spessore fondazione	1.00 [m]
Spessore magrone	0.20 [m]

Cod. elab.: 014RI213-MU83-6-CL-241_A	Titolo: OPERE D'ARTE MINORI - MURI IN C.A.	Data: Aprile 2011
Nome file: 014RI213-MU83-6-CL-241 A.docx	MU.83 - Muro di sottoscarpa 49.94 mt - da 20+873.00 a 20+921.54	<i>Pagina</i> 18 di 130
	Relazione di calcolo	

Cod. elab.: 014RI213-MU83-6-CL-241_A	Titolo: OPERE D'ARTE MINORI - MURI IN C.A.	Data: Aprile 2011
Nome file: 014RI213-MU83-6-CL-241_A.docx	MU.83 - Muro di sottoscarpa 49.94 mt - da 20+873.00 a 20+921.54	<i>Pagina</i> 19 di 130
Trome file: of Mazie mede of CE 271_11.dock	Relazione di calcolo	1 48114 17 41 150

Materiali utilizzati per la struttura

Calcestruzzo

Peso specifico 25.000 [kN/mc]

Classe di Resistenza C25/30

Resistenza caratteristica a compressione R_{ck} 30.00 [MPa]

Modulo elastico E 31447.048 [MPa]

Acciaio

Tipo B450C

Tensione di snervamento σ_{fa} 449.94 [MPa]

Geometria profilo terreno a monte del muro

Simbologia adottata e sistema di riferimento

(Sistema di riferimento con origine in testa al muro, ascissa X positiva verso monte, ordinata Y positiva verso l'alto)

N numero ordine del punto

X ascissa del punto espressa in [m]

Y ordinata del punto espressa in [m]

A inclinazione del tratto espressa in [°]

N	X	Y	A
1	0.90	0.00	0.00
2	2.36	0.00	0.00
3	4.74	0.00	0.00
4	5.34	0.00	0.00
5	7.00	0.00	0.00
6	9.65	0.00	0.00
7	50.00	0.00	0.00

Cod. elab.: 014RI213	MU83-6-CL-241_A	Titolo: OPERE D'ARTE MINORI - MURI IN C.A.	Data: Aprile 2011
Nome file: 014RI213-M			<i>Pagina</i> 20 di 130
		Relazione di calcolo	

Terreno a valle del muro

Inclinazione terreno a valle del muro rispetto all'orizzontale 0.00 [°]

Altezza del rinterro rispetto all'attacco fondaz.valle-paramento 0.00 [m]

Descrizione terreni

Simbologia adottata

Nr.	Indice del terreno
Descrizione	Descrizione terreno
γ	Peso di volume del terreno espresso in [kN/mc]
γ_s	Peso di volume saturo del terreno espresso in [kN/mc]
ϕ	Angolo d'attrito interno espresso in [°]
δ	Angolo d'attrito terra-muro espresso in [°]
c	Coesione espressa in [MPa]
C_a	Adesione terra-muro espressa in [MPa]

Descrizione	γ	$\gamma_{\rm s}$	ф	δ	c	c_a
Rilevato	18.00	19.00	35.00	23.33	0.0000	0.0000
Argille sommit	ali20.25	20.25	19.75	19.75	0.0262	0.0131
Argille marnos	e 20.30	20.30	19.30	19.30	0.0360	0.0180
Argille profond	le 20.50	20.50	21.66	21.66	0.0230	0.0115
Bonifica	24.00	24.00	40.00	26.60	5.0000	2.5000

Stratigrafia

Simbologia adottata

Cod. elab.: 014RI213-MU83-6-CL-241_A	Titolo: OPERE D'ARTE MINORI - MURI IN C.A.	Data: Aprile 2011
N. C. OLADIOLO MUOR COLONIA A L.	MU.83 - Muro di sottoscarpa 49.94 mt - da 20+873.00 a 20+921.54	D : 21 1: 120
Nome file: 014RI213-MU83-6-CL-241_A.docx	Relazione di calcolo	Pagina 21 di 130

N	Indice	Indice dello strato					
Н	Spesso	Spessore dello strato espresso in [m]					
a	Inclina	zione espressa in [[°]				
Kw	Costan	te di Winkler orizz	zontale espressa in	Kg/cm ² /cm			
Ks	Coeffic	ciente di spinta					
Terreno	•	Terreno dello	strato				
Nr.	Н	a	Kw	Ks	Terreno		
1	1.50	0.00	0.79	0.40	Rilevato		
2	1.00	0.00	0.79	0.40	Rilevato		
3	3.50	0.00	1.37	0.40	Rilevato		
4	2.00	0.00	7.68	0.40	Bonifica		
5	5.50	0.00	7.64	0.40	Argille sommitali		
6	3.75	0.00	11.45	0.40	Argille marnose		
7	3.75	0.00	14.25	0.40	Argille marnose		
8	5.00	0.00	19.82	0.40	Argille profonde		

Terreno di riempimento Bonifica

24.56

28.35

30.00

0.40

0.00

0.00

Argille profonde

Argille profonde

Argille profonde

5.00

3.00

3.00

0.00

0.00

0.00

9

10

11

Cod. elab.: 014RI213-MU83-6-CL-241_A	Titolo: OPERE D'ARTE MINORI - MURI IN C.A.	Data: Aprile 2011
Nome file: 014RI213-MU83-6-CL-241_A.docx	MU.83 - Muro di sottoscarpa 49.94 mt - da 20+873.00 a 20+921.54	<i>Pagina</i> 22 di 130
Nome fue. 014K1215-W005-0-CL-241_A.docx	Relazione di calcolo	1 agina 22 di 130

Condizioni di carico

Simbologia e convenzioni di segno adottate

Carichi verticali positivi verso il basso.

Carichi orizzontali positivi verso sinistra.

Momento positivo senso antiorario.

- X Ascissa del punto di applicazione del carico concentrato espressa in [m]
- F_x Componente orizzontale del carico concentrato espressa in [kN]
- F_y Componente verticale del carico concentrato espressa in [kN]
- M Momento espresso in [kNm]
- X_i Ascissa del punto iniziale del carico ripartito espressa in [m]
- X_f Ascissa del punto finale del carico ripartito espressa in [m]
- Q_i Intensità del carico per $x=X_i$ espressa in [kN/m]
- Q_f Intensità del carico per $x=X_f$ espressa in [kN/m]

Condizione nº 1 (Carico da traffico)

D

D/C Tipo carico : D=distribuito C=concentrato

Profilo

 $X_{i}=7.00$

D	Profilo	$X_i = 7.00$	$X_f = 10.00$	$Q_i = 25.4000$	$Q_f = 25.4000$
D	Profilo	$X_i = 10.00$	$X_f = 17.50$	$Q_i = 20.0000$	$Q_f = 20.0000$
Condizione n	° 2 (Permanenti	D.			
D	Profilo	$X_i = 0.90$	$X_f = 2.26$	$Q_i = 0.0000$	$Q_f = 52.5600$
D	Profilo	$X_i = 2.26$	$X_f = 17.50$	$Q_i = 52.5600$	$Q_f = 52.2600$
D	Profilo	$X_i = 3.26$	$X_f = 5.64$	$Q_i = 0.0000$	$Q_f = 92.1600$
D	Profilo	$X_i = 5.64$	$X_f = 17.50$	$Q_i = 92.1600$	$Q_f = 92.1600$
D	Profilo	$X_i = 6.29$	$X_f = 7.88$	$Q_i = 0.0000$	$Q_f = 21.2400$
D	Profilo	$X_{i}=7.88$	$X_f = 17.50$	$Q_i = 21.2400$	$Q_f = 21.2400$

Cod. elab.: 014RI213-MU83-6-CL-241_A	Titolo: OPERE D'ARTE MINORI - MURI IN C.A.	Data: Aprile 2011
Nome file: 014RI213-MU83-6-CL-241_A.docx	MU.83 - Muro di sottoscarpa 49.94 mt - da 20+873.00 a 20+921.54	Pagina 23 di 130
	Relazione di calcolo	1 46,000 25 41 150

 $X_f = 17.50$

 $Q_i = 4.0000$

 $Q_f = 4.0000$

Descrizione combinazioni di carico

Simbologia adottata

F/S Effetto dell'azione (FAV: Favorevole, SFAV: Sfavorevole)

- γ Coefficiente di partecipazione della condizione
- Ψ Coefficiente di combinazione della condizione

Combinazione nº 1 - Caso A1-M1 (STR)

S/F	γ	Ψ	$\gamma * \Psi$
FAV	1.00	1.00	1.00
FAV	1.00	1.00	1.00
SFAV	1.30	1.00	1.30
SFAV	1.50	1.00	1.50
	FAV FAV SFAV	FAV 1.00 FAV 1.00 SFAV 1.30	FAV 1.00 1.00 FAV 1.00 1.00 SFAV 1.30 1.00

Combinazione nº 2 - Caso A2-M2 (GEO)

	S/F	γ	Ψ	γ*Ψ
Peso proprio muro	SFAV	1.00	1.00	1.00
Peso proprio terrapieno	SFAV	1.00	1.00	1.00
Spinta terreno	SFAV	1.00	1.00	1.00
Carico da traffico	SFAV	1.30	1.00	1.30

Combinazione n° 3 - Caso EQU (SLU)

	S/F	γ	Ψ	γ*Ψ
Peso proprio muro	FAV	0.90	1.00	0.90
Peso proprio terrapieno	FAV	0.90	1.00	0.90
Spinta terreno	SFAV	1.10	1.00	1.10
Carico da traffico	SFAV	1.50	1.00	1.50

Combinazione n° 4 - Caso A2-M2 (GEO-STAB)

	S/F	γ	Ψ	γ*Ψ
Peso proprio muro	SFAV	1.00	1.00	1.00
Peso proprio terrapieno	SFAV	1.00	1.00	1.00
Spinta terreno	SFAV	1.00	1.00	1.00
Carico da traffico	SFAV	1.30	1.00	1.30

Cod. elab.: 014RI213-MU83-6-CL-241_A	Titolo: OPERE D'ARTE MINORI - MURI IN C.A.	Data: Aprile 2011
Nome file: 014RI213-MU83-6-CL-241 A.docx	MU.83 - Muro di sottoscarpa 49.94 mt - da 20+873.00 a 20+921.54	<i>Pagina</i> 24 di 130
	Relazione di calcolo	- 10 1 1

Combinazione n° 5 - Caso A1-M1 (STR) - Sisma Vert. negativo

	S/F	γ	Ψ	γ*Ψ
Peso proprio muro	SFAV	1.00	1.00	1.00
Peso proprio terrapieno	SFAV	1.00	1.00	1.00
Spinta terreno	SFAV	1.00	1.00	1.00
Permanenti	SFAV	1.00	1.00	1.00

Combinazione nº 6 - Caso A2-M2 (GEO) - Sisma Vert. negativo

	S/F	γ	Ψ	$\gamma * \Psi$
Peso proprio muro	SFAV	1.00	1.00	1.00
Peso proprio terrapieno	SFAV	1.00	1.00	1.00
Spinta terreno	SFAV	1.00	1.00	1.00
Permanenti	SFAV	1.00	1.00	1.00

Combinazione nº 7 - Caso EQU (SLU) - Sisma Vert. negativo

	S/F	γ	Ψ	$\gamma * \Psi$
Peso proprio muro	FAV	1.00	1.00	1.00
Peso proprio terrapieno	FAV	1.00	1.00	1.00
Spinta terreno	SFAV	1.00	1.00	1.00
Permanenti	SFAV	1.00	1.00	1.00

Combinazione nº 8 - Caso A2-M2 (GEO-STAB) - Sisma Vert. negativo

	S/F	γ	Ψ	$\gamma * \Psi$
Peso proprio muro	SFAV	1.00	1.00	1.00
Peso proprio terrapieno	SFAV	1.00	1.00	1.00
Spinta terreno	SFAV	1.00	1.00	1.00
Permanenti	SFAV	1.00	1.00	1.00

Combinazione nº 9 - Caso A1-M1 (STR) - Sisma Vert. positivo

	S/F	γ	Ψ	$\gamma * \Psi$
Peso proprio muro	SFAV	1.00	1.00	1.00
Peso proprio terrapieno	SFAV	1.00	1.00	1.00
Spinta terreno	SFAV	1.00	1.00	1.00
Permanenti	SFAV	1.00	1.00	1.00

Cod. elab.: 014RI213-MU83-6-C	L-241_A	Titolo: OPERE D'ARTE MINORI - MURI IN C.A.	Data: Aprile 2011
Nome file: 014RI213-MU83-6-CL-2		MU.83 - Muro di sottoscarpa 49.94 mt - da 20+873.00 a 20+921.54	Pagina 25 di 130
		Relazione di calcolo	

	PF	ROGETTO ESE	CUTIVO	
Combinazione nº 10 - Caso A	A2-M2 (GEO) -	Sisma Vert. 1	<u>oositivo</u>	
	S/F	γ	Ψ	$\gamma * \Psi$
Peso proprio muro	SFAV	1.00	1.00	1.00
Peso proprio terrapieno	SFAV	1.00	1.00	1.00
Spinta terreno	SFAV	1.00	1.00	1.00
Permanenti	SFAV	1.00	1.00	1.00
Combinazione n° 11 - Caso I	EQU (SLU) - Si	isma Vert. pos	<u>sitivo</u>	
	S/F	γ	Ψ	$\gamma * \Psi$
Peso proprio muro	FAV	1.00	1.00	1.00
Peso proprio terrapieno	FAV	1.00	1.00	1.00
Spinta terreno	SFAV	1.00	1.00	1.00
Permanenti	SFAV	1.00	1.00	1.00
Combinazione nº 12 - Caso A	A2-M2 (GEO-S	TAB) - Sisma	Vert. positiv	<u>o</u>
	S/F	γ	Ψ	$\gamma * \Psi$
Peso proprio muro	SFAV	1.00	1.00	1.00
Peso proprio terrapieno	SFAV	1.00	1.00	1.00
Spinta terreno	SFAV	1.00	1.00	1.00
Permanenti	SFAV	1.00	1.00	1.00
Combinazione nº 13 - Quasi	Permanente (SI	LE)		
	S/F	γ	Ψ	$\gamma * \Psi$
Peso proprio muro		1.00	1.00	1.00
Peso proprio terrapieno		1.00	1.00	1.00
Spinta terreno		1.00	1.00	1.00
Permanenti	SFAV	1.00	1.00	1.00
Carico da traffico	SFAV	1.00	0.20	0.20
Combinazione nº 14 - Freque	ente (SLE)			
	S/F	γ	Ψ	γ * Ψ
Peso proprio muro		1.00	1.00	1.00
Peso proprio terrapieno		1.00	1.00	1.00
Spinta terreno		1.00	1.00	1.00
Permanenti	SFAV	1.00	1.00	1.00
Carico da traffico	SFAV	1.00	0.50	0.50

	Cod. elab.: 014RI213-MU83-6-CL-241_A	Titolo: OPERE D'ARTE MINORI - MURI IN C.A.	Data: Aprile 2011
	Nome file: 014RI213-MU83-6-CL-241_A.docx	MU.83 - Muro di sottoscarpa 49.94 mt - da 20+873.00 a 20+921.54	<i>Pagina</i> 26 di 130
L		Relazione di calcolo	

Combinazione n° 15 - Rara (SLE)

	S/F	γ	Ψ	γ*Ψ
Peso proprio muro		1.00	1.00	1.00
Peso proprio terrapieno		1.00	1.00	1.00
Spinta terreno		1.00	1.00	1.00
Permanenti	SFAV	1.00	1.00	1.00
Carico da traffico	SFAV	1.00	1.00	1.00

Impostazioni di analisi

Metodo verifica sezioni Stato limite

Impostazioni verifiche SLU

Coefficienti parziali per resistenze di calcolo dei materiali

Coefficiente di sicurezza calcestruzzo a compressione	1.60
Coefficiente di sicurezza calcestruzzo a trazione	1.60
Coefficiente di sicurezza acciaio	1.15
Fattore riduzione da resistenza cubica a cilindrica	0.83
Fattore di riduzione per carichi di lungo periodo	0.85
Coefficiente di sicurezza per la sezione	1.00

Impostazioni verifiche SLE

Condizioni ambienta	li (Ordinarie

Armatura ad aderenza migliorata

Verifica fessurazione

Sensibilità delle armature Poco sensibile

Valori limite delle aperture delle fessure $w_1 = 0.20$

 $w_2 = 0.30$

 $w_3 = 0.40$

Metodo di calcolo aperture delle fessure Circ. Min. 252 (15/10/1996)

Cod. elab.: 014RI213-MU83-6-CL-241_A	Titolo: OPERE D'ARTE MINORI - MURI IN C.A.	Data: Aprile 2011
Nome file: 014RI213-MU83-6-CL-241_A.docx	MU.83 - Muro di sottoscarpa 49.94 mt - da 20+873.00 a 20+921.54	<i>Pagina</i> 27 di 130
_	Relazione di calcolo	Q

Corridoio PlurimodaleTirrenico - Nord Europa / Itinerario Agrigento – Caltanissetta - A19 / S.S. n° 640 "di Porto Empedocle" Ammodernamento e adeguamento alla Cat. B del D.M. 5.11.2001 dal km 44+000 allo svincolo con l'A19 PROGETTO ESECUTIVO

Verifica delle tensioni

Combinazione di carico $Rara \; \sigma_c \leq 0.60 \; f_{ck} \; \text{-} \; \sigma_f \leq 0.80 \; f_{yk}$

Quasi permanente $\sigma_c \le 0.45 \ f_{ck}$

Calcolo della portanza metodo di Vesic

Coefficiente correttivo su $N\gamma$ per effetti cinematici (combinazioni sismiche SLU): 1.00

Coefficiente correttivo su Ny per effetti cinematici (combinazioni sismiche SLE): 1.00

Impostazioni avanzate

Componente verticale della spinta nel calcolo delle sollecitazioni

Influenza del terreno sulla fondazione di valle nelle verifiche e nel calcolo delle sollecitazioni

Diagramma correttivo per eccentricità negativa con aliquota di parzializzazione pari a 0.00

Cod. elab.: 014RI213-MU83-6-CL-241_A	Titolo: OPERE D'ARTE MINORI - MURI IN C.A.	Data: Aprile 2011
Name flat 014D1212 M1192 6 Cl 241 A deep	MU.83 - Muro di sottoscarpa 49.94 mt - da 20+873.00 a 20+921.54	
Nome file: 014RI213-MU83-6-CL-241_A.docx	Relazione di calcolo	Pagina 28 di 130

Quadro riassuntivo coeff. di sicurezza calcolati

Simbologia adottata

C Identificativo della combinazione

 Tipo Tipo combinazione

 Sisma Combinazione sismica

 CS_{SCO} Coeff. di sicurezza allo scorrimento

 CS_{RIB} Coeff. di sicurezza al ribaltamento

 CS_{QLIM} Coeff. di sicurezza a carico limite

 CS_{STAB} Coeff. di sicurezza a stabilità globale

C	Tipo	Sisma	cs_{sco}	cs_{rib}	cs_{qlim}	cs_{stab}
1A1-M1 - [1]		4.33		11.10		
2A2-M2 - [1]		3.24		5.10		
3EQU - [1]			7.82			
4STAB - [1]					1.77	
5A1-M1 - [2]	Orizzontale + Verticale negativo	1.92		4.22		
6A2-M2 - [2]	Orizzontale + Verticale negativo	1.21		1.25		
7EQU - [2]	Orizzontale + Verticale negativo		2.69			
8STAB - [2]	Orizzontale + Verticale negativo				1.14	
9A1-M1 - [3]	Orizzontale + Verticale positivo	1.93		4.10		
10	A2-M2 - [3]	Orizzont	ale + Verti	cale positi	vo	1.22
	1.21					
11	EQU - [3]	Orizzont	ale + Verti	cale positi	vo	
2.76						
12	STAB - [3]	Orizzont	ale + Verti	cale positi	vo	
		1.14				
13	SLEQ - [1]		2.32		5.52	
14	SLEF - [1]		2.29		5.46	
15	SLER - [1]		2.26		5.37	

Cod. elab.: 014RI213-MU83-6-CL-241_A	Titolo: OPERE D'ARTE MINORI - MURI IN C.A.	Data: Aprile 2011
Nome file: 014RI213-MU83-6-CL-241_A.docx	MU.83 - Muro di sottoscarpa 49.94 mt - da 20+873.00 a 20+921.54	<i>Pagina</i> 29 di 130
Trome fue: of Mazie mede o ez zm_index	Relazione di calcolo	1 08110 25 41 150

Sollecitazioni paramento

Combinazione n° 1

L'ordinata Y(espressa in m) è considerata positiva verso il basso con origine in testa al muro

Momento positivo se tende le fibre contro terra (a monte), espresso in kNm

Sforzo normale positivo di compressione, espresso in kN

Taglio positivo se diretto da monte verso valle, espresso in kN

Nr.	Y	N	M	T
1	0.00	0.0000	0.0000	0.0000
2	0.75	9.3750	0.0000	0.0000
3	1.50	18.7500	0.0000	0.0000
4	2.25	28.1250	0.0000	0.0000
5	3.00	37.5000	0.0000	0.0000
6	3.50	209.0984	-34.4870	224.2547
7	4.25	757.1440	245.5756	1281.2337
8	5.00	1471.8872	1362.7070	2671.0999

Sollecitazioni fondazione di valle

Combinazione n° 1

L'ascissa X(espressa in m) è considerata positiva verso monte con origine in corrispondenza dell'estremo libero della fondazione di valle

Momento positivo se tende le fibre inferiori, espresso in kNm

Taglio positivo se diretto verso l'alto, espresso in kN

T	\mathbf{M}	Nr. X	
5.3686	0.1342	1 0.05	
21.5385	2.1510	2 0.20	

Cod. elab.: 014RI213-MU83-6-CL-241_A	Titolo: OPERE D'ARTE MINORI - MURI IN C.A.	Data: Aprile 2011
N. C. OLANGIA MURA COLAMA A L.	MU.83 - Muro di sottoscarpa 49.94 mt - da 20+873.00 a 20+921.54	
Nome file: 014RI213-MU83-6-CL-241_A.docx	Relazione di calcolo	Pagina 30 di 130

3 0.35	6.6005	37.8046
4 0.50	13.4972	54.1669

Sollecitazioni fondazione di monte

Combinazione n° 1

 $L'ascissa\ X(espressa\ in\ m)\ \grave{e}\ considerata\ positiva\ verso\ valle\ con\ origine\ in\ corrispondenza\ dell'estremo\ libero\ della\ fondazione\ di\ monte$

Momento positivo se tende le fibre inferiori, espresso in kNm

Taglio positivo se diretto verso l'alto, espresso in kN

T	M	Nr. X
-9.8404	-1.7068	1 0.35
-42.5027	-28.7747	2 1.40
-79.8763	-92.6114	3 2.45
-121.9613	-198.1639	4 3.50

	Cod. elab.: 014RI213-MU83-6-CL-241_A	Titolo: OPERE D'ARTE MINORI - MURI IN C.A.	Data: Aprile 2011
	Nome file: 014RI213-MU83-6-CL-241_A.docx	MU.83 - Muro di sottoscarpa 49.94 mt - da 20+873.00 a 20+921.54	Pagina 31 di 130
l		Relazione di calcolo	

Armature e tensioni nei materiali del muro

Combinazione n° 1

L'ordinata Y(espressa in [m]) è considerata positiva verso il basso con origine in testa al muro

- B base della sezione espressa in [m]
- H altezza della sezione espressa in [m]
- $A_{\mbox{\tiny fs}}$ area di armatura in corrispondenza del lembo di monte in [mq]
- $A_{\rm fi}\,$ area di armatura in corrispondenza del lembo di valle in [mq]
- $N_u \;$ sforzo normale ultimo espresso in [kN]
- M_{u} momento ultimo espresso in [kNm]
- CS coefficiente sicurezza sezione

VRcd Aliquota di taglio assorbito dal cls, espresso in [kN]

VRsd Aliquota di taglio assorbito dall'armatura, espresso in [kN]

VRd Resistenza al taglio, espresso in [kN]

Nr.	Y	В, Н	$\mathbf{A}_{\mathbf{fs}}$	${f A_{fi}}$	N_u	$\mathbf{M}_{\mathbf{u}}$	CS	$\mathbf{V}_{\mathbf{Rd}}$	$\mathbf{V}_{\mathbf{Rcd}}$	$\mathbf{V}_{\mathbf{R}\mathbf{s}\mathbf{d}}$
1	0.00	1.00, 0.50	0.001571	0.001571	0.00	0.00	1000.00	174.73		
2	0.75	1.00, 0.50	0.001571	0.001571	6520.39	0.00	695.51	176.00		
3	1.50	1.00, 0.50	0.001571	0.001571	6520.39	0.00	347.75	177.26		
4	2.25	1.00, 0.50	0.001571	0.001571	6520.39	0.00	231.84	178.53		
5	3.00	1.00, 0.50	0.001571	0.001571	6520.39	0.00	173.88	179.80		
6	3.50	1.00, 1.00	0.003142	0.001571	10824.58	1785.32	51.77	2828.88	2828.88133	165.63
7	4.25	1.00, 1.00	0.003142	0.003142	7748.44	-2513.16	10.23	2941.98	2941.98266	331.26
8	5.00	1.00, 1.00	0.003946	0.001571	2368.80	-2193.09	1.61	3089.49	3089.49266	331.26

Cod. elab.: 014RI213-MU83-6-CL-241_A	Titolo: OPERE D'ARTE MINORI - MURI IN C.A.	Data: Aprile 2011
Nome file: 014RI213-MU83-6-CL-241_A.docx	MU.83 - Muro di sottoscarpa 49.94 mt - da 20+873.00 a 20+921.54	<i>Pagina</i> 32 di 130
_	Relazione di calcolo	Ü

Armature e tensioni nei materiali della fondazione

Combinazione n° 1

Simbologia adottata

B base della sezione espressa in [m]

H altezza della sezione espressa in [m]

 $A_{\rm fi}\,$ area di armatura in corrispondenza del lembo inferiore in [mq]

 $A_{\text{fs}}\,$ area di armatura in corrispondenza del lembo superiore in [mq]

 $N_u \; s forzo \; normale \; ultimo \; espresso \; in \; [kN]$

 M_{u} momento ultimo espresso in [kNm]

CS coefficiente sicurezza sezione

VRcd Aliquota di taglio assorbito dal cls, espresso in [kN]

VRsd Aliquota di taglio assorbito dall'armatura, espresso in [kN]

VRd Resistenza al taglio, espresso in [kN]

Fondazione di valle

(L'ascissa X, espressa in [m], è positiva verso monte con origine in corrispondenza dell'estremo libero della fondazione di valle)

\mathbf{V}_{Rsd}	$\mathbf{V}_{\mathbf{Rcd}}$	$\mathbf{V}_{\mathbf{Rd}}$	CS	$\mathbf{M}_{\mathbf{u}}$	N_{u}	${f A_{fi}}$	$\mathbf{A}_{\mathbf{fs}}$	В, Н	Nr. Y	
		317.11	8278.73	1110.76	0.00	0.003142	0.001571	1.00, 1.00	1 0.05	
		317.11	516.39	1110.76	0.00	0.003142	0.001571	1.00, 1.00	2 0.20	
		317.11	168.28	1110.76	0.00	0.003142	0.001571	1.00, 1.00	3 0.35	
		317.11	82.30	1110.76	0.00	0.003142	0.001571	1.00, 1.00	4 0.50	

Fondazione di monte

(L'ascissa X, espressa in [m], è positiva verso valle con origine in corrispondenza dell'estremo libero della fondazione di monte)

$\mathbf{V}_{\mathbf{R}\mathbf{s}\mathbf{d}}$	$\mathbf{V}_{\mathbf{Rcd}}$	$\mathbf{V}_{\mathbf{Rd}}$	CS	$\mathbf{M}_{\mathbf{u}}$	$N_{\rm u}$	${f A_{fi}}$	$\mathbf{A_{fs}}$	В, Н	Y	Nr.
		295.42	329.36	-562.15	0.00	0.003142	0.001571	1.00, 1.00	0.35	1
		295.42	19.54	-562.15	0.00	0.003142	0.001571	1.00, 1.00	1.40	2

Cod. elab.: 014RI213-MU83-6-CL-241_A	Titolo: OPERE D'ARTE MINORI - MURI IN C.A.	Data: Aprile 2011
Name Clas OLABIO 2 MI 192 & Cl. 241 A decre	MU.83 - Muro di sottoscarpa 49.94 mt - da 20+873.00 a 20+921.54	
Nome file: 014RI213-MU83-6-CL-241_A.docx	Relazione di calcolo	Pagina 33 di 130

3 2.45	1.00, 1.00 0.001571 0.003142	0.00 -562.15	6.07	295.42	
4 3.50	1.00, 1.00, 0.001571, 0.003142	0.00 -562.15	2.84	295.42	

Sollecitazioni paramento

Combinazione n° 2

L'ordinata Y(espressa in m) è considerata positiva verso il basso con origine in testa al muro

Momento positivo se tende le fibre contro terra (a monte), espresso in kNm

Sforzo normale positivo di compressione, espresso in kN

Taglio positivo se diretto da monte verso valle, espresso in kN

Nr.	Y	N	\mathbf{M}	T
1	0.00	0.0000	0.0000	0.0000
2	0.75	9.3750	0.0000	0.0000
3	1.50	18.7500	0.0000	0.0000
4	2.25	28.1250	0.0000	0.0000
5	3.00	37.5000	0.0000	0.0000
6	3.50	222.5064	0.3077	340.7463
7	4.25	543.5367	380.4418	1095.2961
8	5.00	880.5393	1340.4557	1889.7157

Sollecitazioni fondazione di valle

Combinazione n° 2

L'ascissa X(espressa in m) è considerata positiva verso monte con origine in corrispondenza dell'estremo libero della fondazione di valle

Momento positivo se tende le fibre inferiori, espresso in kNm

Taglio positivo se diretto verso l'alto, espresso in kN

Cod. elab.: 014RI213-MU83-6-CL-241_A	Titolo: OPERE D'ARTE MINORI - MURI IN C.A.	Data: Aprile 2011
Name Clas OLABIA 22 MI192 & Cl. 241 A decre	MU.83 - Muro di sottoscarpa 49.94 mt - da 20+873.00 a 20+921.54	
Nome file: 014RI213-MU83-6-CL-241_A.docx	Relazione di calcolo	Pagina 34 di 130

T	M	Nr. X
5.6470	0.1412	1 0.05
22.6099	2.2600	2 0.20
39.6054	6.9258	3 0.35
56.6335	14.1433	4 0.50

Sollecitazioni fondazione di monte

Combinazione n° 2

L'ascissa X(espressa in m) è considerata positiva verso valle con origine in corrispondenza dell'estremo libero della fondazione di monte

Momento positivo se tende le fibre inferiori, espresso in kNm

Taglio positivo se diretto verso l'alto, espresso in kN

T	M	Nr. X
-0.0316	-0.0003	1 0.35
-1.1937	-0.5036	2 1.40
-3.9565	-3.0674	3 2.45
-8.3200	-9.3725	4 3.50

Armature e tensioni nei materiali del muro

Combinazione n° 2

L'ordinata Y(espressa in [m]) è considerata positiva verso il basso con origine in testa al muro

- B base della sezione espressa in [m]
- H altezza della sezione espressa in [m]

 $A_{\mbox{\scriptsize fs}}$ area di armatura in corrispondenza del lembo di monte in [mq]

 $A_{\rm fi}\,$ area di armatura in corrispondenza del lembo di valle in [mq]

 $N_{\rm u}\,$ sforzo normale ultimo espresso in [kN]

Cod. elab.: 014RI213-MU83-6-CL-241_A	Titolo: OPERE D'ARTE MINORI - MURI IN C.A.	Data: Aprile 2011
Name Star 014D1212 MH92 6 CL 241 A door	MU.83 - Muro di sottoscarpa 49.94 mt - da 20+873.00 a 20+921.54	
Nome file: 014RI213-MU83-6-CL-241_A.docx	Relazione di calcolo	Pagina 35 di 130

M_u momento ultimo espresso in [kNm]

CS coefficiente sicurezza sezione

VRcd Aliquota di taglio assorbito dal cls, espresso in [kN]

VRsd Aliquota di taglio assorbito dall'armatura, espresso in [kN]

VRd Resistenza al taglio, espresso in [kN]

Nr.	Y	В, Н	$\mathbf{A}_{\mathbf{fs}}$	${f A_{fi}}$	N_u	$\mathbf{M}_{\mathbf{u}}$	CS	V_{Rd}	$\mathbf{V}_{\mathbf{Rcd}}$	$\mathbf{V}_{\mathbf{Rsd}}$
1	0.00	1.00, 0.50	0.001571	0.001571	0.00	0.00	1000.00	174.73		
2	0.75	1.00, 0.50	0.001571	0.001571	6520.39	0.00	695.51	176.00		
3	1.50	1.00, 0.50	0.001571	0.001571	6520.39	0.00	347.75	177.26		
4	2.25	1.00, 0.50	0.001571	0.001571	6520.39	0.00	231.84	178.53		
5	3.00	1.00, 0.50	0.001571	0.001571	6520.39	0.00	173.88	179.80		
6	3.50	1.00, 1.00	0.003142	0.001571	12412.91	-17.17	55.79	2831.65	2831.65133	3165.63
7	4.25	1.00, 1.00	0.003142	0.003142	3342.66	-2339.65	6.15	2897.90	2897.90266	5331.26
8	5.00	1.00, 1.00	0.003946	0.001571	1204.41	-1833.49	1.37	2967.45	2967.45266	5331.26

Armature e tensioni nei materiali della fondazione

Combinazione n° 2

Simbologia adottata

B base della sezione espressa in [m]

H altezza della sezione espressa in [m]

 $A_{\rm fi}\,$ area di armatura in corrispondenza del lembo inferiore in [mq]

 $A_{\mbox{\scriptsize fs}}$ area di armatura in corrispondenza del lembo superiore in [mq]

 $N_{\rm u}\,$ sforzo normale ultimo espresso in [kN]

 M_u momento ultimo espresso in [kNm]

CS coefficiente sicurezza sezione

VRcd Aliquota di taglio assorbito dal cls, espresso in [kN]

VRsd Aliquota di taglio assorbito dall'armatura, espresso in [kN]

VRd Resistenza al taglio, espresso in [kN]

Cod. elab.: 014RI213-MU83-6-CL-241_A	Titolo: OPERE D'ARTE MINORI - MURI IN C.A.	Data: Aprile 2011	
Nome file: 014RI213-MU83-6-CL-241_A.docx	MU.83 - Muro di sottoscarpa 49.94 mt - da 20+873.00 a 20+921.54	<i>Pagina</i> 36 di 130	
Nome file. 014Rt215-W005-0-CL-241_A.docx	Relazione di calcolo	1 agina 30 di 130	

Fondazione di valle

(L'ascissa X, espressa in [m], è positiva verso monte con origine in corrispondenza dell'estremo libero della fondazione di valle)

Nr. Y	В, Н	$\mathbf{A}_{\mathbf{fs}}$	${f A_{fi}}$	N_{u}	$\mathbf{M}_{\mathbf{u}}$	CS	$\mathbf{V}_{\mathbf{Rd}}$	$\mathbf{V}_{\mathbf{Rcd}}$	$\mathbf{V}_{\mathbf{R}\mathbf{s}\mathbf{d}}$
1 0.05	1.00, 1.00	0.001571	0.003142	0.00	1110.76	7868.81	317.11		
2 0.20	1.00, 1.00	0.001571	0.003142	0.00	1110.76	491.48	317.11		
3 0.35	1.00, 1.00	0.001571	0.003142	0.00	1110.76	160.38	317.11		
4 0.50	1.00, 1.00	0.001571	0.003142	0.00	1110.76	78.54	317.11		

Fondazione di monte

(L'ascissa X, espressa in [m], è positiva verso valle con origine in corrispondenza dell'estremo libero della fondazione di monte)

V_{Rsd}	V_{Rcd}	V_{Rd}	CS	$\mathbf{M}_{\mathbf{u}}$	N_u	${f A_{fi}}$	$\mathbf{A_{fs}}$	В, Н	. Y	Nr.
		295.42	615540.24	-562.151	0.00	0.003142	0.001571	1.00, 1.00	0.35	1
		295.42	1116.32	-562.15	0.00	0.003142	0.001571	1.00, 1.00	1.40	2
		295.42	183.27	-562.15	0.00	0.003142	0.001571	1.00, 1.00	2.45	3
		295.42	59.98	-562.15	0.00	0.003142	0.001571	1.00, 1.00	3.50	4

Sollecitazioni paramento

Combinazione n° 5

L'ordinata Y(espressa in m) è considerata positiva verso il basso con origine in testa al muro

Momento positivo se tende le fibre contro terra (a monte), espresso in kNm

Sforzo normale positivo di compressione, espresso in kN

Taglio positivo se diretto da monte verso valle, espresso in kN

Nr. Y	N	\mathbf{M}	T
1 0.00	0.0000	0.0000	0.0000

Cod. elab.: 014RI213-MU83-6-CL-241_A	Titolo: OPERE D'ARTE MINORI - MURI IN C.A.	Data: Aprile 2011
Nome file: 014RI213-MU83-6-CL-241_A.docx	MU.83 - Muro di sottoscarpa 49.94 mt - da 20+873.00 a 20+921.54	Pagina 37 di 130
Nome file. 014Rt215-W005-0-CL-241_A.docx	Relazione di calcolo	1 agina 57 di 150

322.5236

1508.7580

PROGETTO ESECUTIVO

1364.8319

2800.3846

2 0.75	12.0711	1.4816	5.7483
3 1.50	24.1422	7.2744	11.4966
4 2.25	36.2133	17.3784	17.2449
5 3.00	48.2844	31.7937	22.9932
6 3.50	217.2791	7.1496	264.1014

Sollecitazioni fondazione di valle

786.8690

1524.1253

Combinazione n° 5

7 4.25

8 5.00

L'ascissa X(espressa in m) è considerata positiva verso monte con origine in corrispondenza dell'estremo libero della fondazione di valle Momento positivo se tende le fibre inferiori, espresso in kNm

Taglio positivo se diretto verso l'alto, espresso in kN

T	M	Nr. X
11.3557	0.2842	1 0.05
44.9982	4.5187	2 0.20
78.0038	13.7518	3 0.35
110.3723	27.8880	4 0.50

Sollecitazioni fondazione di monte

Combinazione n° 5

L'ascissa X(espressa in m) è considerata positiva verso valle con origine in corrispondenza dell'estremo libero della fondazione di monte

Momento positivo se tende le fibre inferiori, espresso in kNm

Taglio positivo se diretto verso l'alto, espresso in kN

Cod. elab.: 014RI213-MU83-6-CL-241_A	Titolo: OPERE D'ARTE MINORI - MURI IN C.A.	Data: Aprile 2011
Name Clas OLABIA 22 MI192 & Cl. 241 A decre	MU.83 - Muro di sottoscarpa 49.94 mt - da 20+873.00 a 20+921.54	
Nome file: 014RI213-MU83-6-CL-241_A.docx	Relazione di calcolo	Pagina 38 di 130

T	M	Nr. X
-36.1138	-6.5594	1 0.35
-103.6344	-83.8195	2 1.40
-127.2738	-210.5856	3 2.45
-82.4194	-325.9228	4 3.50

Cod. elab.: 014RI213-MU83-6-CL-241_A	Titolo: OPERE D'ARTE MINORI - MURI IN C.A.	Data: Aprile 2011
Nome file: 014RI213-MU83-6-CL-241_A.docx	MU.83 - Muro di sottoscarpa 49.94 mt - da 20+873.00 a 20+921.54	Pagina 39 di 130
110me jue. 01410215-111005-0-CL-241_A.docx	Relazione di calcolo	1 agina 37 di 130

Armature e tensioni nei materiali del muro

Combinazione n° 5

L'ordinata Y(espressa in [m]) è considerata positiva verso il basso con origine in testa al muro

- B base della sezione espressa in [m]
- H altezza della sezione espressa in [m]
- $A_{\mbox{\tiny fs}}$ area di armatura in corrispondenza del lembo di monte in [mq]
- $A_{\rm fi}\,$ area di armatura in corrispondenza del lembo di valle in [mq]
- $N_u \;$ sforzo normale ultimo espresso in [kN]
- M_{u} momento ultimo espresso in [kNm]
- CS coefficiente sicurezza sezione

VRcd Aliquota di taglio assorbito dal cls, espresso in [kN]

VRsd Aliquota di taglio assorbito dall'armatura, espresso in [kN]

VRd Resistenza al taglio, espresso in [kN]

Nr.	Y	В, Н	$\mathbf{A}_{\mathbf{fs}}$	${f A_{fi}}$	N_u	$\mathbf{M}_{\mathbf{u}}$	CS	$\mathbf{V}_{\mathbf{Rd}}$	$\mathbf{V}_{\mathbf{Rcd}}$	$\mathbf{V}_{\mathbf{R}\mathbf{s}\mathbf{d}}$
1	0.00	1.00, 0.50	0.001571	0.001571	0.00	0.00	1000.00	174.73		
2	0.75	1.00, 0.50	0.001571	0.001571	4425.25	-543.15	366.60	176.36		
3	1.50	1.00, 0.50	0.001571	0.001571	1931.43	-581.97	80.00	177.99		
4	2.25	1.00, 0.50	0.001571	0.001571	910.13	-436.76	25.13	179.62		
5	3.00	1.00, 0.50	0.001571	0.001571	560.57	-369.11	11.61	181.25		
6	3.50	1.00, 1.00	0.003142	0.001571	12117.10	-398.72	55.77	2830.57	2830.57133	3165.63
7	4.25	1.00, 1.00	0.003142	0.003142	6540.78	-2680.95	8.31	2948.12	2948.12266	5331.26
8	5.00	1.00, 1.00	0.003946	0.001571	2159.96	-2138.19	1.42	3100.27	3100.27266	5331.26

Cod. elab.: 014RI213-MU83-6-CL-241_A	Titolo: OPERE D'ARTE MINORI - MURI IN C.A.	Data: Aprile 2011
Nome file: 014RI213-MU83-6-CL-241_A.docx	MU.83 - Muro di sottoscarpa 49.94 mt - da 20+873.00 a 20+921.54	<i>Pagina</i> 40 di 130
Trome guer of 121210 M2 of o CD 271_11.uoon	Relazione di calcolo	1 00,000 10 41 150

Armature e tensioni nei materiali della fondazione

Combinazione n° 5

Simbologia adottata

B base della sezione espressa in [m]

H altezza della sezione espressa in [m]

 $A_{\rm fi}\,$ area di armatura in corrispondenza del lembo inferiore in [mq]

 $A_{\text{fs}}\,$ area di armatura in corrispondenza del lembo superiore in [mq]

 $N_u \; s forzo \; normale \; ultimo \; espresso \; in \; [kN]$

 M_{u} momento ultimo espresso in [kNm]

CS coefficiente sicurezza sezione

VRcd Aliquota di taglio assorbito dal cls, espresso in [kN]

VRsd Aliquota di taglio assorbito dall'armatura, espresso in [kN]

VRd Resistenza al taglio, espresso in [kN]

Fondazione di valle

(L'ascissa X, espressa in [m], è positiva verso monte con origine in corrispondenza dell'estremo libero della fondazione di valle)

Nr.	Y	В, Н	$\mathbf{A}_{\mathbf{fs}}$	${f A_{fi}}$	N_{u}	$\mathbf{M}_{\mathbf{u}}$	CS	$\mathbf{V}_{\mathbf{Rd}}$	$\mathbf{V}_{\mathbf{Rcd}}$	$\mathbf{V}_{\mathbf{R}\mathbf{s}\mathbf{d}}$
1	0.05	1.00, 1.00 0.	001571	0.003142	0.00	1110.76	3908.55	317.11		
2	0.20	1.00, 1.00 0.	001571	0.003142	0.00	1110.76	245.82	317.11		
3	0.35	1.00, 1.00 0.	001571	0.003142	0.00	1110.76	80.77	317.11		
4	0.50	1.00, 1.00 0.	001571	0.003142	0.00	1110.76	39.83	317.11		

Fondazione di monte

(L'ascissa X, espressa in [m], è positiva verso valle con origine in corrispondenza dell'estremo libero della fondazione di monte)

$\mathbf{V}_{\mathbf{R}\mathbf{s}\mathbf{d}}$	$\mathbf{V}_{\mathbf{Rcd}}$	$\mathbf{V}_{\mathbf{Rd}}$	CS	$\mathbf{M}_{\mathbf{u}}$	N_u	${f A_{fi}}$	$\mathbf{A_{fs}}$	В, Н	Y	Nr.
		295.42	85.70	-562.15	0.00	0.003142	0.001571	1.00, 1.00	0.35	1
		295.42	6.71	-562.15	0.00	0.003142	0.001571	1.00, 1.00	1.40	2

Cod. elab.: 014RI213-MU83-6-CL-241_A	Titolo: OPERE D'ARTE MINORI - MURI IN C.A.	Data: Aprile 2011
Nome file: 014RI213-MU83-6-CL-241_A.docx	MU.83 - Muro di sottoscarpa 49.94 mt - da 20+873.00 a 20+921.54	Pagina 41 di 130
ivome fue. 014Rt215-W005-0-CL-241_A.docx	Relazione di calcolo	1 agina 41 ai 130

$\label{lem:corrido} Corrido io Plurimo da le Tirrenico - Nord Europa / Itinerario Agrigento - Caltanissetta - A19 / S.S.~n°~640~" di Porto Empedocle" \\ Ammo dernamento e adeguamento alla Cat.~B~del~D.M.~5.11.2001~dal~km~44+000~allo~svincolo~con~l'A19$

PROGETTO ESECUTIVO

3 2.45	1.00, 1.00 0.001571 0.003142	0.00 -562.15	2.67	295.42	
4 3.50	1.00, 1.00 0.001571 0.003142	0.00 -562.15	1.72	295.42	

Cod. elab.: 014RI213-MU83-6-CL-241_A	Titolo: OPERE D'ARTE MINORI - MURI IN C.A.	Data: Aprile 2011
Nome file: 014RI213-MU83-6-CL-241_A.docx	MU.83 - Muro di sottoscarpa 49.94 mt - da 20+873.00 a 20+921.54	<i>Pagina</i> 42 di 130
_	Relazione di calcolo	Ş

Sollecitazioni paramento

Combinazione n° 6

L'ordinata Y(espressa in m) è considerata positiva verso il basso con origine in testa al muro

Momento positivo se tende le fibre contro terra (a monte), espresso in kNm

Sforzo normale positivo di compressione, espresso in kN

Taglio positivo se diretto da monte verso valle, espresso in kN

Nr.	Y	N	M	T
1	0.00	0.0000	0.0000	0.0000
2	0.75	11.4562	1.5645	5.5594
3	1.50	22.9124	7.2985	11.1188
4 2	2.25	34.3686	17.2020	16.6782
5 .	3.00	45.8248	31.2751	22.2375
6 .	3.50	238.9547	41.5713	383.7475
7 4	4.25	573.2909	459.8738	1172.2399
8 :	5.00	924.1870	1483.8428	2002.0693

Sollecitazioni fondazione di valle

Combinazione n° 6

L'ascissa X(espressa in m) è considerata positiva verso monte con origine in corrispondenza dell'estremo libero della fondazione di valle

Momento positivo se tende le fibre inferiori, espresso in kNm

Taglio positivo se diretto verso l'alto, espresso in kN

T	\mathbf{M}	Nr. X	Nr.
13.8083	0.3457	1 0.05	1
54.5177	5.4836	2 0.20	2

Cod. elab.: 014RI213-MU83-6-CL-241_A	Titolo: OPERE D'ARTE MINORI - MURI IN C.A.	Data: Aprile 2011
	MU.83 - Muro di sottoscarpa 49.94 mt - da 20+873.00 a 20+921.54	
Nome file: 014RI213-MU83-6-CL-241_A.docx	Relazione di calcolo	Pagina 43 di 130

3 0.35	16.6474	94.1537
4 0.50	33.6760	132.7164

Sollecitazioni fondazione di monte

Combinazione n° 6

L'ascissa X(espressa in m) è considerata positiva verso valle con origine in corrispondenza dell'estremo libero della fondazione di monte

Momento positivo se tende le fibre inferiori, espresso in kNm

Taglio positivo se diretto verso l'alto, espresso in kN

T	M	Nr. X
-51.5287	-9.3263	1 0.35
-151.0388	-121.4376	2 1.40
-185.2851	-305.4179	3 2.45
-129.6550	-477.8808	4 3.50

Armature e tensioni nei materiali del muro

Combinazione n° 6

L'ordinata Y(espressa in [m]) è considerata positiva verso il basso con origine in testa al muro

B base della sezione espressa in [m]

H altezza della sezione espressa in [m]

 $A_{\text{fs}}\,$ area di armatura in corrispondenza del lembo di monte in [mq]

 $A_{\rm fi}\,$ area di armatura in corrispondenza del lembo di valle in [mq]

 $N_u \;\; sforzo \; normale \; ultimo \; espresso \; in \; [kN]$

 M_{u} momento ultimo espresso in $\left[kNm\right]$

CS coefficiente sicurezza sezione

VRcd Aliquota di taglio assorbito dal cls, espresso in [kN]

VRsd Aliquota di taglio assorbito dall'armatura, espresso in [kN]

Cod. elab.: 014RI213-MU83-6-CL-241_A	Titolo: OPERE D'ARTE MINORI - MURI IN C.A.	Data: Aprile 2011
Nome file: 014RI213-MU83-6-CL-241_A.docx	MU.83 - Muro di sottoscarpa 49.94 mt - da 20+873.00 a 20+921.54	<i>Pagina</i> 44 di 130
	Relazione di calcolo	

VRd Resistenza al taglio, espresso in [kN]

Nr.	Y	В, Н	$\mathbf{A_{fs}}$	${f A_{fi}}$	N_u	$\mathbf{M}_{\mathbf{u}}$	CS	$\mathbf{V}_{\mathbf{Rd}}$	$\mathbf{V}_{\mathbf{Rcd}}$	$\mathbf{V}_{\mathbf{R}\mathbf{s}\mathbf{d}}$
1	0.00	1.00, 0.50	0.001571	0.001571	0.00	0.00	1000.00	174.73		
2	0.75	1.00, 0.50	0.001571	0.001571	4158.22	-567.85	362.97	176.28		
3	1.50	1.00, 0.50	0.001571	0.001571	1780.57	-567.18	77.71	177.83		
4	2.25	1.00, 0.50	0.001571	0.001571	851.27	-426.07	24.77	179.37		
5	3.00	1.00, 0.50	0.001571	0.001571	532.89	-363.69	11.63	180.92		
6	3.50	1.00, 1.00	0.003142	0.001571	9637.44	-1676.64	40.33	2835.04	2835.04133	165.63
7	4.25	1.00, 1.00	0.003142	0.003142	2707.89	-2172.18	4.72	2904.04	2904.04266	331.26
8	5.00	1.00, 1.00	0.003946	0.001571	1123.19	-1803.35	1.22	2976.46	2976.46266	331.26

Armature e tensioni nei materiali della fondazione

Combinazione n° 6

Simbologia adottata

B base della sezione espressa in [m]

H altezza della sezione espressa in [m]

 $A_{\rm fi}\,$ area di armatura in corrispondenza del lembo inferiore in [mq]

 $A_{\mbox{\tiny fs}}$ area di armatura in corrispondenza del lembo superiore in [mq]

 $N_{\rm u}\,$ sforzo normale ultimo espresso in [kN]

 $M_{\rm u}$ momento ultimo espresso in [kNm]

CS coefficiente sicurezza sezione

VRcd Aliquota di taglio assorbito dal cls, espresso in [kN]

VRsd Aliquota di taglio assorbito dall'armatura, espresso in [kN]

VRd Resistenza al taglio, espresso in [kN]

Fondazione di valle

(L'ascissa X, espressa in [m], è positiva verso monte con origine in corrispondenza dell'estremo libero della fondazione di valle)

Cod. elab.: 014RI213-MU83-6-CL-241_A	Titolo: OPERE D'ARTE MINORI - MURI IN C.A.	Data: Aprile 2011
Nome file: 014RI213-MU83-6-CL-241_A.docx	MU.83 - Muro di sottoscarpa 49.94 mt - da 20+873.00 a 20+921.54	<i>Pagina</i> 45 di 130
	Relazione di calcolo	

Nr.	Y	В, Н	$\mathbf{A}_{\mathbf{f}\mathbf{s}}$	${f A_{fi}}$	N_{u}	$\mathbf{M}_{\mathbf{u}}$	CS	$\mathbf{V}_{\mathbf{Rd}}$	$\mathbf{V}_{\mathbf{Rcd}}$	$\mathbf{V}_{\mathbf{R}\mathbf{s}\mathbf{d}}$
1	0.05	1.00, 1.00	0.001571	0.003142	0.00	1110.76	3213.04	317.11		
2	0.20	1.00, 1.00	0.001571	0.003142	0.00	1110.76	202.56	317.11		
3	0.35	1.00, 1.00	0.001571	0.003142	0.00	1110.76	66.72	317.11		
4	0.50	1.00, 1.00	0.001571	0.003142	0.00	1110.76	32.98	317.11		

Fondazione di monte

(L'ascissa X, espressa in [m], è positiva verso valle con origine in corrispondenza dell'estremo libero della fondazione di monte)

$\mathbf{V}_{\mathbf{R}\mathbf{s}\mathbf{d}}$	$\mathbf{V}_{\mathbf{Rcd}}$	$\mathbf{V}_{\mathbf{Rd}}$	CS	$\mathbf{M}_{\mathbf{u}}$	N_{u}	${f A_{fi}}$	$\mathbf{A}_{\mathbf{f}\mathbf{s}}$	В, Н	Y	Nr.
		295.42	60.28	-562.15	0.00	0.003142	0.001571	1.00, 1.00	0.35	1
		295.42	4.63	-562.15	0.00	0.003142	0.001571	1.00, 1.00	1.40	2
		295.42	1.84	-562.15	0.00	0.003142	0.001571	1.00, 1.00	2.45	3
		295.42	1.18	-562.15	0.00	0.003142	0.001571	1.00. 1.00	3.50	4

Sollecitazioni paramento

Combinazione n° 9

L'ordinata Y(espressa in m) è considerata positiva verso il basso con origine in testa al muro

Momento positivo se tende le fibre contro terra (a monte), espresso in kNm

Sforzo normale positivo di compressione, espresso in kN

Taglio positivo se diretto da monte verso valle, espresso in kN

Nr.	Y	N	M	T
1	0.00	0.0000	0.0000	0.0000
2	0.75	11.5426	1.2180	4.6930
3	1.50	23.0852	5.9556	9.3859
4	2.25	34.6278	14.2130	14.0789
5	3.00	46.1704	25.9901	18.7718

Cod. elab.: 014RI213-MU83-6-CL-241_A	Titolo: OPERE D'ARTE MINORI - MURI IN C.A.	Data: Aprile 2011
Name Clas OLADIO 12 MII 92 & Cl. 241 A decre	MU.83 - Muro di sottoscarpa 49.94 mt - da 20+873.00 a 20+921.54	
Nome file: 014RI213-MU83-6-CL-241_A.docx	Relazione di calcolo	Pagina 46 di 130

1	DD	\cap	CE.	T	$\Gamma \cap$	ES	E/	\cap T	IТ	T	17	\cap	
	PK	い	ЛĖ		w	E) F	Lι) [- 1	v١	U	

6 3.50	214.8129	-0.2359	259.1765	
7 4.25	783.8743	311.3128	1358.8517	
8 5.00	1520.6021	1492.9306	2793.3489	

Sollecitazioni fondazione di valle

Combinazione n° 9

L'ascissa X(espressa in m) è considerata positiva verso monte con origine in corrispondenza dell'estremo libero della fondazione di valle Momento positivo se tende le fibre inferiori, espresso in kNm

Taglio positivo se diretto verso l'alto, espresso in kN

T	M	r. X	Nr.
11.8399	0.2963	0.05	1
46.9196	4.7115	0.20	2
81.3389	14.3392	0.35	3
115.0980	29.0802	0.50	4

Sollecitazioni fondazione di monte

Combinazione nº 9

L'ascissa X(espressa in m) è considerata positiva verso valle con origine in corrispondenza dell'estremo libero della fondazione di monte

Momento positivo se tende le fibre inferiori, espresso in kNm

Taglio positivo se diretto verso l'alto, espresso in kN

T	M	Nr. X
-34.4654	-6.2746	1 0.35

Cod. elab.: 014RI213-MU83-6-CL-241_A	Titolo: OPERE D'ARTE MINORI - MURI IN C.A.	Data: Aprile 2011
N. C. OLANGUA MURA C.C. 241 A.L.	MU.83 - Muro di sottoscarpa 49.94 mt - da 20+873.00 a 20+921.54	
Nome file: 014RI213-MU83-6-CL-241_A.docx	Relazione di calcolo	Pagina 47 di 130

$\label{lem:corrido} Corrido io Plurimo da le Tirrenico - Nord Europa / Itinerario Agrigento - Caltanissetta - A19 / S.S.~n°~640~" di Porto Empedocle" \\ Ammo dernamento e adeguamento alla Cat.~B~del~D.M.~5.11.2001~dal~km~44+000~allo~svincolo~con~l'A19$

PROGETTO ESECUTIVO

2	1.40	-78.9077	-96.2789
3	2.45	-194.4543	-113.0686
4	3.50	-290.7802	-60.2219

Cod. elab.: 014RI213-MU83-6-CL-241_A	Titolo: OPERE D'ARTE MINORI - MURI IN C.A.	Data: Aprile 2011
Nome file: 014RI213-MU83-6-CL-241_A.docx	MU.83 - Muro di sottoscarpa 49.94 mt - da 20+873.00 a 20+921.54	<i>Pagina</i> 48 di 130
_	Relazione di calcolo	O

Armature e tensioni nei materiali del muro

Combinazione n° 9

L'ordinata Y(espressa in [m]) è considerata positiva verso il basso con origine in testa al muro

B base della sezione espressa in [m]

H altezza della sezione espressa in [m]

 $A_{\mbox{\tiny fs}}$ area di armatura in corrispondenza del lembo di monte in [mq]

 $A_{\rm fi}\,$ area di armatura in corrispondenza del lembo di valle in [mq]

 $N_u \;$ sforzo normale ultimo espresso in [kN]

 M_{u} momento ultimo espresso in [kNm]

CS coefficiente sicurezza sezione

VRcd Aliquota di taglio assorbito dal cls, espresso in [kN]

VRsd Aliquota di taglio assorbito dall'armatura, espresso in [kN]

VRd Resistenza al taglio, espresso in [kN]

Nr.	Y	В, Н	$\mathbf{A}_{\mathbf{fs}}$	${f A_{fi}}$	N_u	$\mathbf{M}_{\mathbf{u}}$	CS	$\mathbf{V}_{\mathbf{Rd}}$	$\mathbf{V}_{\mathbf{Rcd}}$	$\mathbf{V}_{\mathbf{R}\mathbf{s}\mathbf{d}}$
1	0.00	1.00, 0.50	0.001571	0.001571	0.00	0.00	1000.00	174.73		
2	0.75	1.00, 0.50	0.001571	0.001571	4790.72	-505.51	415.05	176.29		
3	1.50	1.00, 0.50	0.001571	0.001571	2405.63	-620.61	104.21	177.85		
4	2.25	1.00, 0.50	0.001571	0.001571	1178.80	-483.84	34.04	179.41		
5	3.00	1.00, 0.50	0.001571	0.001571	706.52	-397.71	15.30	180.97		
6	3.50	1.00, 1.00	0.003142	0.001571	12418.97	13.64	57.81	2830.06	2830.06133	165.63
7	4.25	1.00, 1.00	0.003142	0.003142	6721.10	-2669.26	8.57	2947.50	2947.50266	331.26
8	5.00	1.00, 1.00	0.003946	0.001571	2184.35	-2144.60	1.44	3099.55	3099.55266	331.26

Cod. elab.: 014RI213-MU83-6-CL-241_A	Titolo: OPERE D'ARTE MINORI - MURI IN C.A.	Data: Aprile 2011
Nome file: 014RI213-MU83-6-CL-241_A.docx	MU.83 - Muro di sottoscarpa 49.94 mt - da 20+873.00 a 20+921.54	<i>Pagina</i> 49 di 130
•	Relazione di calcolo	0

Armature e tensioni nei materiali della fondazione

Combinazione n° 9

Simbologia adottata

B base della sezione espressa in [m]

H altezza della sezione espressa in [m]

 $A_{\rm fi}\,$ area di armatura in corrispondenza del lembo inferiore in [mq]

 $A_{\mbox{\scriptsize fs}}$ area di armatura in corrispondenza del lembo superiore in [mq]

 $N_u \;\; sforzo \; normale \; ultimo \; espresso \; in \; [kN]$

 M_{u} momento ultimo espresso in [kNm]

CS coefficiente sicurezza sezione

VRcd Aliquota di taglio assorbito dal cls, espresso in [kN]

VRsd Aliquota di taglio assorbito dall'armatura, espresso in [kN]

VRd Resistenza al taglio, espresso in [kN]

Fondazione di valle

(L'ascissa X, espressa in [m], è positiva verso monte con origine in corrispondenza dell'estremo libero della fondazione di valle)

$\mathbf{V}_{\mathbf{R}\mathbf{s}\mathbf{d}}$	$\mathbf{V}_{\mathbf{Rcd}}$	$\mathbf{V}_{\mathbf{Rd}}$	CS	$\mathbf{M}_{\mathbf{u}}$	N_u	${f A_{fi}}$	$\mathbf{A}_{\mathbf{fs}}$	В, Н	Nr. Y
		317.11	3748.73	1110.76	0.00	0.003142	0.001571	1.00, 1.00	1 0.05
		317.11	235.75	1110.76	0.00	0.003142	0.001571	1.00, 1.00	2 0.20
		317.11	77.46	1110.76	0.00	0.003142	0.001571	1.00, 1.00	3 0.35
		317.11	38.20	1110.76	0.00	0.003142	0.001571	1.00, 1.00	4 0.50

Fondazione di monte

(L'ascissa X, espressa in [m], è positiva verso valle con origine in corrispondenza dell'estremo libero della fondazione di monte)

$\mathbf{V}_{\mathbf{R}\mathbf{s}\mathbf{d}}$	$\mathbf{V}_{\mathbf{Rcd}}$	$\mathbf{V}_{\mathbf{Rd}}$	CS	$\mathbf{M}_{\mathbf{u}}$	N_u	${f A_{fi}}$	$\mathbf{A}_{\mathbf{fs}}$	В, Н	Y	Nr.
		295.42	89.59	-562.15	0.00	0.003142	0.001571	1.00, 1.00	0.35	1
		295.42	7.12	-562.15	0.00	0.003142	0.001571	1.00, 1.00	1.40	2

Cod. elab.: 014RI213-MU83-6-CL-241_A	Titolo: OPERE D'ARTE MINORI - MURI IN C.A.	Data: Aprile 2011
Nome file: 014RI213-MU83-6-CL-241_A.docx	MU.83 - Muro di sottoscarpa 49.94 mt - da 20+873.00 a 20+921.54	<i>Pagina</i> 50 di 130
	Relazione di calcolo	1 agina 30 di 130

3 2.45	1.00, 1.00 0.001571 0.003142	0.00 -562.15	2.89 295.4	2	
4 3.50	1.00, 1.00, 0.001571, 0.003142	0.00 -562.15	1.93 295.4	2	

Sollecitazioni paramento

Combinazione n° 10

L'ordinata Y(espressa in m) è considerata positiva verso il basso con origine in testa al muro

Momento positivo se tende le fibre contro terra (a monte), espresso in kNm

Sforzo normale positivo di compressione, espresso in kN

Taglio positivo se diretto da monte verso valle, espresso in kN

Nr.	Y	N	\mathbf{M}	T
1	0.00	0.0000	0.0000	0.0000
2	0.75	11.3332	1.4801	5.2523
3	1.50	22.6663	6.8994	10.5046
4	2.25	33.9995	16.2579	15.7569
5	3.00	45.3327	29.5557	21.0092
6	3.50	238.3806	39.3506	382.3145
7	4.25	572.5938	456.5247	1170.4998
8	5.00	923.3669	1479.1350	2000.0222

Sollecitazioni fondazione di valle

Combinazione nº 10

L'ascissa X(espressa in m) è considerata positiva verso monte con origine in corrispondenza dell'estremo libero della fondazione di valle

Momento positivo se tende le fibre inferiori, espresso in kNm

Taglio positivo se diretto verso l'alto, espresso in kN

Nr. X M

Cod. elab.: 014RI213-MU83-6-CL-241_A	Titolo: OPERE D'ARTE MINORI - MURI IN C.A.	Data: Aprile 2011
Nome file: 014RI213-MU83-6-CL-241_A.docx	MU.83 - Muro di sottoscarpa 49.94 mt - da 20+873.00 a 20+921.54	<i>Pagina</i> 51 di 130
•	Relazione di calcolo	o .

1 0.05	0.3605	14.4002
2 0.20	5.7187	56.8569
3 0.35	17.3618	98.1977
4 0.50	35.1223	138.4227

Sollecitazioni fondazione di monte

Combinazione nº 10

 $L'ascissa\ X(espressa\ in\ m)\ \grave{e}\ considerata\ positiva\ verso\ valle\ con\ origine\ in\ corrispondenza\ dell'estremo\ libero\ della\ fondazione\ di\ monte$

Momento positivo se tende le fibre inferiori, espresso in kNm

Taglio positivo se diretto verso l'alto, espresso in kN

T	M	Nr. X
-50.5563	-9.1628	1 0.35
-145.7620	-118.1754	2 1.40
-173.6232	-293.4449	3 2.45
-109.5272	-449.4002	4 3.50

Armature e tensioni nei materiali del muro

Combinazione n° 10

L'ordinata Y(espressa in [m]) è considerata positiva verso il basso con origine in testa al muro

- $B\quad \text{base della sezione espressa in }[m]$
- H altezza della sezione espressa in [m]
- $A_{\text{fs}}\,$ area di armatura in corrispondenza del lembo di monte in [mq]
- $A_{\rm fi}\,$ area di armatura in corrispondenza del lembo di valle in [mq]
- $N_{\rm u}\,$ sforzo normale ultimo espresso in [kN]
- M_u momento ultimo espresso in [kNm]
- CS coefficiente sicurezza sezione

VRcd Aliquota di taglio assorbito dal cls, espresso in [kN]

VRsd Aliquota di taglio assorbito dall'armatura, espresso in [kN]

VRd Resistenza al taglio, espresso in [kN]

Cod. elab.: 014RI213-MU83-6-CL-241_A	Titolo: OPERE D'ARTE MINORI - MURI IN C.A.	Data: Aprile 2011
Nome file: 014RI213-MU83-6-CL-241_A.docx	MU.83 - Muro di sottoscarpa 49.94 mt - da 20+873.00 a 20+921.54	<i>Pagina</i> 52 di 130
Nome file. 014Rt215-W005-0-CL-241_A.docx	Relazione di calcolo	1 agina 32 di 130

Nr.	Y	В, Н	$\mathbf{A}_{\mathbf{f}\mathbf{s}}$	${f A_{fi}}$	N_{u}	$\mathbf{M}_{\mathbf{u}}$	CS	$\mathbf{V}_{\mathbf{Rd}}$	$\mathbf{V}_{\mathbf{Rcd}}$	\mathbf{V}_{Rsd}
1	0.00	1.00, 0.50	0.001571	0.001571	0.00	0.00	1000.00	174.73		
2	0.75	1.00, 0.50	0.001571	0.001571	4271.51	-557.85	376.90	176.26		
3	1.50	1.00, 0.50	0.001571	0.001571	1902.66	-579.15	83.94	177.79		
4	2.25	1.00, 0.50	0.001571	0.001571	915.27	-437.66	26.92	179.32		
5	3.00	1.00, 0.50	0.001571	0.001571	568.55	-370.68	12.54	180.85		
6	3.50	1.00, 1.00	0.003142	0.001571	9837.62	-1623.94	41.27	2834.92	2834.921331	65.63
7	4.25	1.00, 1.00	0.003142	0.003142	2732.63	-2178.70	4.77	2903.90	2903.902663	31.26
8	5.00	1.00, 1.00	0.003946	0.001571	1126.54	-1804.59	1.22	2976.29	2976.292663	31.26

Armature e tensioni nei materiali della fondazione

Combinazione n° 10

Simbologia adottata

B base della sezione espressa in [m]

H altezza della sezione espressa in [m]

 $A_{\rm fi}\,$ area di armatura in corrispondenza del lembo inferiore in [mq]

 $A_{\mbox{\tiny fs}}$ area di armatura in corrispondenza del lembo superiore in [mq]

 $N_{\rm u}\;$ sforzo normale ultimo espresso in [kN]

 M_{u} momento ultimo espresso in [kNm]

CS coefficiente sicurezza sezione

VRcd Aliquota di taglio assorbito dal cls, espresso in [kN]

VRsd Aliquota di taglio assorbito dall'armatura, espresso in [kN]

VRd Resistenza al taglio, espresso in [kN]

Fondazione di valle

(L'ascissa X, espressa in [m], è positiva verso monte con origine in corrispondenza dell'estremo libero della fondazione di valle)

Nr.	\mathbf{Y}	В. Н	$\mathbf{A_{fs}}$	$\mathbf{A}_{\mathbf{fi}}$	N _n	М.,	CS	$\mathbf{V}_{\mathbf{Rd}}$	$\mathbf{V}_{\mathbf{Rcd}}$	V_{Rsd}
1110	-	2, 11	IS	- - 11	+ 'u	u	CD	' Ku	' Kca	' Ksu

Cod. elab.: 014RI213-MU83-6-CL-241_A	Titolo: OPERE D'ARTE MINORI - MURI IN C.A.	Data: Aprile 2011
Nome file: 014RI213-MU83-6-CL-241_A.docx	MU.83 - Muro di sottoscarpa 49.94 mt - da 20+873.00 a 20+921.54	<i>Pagina</i> 53 di 130
Nome file: 014K1215-W005-0-CL-241_A.docx	Relazione di calcolo	1 agina 33 di 130

1 0.05	1.00, 1.00 0.001571	0.003142	0.00	1110.76	3080.99	317.11	
2 0.20	1.00, 1.00 0.001571	0.003142	0.00	1110.76	194.23	317.11	
3 0.35	1.00, 1.00 0.001571	0.003142	0.00	1110.76	63.98	317.11	
4 0.50	1.00, 1.00 0.001571	0.003142	0.00	1110.76	31.63	317.11	

Fondazione di monte

(L'ascissa X, espressa in [m], è positiva verso valle con origine in corrispondenza dell'estremo libero della fondazione di monte)

$\mathbf{V}_{\mathbf{R}\mathbf{s}\mathbf{d}}$	$\mathbf{V}_{\mathbf{Rcd}}$	$\mathbf{V}_{\mathbf{Rd}}$	CS	$\mathbf{M}_{\mathbf{u}}$	N_u	${f A_{fi}}$	$\mathbf{A}_{\mathbf{fs}}$	В, Н	Nr. Y
		295.42	61.35	-562.15	0.00	0.003142	0.001571	1.00, 1.00	1 0.35
		295.42	4.76	-562.15	0.00	0.003142	0.001571	1.00, 1.00	2 1.40
		295.42	1.92	-562.15	0.00	0.003142	0.001571	1.00, 1.00	3 2.45
		295.42	1.25	-562.15	0.00	0.003142	0.001571	1.00, 1.00	4 3.50

Sollecitazioni paramento

Combinazione nº 13

L'ordinata Y(espressa in m) è considerata positiva verso il basso con origine in testa al muro

Momento positivo se tende le fibre contro terra (a monte), espresso in kNm

Sforzo normale positivo di compressione, espresso in kN

Taglio positivo se diretto da monte verso valle, espresso in kN

Nr.	Y	N	\mathbf{M}	T
1	0.00	0.0000	0.0000	0.0000
2	0.75	9.3750	0.0000	0.0000
3	1.50	18.7500	0.0000	0.0000
4	2.25	28.1250	0.0000	0.0000
5	3.00	37.5000	0.0000	0.0000
6	3.50	204.6974	-33.5647	237.0331
7	4.25	771.5912	260.5639	1331.6510
8	5.00	1506.1779	1420.9626	2761.1440

Cod. elab.: 014RI213-MU83-6-CL-241_A	Titolo: OPERE D'ARTE MINORI - MURI IN C.A.	Data: Aprile 2011
N CL OLIDICAL MUSIC CL ALL A L	MU.83 - Muro di sottoscarpa 49.94 mt - da 20+873.00 a 20+921.54	
Nome file: 014RI213-MU83-6-CL-241_A.docx	Relazione di calcolo	Pagina 54 di 130

Sollecitazioni fondazione di valle

Combinazione n° 13

L'ascissa X(espressa in m) è considerata positiva verso monte con origine in corrispondenza dell'estremo libero della fondazione di valle

Momento positivo se tende le fibre inferiori, espresso in kNm

Taglio positivo se diretto verso l'alto, espresso in kN

T	M	Nr. X
9.7409	0.2437	1 0.05
38.7433	3.8841	2 0.20
67.4150	11.8501	3 0.35
95.7561	24.0921	4 0.50

Sollecitazioni fondazione di monte

Combinazione n° 13

 $L'ascissa\ X(espressa\ in\ m)\ \grave{e}\ considerata\ positiva\ verso\ valle\ con\ origine\ in\ corrispondenza\ dell'estremo\ libero\ della\ fondazione\ di\ monte$

Momento positivo se tende le fibre inferiori, espresso in kNm

Taglio positivo se diretto verso l'alto, espresso in kN

Nr. X	M	T
1 0.35	-4.4855	-24.5412
2 1.40	-55.3084	-67.3523
3 2.45	-137.5737	-81.2948
4 3.50	-206.1102	-41.7560

Armature e tensioni nei materiali del muro

Cod. elab.: 014RI213-MU83-6-CL-241_A	Titolo: OPERE D'ARTE MINORI - MURI IN C.A.	Data: Aprile 2011
Nama Ela, 014D1212 MU92 6 CL 241 A door	MU.83 - Muro di sottoscarpa 49.94 mt - da 20+873.00 a 20+921.54	
Nome file: 014RI213-MU83-6-CL-241_A.docx	Relazione di calcolo	Pagina 55 di 130

Combinazione n° 13

L'ordinata Y(espressa in [m]) è considerata positiva verso il basso con origine in testa al muro

- B base della sezione espressa in [m]
- H altezza della sezione espressa in [m]
- $A_{\text{fs}}\,$ area di armatura in corrispondenza del lembo di monte in [mq]
- $A_{\rm fi}\,$ area di armatura in corrispondenza del lembo di valle in [mq]
- σ_c tensione nel calcestruzzo espressa in [MPa]
- τ_c $\,$ tensione tangenziale nel calcestruzzo espressa in [MPa]
- $\sigma_{\text{fs}}\,$ tensione nell'armatura disposta sul lembo di monte in [MPa]
- $\sigma_{\scriptscriptstyle fi}~$ tensione nell'armatura disposta sul lembo di valle in [MPa]

Nr.	Y	В, Н	$\mathbf{A}_{\mathbf{fs}}$	${f A_{fi}}$	$\sigma_{\rm c}$	$ au_{\mathrm{c}}$	σ_{fs}	$\sigma_{\rm fi}$
1	0.00	1.00, 0.50	0.001571	0.001571	0.000	0.000	0.000	0.000
2	0.75	1.00, 0.50	0.001571	0.001571	0.017	0.000	-0.257	-0.257
3	1.50	1.00, 0.50	0.001571	0.001571	0.034	0.000	-0.514	-0.514
4	2.25	1.00, 0.50	0.001571	0.001571	0.051	0.000	-0.771	-0.771
5	3.00	1.00, 0.50	0.001571	0.001571	0.069	0.000	-1.028	-1.028
6	3.50	1.00, 1.00	0.003142	0.001571	0.350	0.294	-5.002	-0.637
7	4.25	1.00, 1.00	0.003142	0.003142	2.150	1.649	13.491	-29.848
8	5.00	1.00, 1.00	0.003946	0.001571	11.860	3.419	259.966	-154.850

Armature e tensioni nei materiali della fondazione

Combinazione n° 13

Simbologia adottata

- B base della sezione espressa in [m]
- H altezza della sezione espressa in [m]
- A_{fi} area di armatura in corrispondenza del lembo inferiore in [mq]
- A_{fs} area di armatura in corrispondenza del lembo superiore in [mq]

Cod. elab.: 014RI213-MU83-6-CL-241_A	Titolo: OPERE D'ARTE MINORI - MURI IN C.A.	Data: Aprile 2011
Nome file: 014RI213-MU83-6-CL-241_A.docx	MU.83 - Muro di sottoscarpa 49.94 mt - da 20+873.00 a 20+921.54	<i>Pagina</i> 56 di 130
	Relazione di calcolo	

- σ_c tensione nel calcestruzzo espressa in [MPa]
- τ_c $\,$ tensione tangenziale nel calcestruzzo espressa in [MPa]
- $\sigma_{\scriptscriptstyle fi}~$ tensione nell'armatura disposta in corrispondenza del lembo inferiore in [MPa]
- $\sigma_{\text{fs}}\,$ tensione nell'armatura disposta in corrispondenza del lembo superiore in [MPa]

Fondazione di valle

(L'ascissa X, espressa in [m], è positiva verso monte con origine in corrispondenza dell'estremo libero della fondazione di valle)

Nr.	X	В, Н	$\mathbf{A_{fs}}$	${f A_{fi}}$	$\sigma_{\rm c}$	$ au_{\mathrm{c}}$	$\sigma_{\rm fi}$	$\sigma_{\rm fs}$
1	0.05	1.00, 1.00	0.001571	0.003142	0.002	0.012	0.089	-0.024
2	0.20	1.00, 1.00	0.001571	0.003142	0.032	0.048	1.415	-0.380
3	0.35	1.00, 1.00	0.001571	0.003142	0.098	0.083	4.316	-1.160
4	0.50	1.00, 1.00	0.001571	0.003142	0.198	0.119	8.776	-2.358

Fondazione di monte

(L'ascissa X, espressa in [m], è positiva verso valle con origine in corrispondenza dell'estremo libero della fondazione di monte)

Nr.	. X	В, Н	$\mathbf{A_{fs}}$	${f A_{fi}}$	$\sigma_{\rm c}$	$ au_{ m c}$	$\sigma_{ m fi}$	σ_{fs}
1	0.35	1.00, 1.00	0.001571	0.003142	0.044	-0.030	-0.456	3.184
2	1.40	1.00, 1.00	0.001571	0.003142	0.541	-0.083	-5.620	39.255
3	2.45	1.00, 1.00	0.001571	0.003142	1.345	-0.101	-13.979	97.642
4	3.50	1.00, 1.00	0.001571	0.003142	2.016	-0.052	-20.944	146.285

Verifiche a fessurazione

Combinazione nº 13

L'ordinata Y (espressa in [m]) è considerata positiva verso il basso con origine in testa al muro

A_{fs} area di armatura in corrispondenza del lembo di monte in [mq]

A_{fi} area di armatura in corrispondenza del lembo di valle in [mq]

Cod. elab.: 014RI213-MU83-6-CL-241_A	Titolo: OPERE D'ARTE MINORI - MURI IN C.A.	Data: Aprile 2011
Name Clas OLABIO 2 MI 192 & Cl. 241 A decre	MU.83 - Muro di sottoscarpa 49.94 mt - da 20+873.00 a 20+921.54	
Nome file: 014RI213-MU83-6-CL-241_A.docx	Relazione di calcolo	Pagina 57 di 130

- $M_{\mbox{\tiny pf}}$ Momento di prima fessurazione espressa in [kNm]
- M Momento agente nella sezione espressa in [kNm]
- ϵ_m deformazione media espressa in [%]
- $s_m \;\; Distanza$ media tra le fessure espressa in [mm]
- w Apertura media della fessura espressa in [mm]

Verifica fessurazione paramento

N°	Y	$\mathbf{A_{fs}}$	${f A_{fi}}$	$\mathbf{M}_{\mathbf{pf}}$	M	$\boldsymbol{\epsilon}_{\mathrm{m}}$	$S_{\mathbf{m}}$	\mathbf{w}
1	0.00	0.001571	0.001571	-62.28	0.00	0.0000	0.00	0.000
2	0.25	0.001571	0.001571	-62.28	0.00	0.0000	0.00	0.000
3	0.50	0.001571	0.001571	-62.28	0.00	0.0000	0.00	0.000
4	0.75	0.001571	0.001571	-62.28	0.00	0.0000	0.00	0.000
5	1.00	0.001571	0.001571	-62.28	0.00	0.0000	0.00	0.000
6	1.25	0.001571	0.001571	-62.28	0.00	0.0000	0.00	0.000
7	1.50	0.001571	0.001571	-62.28	0.00	0.0000	0.00	0.000
8	1.75	0.001571	0.001571	-62.28	0.00	0.0000	0.00	0.000
9	2.00	0.001571	0.001571	-62.28	0.00	0.0000	0.00	0.000
10	2.25	0.001571	0.001571	-62.28	0.00	0.0000	0.00	0.000
11	2.50	0.001571	0.001571	-62.28	0.00	0.0000	0.00	0.000
12	2.75	0.001571	0.001571	-62.28	0.00	0.0000	0.00	0.000
13	3.00	0.001571	0.001571	-62.28	0.00	0.0000	0.00	0.000
14	3.00	0.003142	0.001571	-252.61	-0.38	0.0000	0.00	0.000
15	3.25	0.003142	0.001571	241.39	1.33	0.0000	0.00	0.000
16	3.50	0.003142	0.001571	241.39	33.56	0.0000	0.00	0.000
17	3.75	0.003142	0.001571	241.39	16.43	0.0000	0.00	0.000
18	4.00	0.003142	0.003142	-255.91	-78.96	0.0000	0.00	0.000
19	4.25	0.003142	0.003142	-255.91	-260.56	0.0039	135.34	0.009
20	4.50	0.003544	0.001571	-256.29	-536.99	0.0196	126.91	0.042
21	4.75	0.003544	0.001571	-256.29	-919.39	0.0660	126.91	0.142
22	5.00	0.003946	0.001571	-259.96	-1420.96	0.1211	120.80	0.249

Verifica fessurazione fondazione

N°	Y	$\mathbf{A}_{\mathbf{f_c}}$	Ari	$\mathbf{M}_{\mathbf{pf}}$	M	$\mathbf{\epsilon}_{\mathrm{m}}$	$\mathbf{S}_{\mathbf{m}}$	\mathbf{w}
- 1	_	IS	11	- ' - DI		•III	→III	• • • • • • • • • • • • • • • • • • • •

Cod. elab.: 014RI213-MU83-6-CL-241_A	Titolo: OPERE D'ARTE MINORI - MURI IN C.A.	Data: Aprile 2011
Nome file: 014RI213-MU83-6-CL-241_A.docx	MU.83 - Muro di sottoscarpa 49.94 mt - da 20+873.00 a 20+921.54	Pagina 58 di 130
	Relazione di calcolo	

	nodernamento e	e daeguamento a		ESECUTIVO	ii iiii 111000 iiii	s svincoto con t	,,,,,,
1 -1.00	0.001571	0.003142	-241.39	0.00	0.0000	0.00	0.000
2 -0.95	0.001571	0.003142	252.61	0.24	0.0000	0.00	0.000
3 -0.90	0.001571	0.003142	252.61	0.97	0.0000	0.00	0.000
4 -0.85	0.001571	0.003142	252.61	2.19	0.0000	0.00	0.000
5 -0.80	0.001571	0.003142	252.61	3.88	0.0000	0.00	0.000
6 -0.75	0.001571	0.003142	252.61	6.06	0.0000	0.00	0.000
7 -0.70	0.001571	0.003142	252.61	8.72	0.0000	0.00	0.000
8 -0.65	0.001571	0.003142	252.61	11.85	0.0000	0.00	0.000
9 -0.60	0.001571	0.003142	252.61	15.46	0.0000	0.00	0.000
10 -0.55	0.001571	0.003142	252.61	19.54	0.0000	0.00	0.000
11 -0.50	0.001571	0.003142	252.61	24.09	0.0000	0.00	0.000
12 0.50	0.001571	0.003142	-241.39	-206.11	0.0000	0.00	0.000
13 0.85	0.001571	0.003142	-241.39	-188.35	0.0000	0.00	0.000
14 1.20	0.001571	0.003142	-241.39	-164.87	0.0000	0.00	0.000
15 1.55	0.001571	0.003142	-241.39	-137.57	0.0000	0.00	0.000
16 1.90	0.001571	0.003142	-241.39	-108.73	0.0000	0.00	0.000
17 2.25	0.001571	0.003142	-241.39	-80.63	0.0000	0.00	0.000
18 2.60	0.001571	0.003142	-241.39	-55.31	0.0000	0.00	0.000
19 2.95	0.001571	0.003142	-241.39	-33.69	0.0000	0.00	0.000
20 3.30	0.001571	0.003142	-241.39	-16.42	0.0000	0.00	0.000
21 3.65	0.001571	0.003142	-241.39	-4.49	0.0000	0.00	0.000
22 4.00	0.001571	0.003142	-241.39	0.00	0.0000	0.00	0.000

Sollecitazioni paramento

Combinazione n° 14

L'ordinata Y(espressa in m) è considerata positiva verso il basso con origine in testa al muro

Momento positivo se tende le fibre contro terra (a monte), espresso in kNm

Sforzo normale positivo di compressione, espresso in kN

Taglio positivo se diretto da monte verso valle, espresso in kN

Nr. Y	N	M	T
1 0.00	0.0000	0.0000	0.0000

Cod. elab.: 014RI213-MU83-6-CL-241_A	Titolo: OPERE D'ARTE MINORI - MURI IN C.A.	Data: Aprile 2011
Nome file: 014RI213-MU83-6-CL-241_A.docx	MU.83 - Muro di sottoscarpa 49.94 mt - da 20+873.00 a 20+921.54	<i>Pagina</i> 59 di 130
Nome fue. 01410213-1003-0-CL-241_1.docx	Relazione di calcolo	T agina 57 at 150

PROGETTO 1	ESECUTIVO
------------	-----------

2 0.7	9.3750	0.0000	0.0000
3 1.5	18.7500	0.0000	0.0000
4 2.2	5 28.1250	0.0000	0.0000
5 3.0	37.5000	0.0000	0.0000
6 3.5	204.6974	-33.5647	237.0331
7 4.2	771.5912	260.5639	1331.6510
8 5.0	1506.2376	1420.9494	2761.2633

Sollecitazioni fondazione di valle

Combinazione nº 14

L'ascissa X(espressa in m) è considerata positiva verso monte con origine in corrispondenza dell'estremo libero della fondazione di valle Momento positivo se tende le fibre inferiori, espresso in kNm

Taglio positivo se diretto verso l'alto, espresso in kN

T	M	Nr. X
9.7446	0.2438	1 0.05
38.7590	3.8857	2 0.20
67.4442	11.8550	3 0.35
95.8002	24.1024	4 0.50

Sollecitazioni fondazione di monte

Combinazione nº 14

L'ascissa X(espressa in m) è considerata positiva verso valle con origine in corrispondenza dell'estremo libero della fondazione di monte

Momento positivo se tende le fibre inferiori, espresso in kNm

Taglio positivo se diretto verso l'alto, espresso in kN

Cod. elab.: 014RI213-MU83-6-CL-241_A	Titolo: OPERE D'ARTE MINORI - MURI IN C.A.	Data: Aprile 2011
Name Star 014D1212 MH92 6 CL 241 A door	MU.83 - Muro di sottoscarpa 49.94 mt - da 20+873.00 a 20+921.54	
Nome file: 014RI213-MU83-6-CL-241_A.docx	Relazione di calcolo	Pagina 60 di 130

-80.5365

-40.7882

Nr. X	M	T
1 0.35	-4.4623	-24.4098
2 1.40	-54.9584	-66.8728

-136.5679

-204.1920

Armature e tensioni nei materiali del muro

Combinazione n° 14

3 2.45

4 3.50

L'ordinata Y(espressa in [m]) è considerata positiva verso il basso con origine in testa al muro

- B base della sezione espressa in [m]
- H altezza della sezione espressa in [m]
- $A_{\text{fs}}\,$ area di armatura in corrispondenza del lembo di monte in [mq]
- $A_{\rm fi}\,$ area di armatura in corrispondenza del lembo di valle in [mq]
- σ_c tensione nel calcestruzzo espressa in [MPa]
- τ_c $\,$ tensione tangenziale nel calcestruzzo espressa in [MPa]
- $\sigma_{\text{fs}}\,$ tensione nell'armatura disposta sul lembo di monte in [MPa]
- $\sigma_{\scriptscriptstyle fi}~$ tensione nell'armatura disposta sul lembo di valle in [MPa]

Nr.	Y	В, Н	$\mathbf{A}_{\mathbf{f}\mathbf{s}}$	${f A_{fi}}$	$\sigma_{\rm c}$	$ au_{ m c}$	σ_{fs}	$\sigma_{ m fi}$
1	0.00	1.00, 0.50	0.001571	0.001571	0.000	0.000	0.000	0.000
2	0.75	1.00, 0.50	0.001571	0.001571	0.017	0.000	-0.257	-0.257
3	1.50	1.00, 0.50	0.001571	0.001571	0.034	0.000	-0.514	-0.514
4	2.25	1.00, 0.50	0.001571	0.001571	0.051	0.000	-0.771	-0.771
5	3.00	1.00, 0.50	0.001571	0.001571	0.069	0.000	-1.028	-1.028
6	3.50	1.00, 1.00	0.003142	0.001571	0.350	0.294	-5.002	-0.637
7	4.25	1.00, 1.00	0.003142	0.003142	2.150	1.649	13.491	-29.848
8	5.00	1.00, 1.00	0.003946	0.001571	11.860	3.420	259.956	-154.849

Armature e tensioni nei materiali della fondazione

Cod. elab.: 014RI213-MU83-6-CL-241_A	Titolo: OPERE D'ARTE MINORI - MURI IN C.A.	Data: Aprile 2011
Nome file: 014RI213-MU83-6-CL-241_A.docx	MU.83 - Muro di sottoscarpa 49.94 mt - da 20+873.00 a 20+921.54	<i>Pagina</i> 61 di 130
	Relazione di calcolo	0

Combinazione nº 14

Simbologia adottata

- B base della sezione espressa in [m]
- H altezza della sezione espressa in [m]
- $A_{\rm fi}\,$ area di armatura in corrispondenza del lembo inferiore in [mq]
- $A_{\mbox{\tiny fs}}$ area di armatura in corrispondenza del lembo superiore in [mq]
- σ_c tensione nel calcestruzzo espressa in [MPa]
- τ_c tensione tangenziale nel calcestruzzo espressa in [MPa]
- $\sigma_{\scriptscriptstyle fi}~$ tensione nell'armatura disposta in corrispondenza del lembo inferiore in [MPa]
- $\sigma_{\!\scriptscriptstyle fs}\,$ tensione nell'armatura disposta in corrispondenza del lembo superiore in [MPa]

Fondazione di valle

(L'ascissa X, espressa in [m], è positiva verso monte con origine in corrispondenza dell'estremo libero della fondazione di valle)

Nr.	X	В, Н	$\mathbf{A_{fs}}$	${f A_{fi}}$	$\sigma_{\rm c}$	$ au_{ m c}$	$\sigma_{ m fi}$	σ_{fs}
1	0.05	1.00, 1.00	0.001571	0.003142	0.002	0.012	0.089	-0.024
2	0.20	1.00, 1.00	0.001571	0.003142	0.032	0.048	1.415	-0.380
3	0.35	1.00, 1.00	0.001571	0.003142	0.098	0.084	4.318	-1.160
4	0.50	1.00, 1.00	0.001571	0.003142	0.198	0.119	8.779	-2.359

Fondazione di monte

(L'ascissa X, espressa in [m], è positiva verso valle con origine in corrispondenza dell'estremo libero della fondazione di monte)

Nr.	X	В, Н	$\mathbf{A}_{\mathbf{f}\mathbf{s}}$	${f A_{fi}}$	$\sigma_{\rm c}$	$ au_{ m c}$	$\sigma_{ m fi}$	σ_{fs}
1	0.35	1.00, 1.00	0.001571	0.003142	0.044	-0.030	-0.453	3.167
2	1.40	1.00, 1.00	0.001571	0.003142	0.537	-0.083	-5.585	39.006
3	2.45	1.00, 1.00	0.001571	0.003142	1.336	-0.100	-13.877	96.928
4	3 50	1 00 1 00	0.001571	0.003142	1 997	-0.051	-20 749	144 923

Cod. elab.: 014RI213-MU83-6-CL-241_A	Titolo: OPERE D'ARTE MINORI - MURI IN C.A.	Data: Aprile 2011
Nome file: 014RI213-MU83-6-CL-241_A.docx	MU.83 - Muro di sottoscarpa 49.94 mt - da 20+873.00 a 20+921.54	<i>Pagina</i> 62 di 130
Nome file: 014K1215-W005-0-CL-241_A.docx	Relazione di calcolo	1 agina 02 di 130

Verifiche a fessurazione

Combinazione nº 14

L'ordinata Y (espressa in [m]) è considerata positiva verso il basso con origine in testa al muro

 $A_{\text{fs}}\,$ area di armatura in corrispondenza del lembo di monte in [mq]

 $A_{\rm fi}\,$ area di armatura in corrispondenza del lembo di valle in [mq]

 $M_{\text{pf}}Momento \ di \ prima \ fessurazione espressa in [kNm]$

M Momento agente nella sezione espressa in [kNm]

- $\epsilon_m~$ deformazione media espressa in [%]
- $s_{m}\;\;$ Distanza media tra le fessure espressa in [mm]
- w Apertura media della fessura espressa in [mm]

Verifica fessurazione paramento

N°	Y	$\mathbf{A}_{\mathbf{f}\mathbf{s}}$	${f A_{fi}}$	$\mathbf{M}_{\mathbf{pf}}$	M	$\boldsymbol{\epsilon}_{\mathrm{m}}$	$\mathbf{s}_{\mathbf{m}}$	\mathbf{w}
1	0.00	0.001571	0.001571	-62.28	0.00	0.0000	0.00	0.000
2	0.25	0.001571	0.001571	-62.28	0.00	0.0000	0.00	0.000
3	0.50	0.001571	0.001571	-62.28	0.00	0.0000	0.00	0.000
4	0.75	0.001571	0.001571	-62.28	0.00	0.0000	0.00	0.000
5	1.00	0.001571	0.001571	-62.28	0.00	0.0000	0.00	0.000
6	1.25	0.001571	0.001571	-62.28	0.00	0.0000	0.00	0.000
7	1.50	0.001571	0.001571	-62.28	0.00	0.0000	0.00	0.000
8	1.75	0.001571	0.001571	-62.28	0.00	0.0000	0.00	0.000
9	2.00	0.001571	0.001571	-62.28	0.00	0.0000	0.00	0.000
10	2.25	0.001571	0.001571	-62.28	0.00	0.0000	0.00	0.000
11	2.50	0.001571	0.001571	-62.28	0.00	0.0000	0.00	0.000
12	2.75	0.001571	0.001571	-62.28	0.00	0.0000	0.00	0.000
13	3.00	0.001571	0.001571	-62.28	0.00	0.0000	0.00	0.000
14	3.00	0.003142	0.001571	-252.61	-0.38	0.0000	0.00	0.000
15	3.25	0.003142	0.001571	241.39	1.33	0.0000	0.00	0.000
16	3.50	0.003142	0.001571	241.39	33.56	0.0000	0.00	0.000
17	3.75	0.003142	0.001571	241.39	16.43	0.0000	0.00	0.000
18	4.00	0.003142	0.003142	-255.91	-78.96	0.0000	0.00	0.000
19	4.25	0.003142	0.003142	-255.91	-260.56	0.0039	135.34	0.009

Cod. elab.: 014RI213-MU83-6-CL-241_A	Titolo: OPERE D'ARTE MINORI - MURI IN C.A.	Data: Aprile 2011
Nome file: 014RI213-MU83-6-CL-241_A.docx	MU.83 - Muro di sottoscarpa 49.94 mt - da 20+873.00 a 20+921.54	Pagina 63 di 130
	Relazione di calcolo	_

		_	PROGETTO	ESECUTIVO				
20 4.50	0.003544	0.001571	-256.29	-536.99	0.0196	126.91	0.042	
21 4.75	0.003544	0.001571	-256.29	-919.39	0.0660	126.91	0.142	
22 5.00	0.003946	0.001571	-259.96	-1420.95	0.1211	120.80	0.249	

Verifica fessurazione fondazione

N° Y	$\mathbf{A_{fs}}$	${f A_{fi}}$	$\mathbf{M}_{\mathbf{pf}}$	M	$\boldsymbol{\epsilon}_{\mathrm{m}}$	$\mathbf{S_m}$	w
1 -1.00	0.001571	0.003142	-241.39	0.00	0.0000	0.00	0.000
2 -0.95	0.001571	0.003142	252.61	0.24	0.0000	0.00	0.000
3 -0.90	0.001571	0.003142	252.61	0.97	0.0000	0.00	0.000
4 -0.85	0.001571	0.003142	252.61	2.19	0.0000	0.00	0.000
5 -0.80	0.001571	0.003142	252.61	3.89	0.0000	0.00	0.000
6 -0.75	0.001571	0.003142	252.61	6.06	0.0000	0.00	0.000
7 -0.70	0.001571	0.003142	252.61	8.72	0.0000	0.00	0.000
8 -0.65	0.001571	0.003142	252.61	11.86	0.0000	0.00	0.000
9 -0.60	0.001571	0.003142	252.61	15.46	0.0000	0.00	0.000
10 -0.55	0.001571	0.003142	252.61	19.55	0.0000	0.00	0.000
11 -0.50	0.001571	0.003142	252.61	24.10	0.0000	0.00	0.000
12 0.50	0.001571	0.003142	-241.39	-204.19	0.0000	0.00	0.000
13 0.85	0.001571	0.003142	-241.39	-186.76	0.0000	0.00	0.000
14 1.20	0.001571	0.003142	-241.39	-163.59	0.0000	0.00	0.000
15 1.55	0.001571	0.003142	-241.39	-136.57	0.0000	0.00	0.000
16 1.90	0.001571	0.003142	-241.39	-107.98	0.0000	0.00	0.000
17 2.25	0.001571	0.003142	-241.39	-80.09	0.0000	0.00	0.000
18 2.60	0.001571	0.003142	-241.39	-54.96	0.0000	0.00	0.000
19 2.95	0.001571	0.003142	-241.39	-33.49	0.0000	0.00	0.000
20 3.30	0.001571	0.003142	-241.39	-16.32	0.0000	0.00	0.000
21 3.65	0.001571	0.003142	-241.39	-4.46	0.0000	0.00	0.000
22 4.00	0.001571	0.003142	-241.39	0.00	0.0000	0.00	0.000

Sollecitazioni paramento

Combinazione n° 15

Cod. elab.: 014RI213-MU83-6-CL-241_A	Titolo: OPERE D'ARTE MINORI - MURI IN C.A.	Data: Aprile 2011
N. C. OLADYALA MURA COLIATA A L.	MU.83 - Muro di sottoscarpa 49.94 mt - da 20+873.00 a 20+921.54	
Nome file: 014RI213-MU83-6-CL-241_A.docx	Relazione di calcolo	Pagina 64 di 130

L'ordinata Y(espressa in m) è considerata positiva verso il basso con origine in testa al muro

Momento positivo se tende le fibre contro terra (a monte), espresso in kNm

Sforzo normale positivo di compressione, espresso in kN

Taglio positivo se diretto da monte verso valle, espresso in kN

Nr.	Y	N	M	T
1	0.00	0.0000	0.0000	0.0000
2	0.75	9.3750	0.0000	0.0000
3	1.50	18.7500	0.0000	0.0000
4	2.25	28.1250	0.0000	0.0000
5	3.00	37.5000	0.0000	0.0000
6	3.50	204.6974	-33.5647	237.0331
7	4.25	771.5912	260.5639	1331.6510
8	5.00	1506.4257	1420.9177	2761.6387

Sollecitazioni fondazione di valle

Combinazione nº 15

 $L'ascissa\ X(espressa\ in\ m)\ \grave{e}\ considerata\ positiva\ verso\ monte\ con\ origine\ in\ corrispondenza\ dell'estremo\ libero\ della\ fondazione\ di\ valle$

Momento positivo se tende le fibre inferiori, espresso in kNm

Taglio positivo se diretto verso l'alto, espresso in kN

Nr. X	M	T
1 0.05	0.2440	9.7541
2 0.20	3.8895	38.7980
3 0.35	11.8670	67.5147
4 0.50	24.1275	95.9041

Cod. elab.: 014RI213-MU83-6-CL-241_A	Titolo: OPERE D'ARTE MINORI - MURI IN C.A.	Data: Aprile 2011
Nome file: 014RI213-MU83-6-CL-241_A.docx	MU.83 - Muro di sottoscarpa 49.94 mt - da 20+873.00 a 20+921.54	<i>Pagina</i> 65 di 130
Nome file. 014Rt215-W005-0-CL-241_A.docx	Relazione di calcolo	1 agina 05 di 150

Sollecitazioni fondazione di monte

Combinazione n° 15

L'ascissa X(espressa in m) è considerata positiva verso valle con origine in corrispondenza dell'estremo libero della fondazione di monte

Momento positivo se tende le fibre inferiori, espresso in kNm

Taglio positivo se diretto verso l'alto, espresso in kN

T	M	Nr. X
-24.2019	-4.4256	1 0.35
-66.1033	-54.4004	2 1.40
-79.2983	-134.9477	3 2.45
-39.1745	-201.0665	4 3.50

Armature e tensioni nei materiali del muro

Combinazione n° 15

L'ordinata Y(espressa in [m]) è considerata positiva verso il basso con origine in testa al muro

- B base della sezione espressa in [m]
- H altezza della sezione espressa in [m]
- $A_{\mbox{\tiny fs}}$ area di armatura in corrispondenza del lembo di monte in [mq]
- $A_{\rm fi}\,$ area di armatura in corrispondenza del lembo di valle in [mq]
- σ_c tensione nel calcestruzzo espressa in [MPa]
- τ_c $\,$ tensione tangenziale nel calcestruzzo espressa in [MPa]
- $\sigma_{\text{fs}}\,$ tensione nell'armatura disposta sul lembo di monte in [MPa]
- $\sigma_{\rm fi}$ tensione nell'armatura disposta sul lembo di valle in [MPa]

Nr.	Y	В, Н	$\mathbf{A}_{\mathbf{fs}}$	$\mathbf{A_{fi}}$	$\sigma_{\rm c}$	$ au_{c}$	σ_{fs}	$\sigma_{\rm fi}$
1	0.00	1.00, 0.50	0.001571	0.001571	0.000	0.000	0.000	0.000
2	0.75	1.00, 0.50	0.001571	0.001571	0.017	0.000	-0.257	-0.257

Cod. elab.: 014RI213-MU83-6-CL-241_A	Titolo: OPERE D'ARTE MINORI - MURI IN C.A.	Data: Aprile 2011
Nome file: 014RI213-MU83-6-CL-241_A.docx	MU.83 - Muro di sottoscarpa 49.94 mt - da 20+873.00 a 20+921.54	<i>Pagina</i> 66 di 130
ivome fue. 014Rt215-W005-0-CL-241_A.docx	Relazione di calcolo	Tagina 00 di 150

3 1.50	1.00, 0.50	0.001571	0.001571	0.034	0.000	-0.514	-0.514
4 2.25	1.00, 0.50	0.001571	0.001571	0.051	0.000	-0.771	-0.771
5 3.00	1.00, 0.50	0.001571	0.001571	0.069	0.000	-1.028	-1.028
6 3.50	1.00, 1.00	0.003142	0.001571	0.350	0.294	-5.002	-0.637
7 4.25	1.00, 1.00	0.003142	0.003142	2.150	1.649	13.491	-29.848
8 5.00	1.00, 1.00	0.003946	0.001571	11.859	3.420	259.930	-154.848

Armature e tensioni nei materiali della fondazione

Combinazione n° 15

Simbologia adottata

- B base della sezione espressa in [m]
- H altezza della sezione espressa in [m]
- $A_{\rm fi}\,$ area di armatura in corrispondenza del lembo inferiore in [mq]
- $A_{\mbox{\scriptsize fs}}$ area di armatura in corrispondenza del lembo superiore in [mq]
- σ_c tensione nel calcestruzzo espressa in [MPa]
- τ_c $\,$ tensione tangenziale nel calcestruzzo espressa in [MPa]
- $\sigma_{\!\scriptscriptstyle fi}\,\,$ tensione nell'armatura disposta in corrispondenza del lembo inferiore in [MPa]
- $\sigma_{\text{fs}}\,$ tensione nell'armatura disposta in corrispondenza del lembo superiore in [MPa]

Fondazione di valle

(L'ascissa X, espressa in [m], è positiva verso monte con origine in corrispondenza dell'estremo libero della fondazione di valle)

Nr.	X	В, Н	$\mathbf{A}_{\mathbf{fs}}$	$\mathbf{A_{fi}}$	$\sigma_{\rm c}$	$ au_{ m c}$	$\sigma_{ m fi}$	$\sigma_{ m fs}$
1	0.05	1.00, 1.00	0.001571	0.003142	0.002	0.012	0.089	-0.024
2	0.20	1.00, 1.00	0.001571	0.003142	0.032	0.048	1.417	-0.381
3	0.35	1.00, 1.00	0.001571	0.003142	0.098	0.084	4.323	-1.161
4	0.50	1.00, 1.00	0.001571	0.003142	0.199	0.119	8.789	-2.361

Fondazione di monte

Cod. elab.: 014RI213-MU83-6-CL-241_A	Titolo: OPERE D'ARTE MINORI - MURI IN C.A.	Data: Aprile 2011
Nome file: 014RI213-MU83-6-CL-241_A.docx	MU.83 - Muro di sottoscarpa 49.94 mt - da 20+873.00 a 20+921.54	<i>Pagina</i> 67 di 130
Trome file. 014Rt215-W005-0-CL-241_A.docx	Relazione di calcolo	Tagina 07 di 150

(L'ascissa X, espressa in [m], è positiva verso valle con origine in corrispondenza dell'estremo libero della fondazione di monte)

Nr.	X	В, Н	$\mathbf{A}_{\mathbf{fs}}$	${f A_{fi}}$	$\sigma_{\rm c}$	$ au_{\mathrm{c}}$	σ_{fi}	σ_{fs}
1	0.35	1.00, 1.00	0.001571	0.003142	0.043	-0.030	-0.450	3.141
2	1.40	1.00, 1.00	0.001571	0.003142	0.532	-0.082	-5.528	38.610
3	2.45	1.00, 1.00	0.001571	0.003142	1.320	-0.098	-13.713	95.778
4	3.50	1.00. 1.00	0.001571	0.003142	1.966	-0.049	-20.431	142.705

Verifiche a fessurazione

Combinazione nº 15

L'ordinata Y (espressa in [m]) è considerata positiva verso il basso con origine in testa al muro

 $A_{\text{fs}}\,$ area di armatura in corrispondenza del lembo di monte in [mq]

 $A_{\rm fi}\,$ area di armatura in corrispondenza del lembo di valle in [mq]

 M_{pf} Momento di prima fessurazione espressa in [kNm]

- M Momento agente nella sezione espressa in [kNm]
- $\epsilon_m~$ deformazione media espressa in [%]
- $s_m\;\;$ Distanza media tra le fessure espressa in [mm]
- w Apertura media della fessura espressa in [mm]

Verifica fessurazione paramento

N° Y	$\mathbf{A_{fs}}$	${f A_{fi}}$	$\mathbf{M}_{\mathbf{pf}}$	M	$\boldsymbol{\epsilon}_{\mathbf{m}}$	$S_{\mathbf{m}}$	\mathbf{w}
1 0.00	0.001571	0.001571	-62.28	0.00	0.0000	0.00	0.000
2 0.25	0.001571	0.001571	-62.28	0.00	0.0000	0.00	0.000
3 0.50	0.001571	0.001571	-62.28	0.00	0.0000	0.00	0.000
4 0.75	0.001571	0.001571	-62.28	0.00	0.0000	0.00	0.000
5 1.00	0.001571	0.001571	-62.28	0.00	0.0000	0.00	0.000
6 1.25	0.001571	0.001571	-62.28	0.00	0.0000	0.00	0.000
7 1.50	0.001571	0.001571	-62.28	0.00	0.0000	0.00	0.000
8 1.75	0.001571	0.001571	-62.28	0.00	0.0000	0.00	0.000
9 2.00	0.001571	0.001571	-62.28	0.00	0.0000	0.00	0.000
10 2.25	0.001571	0.001571	-62.28	0.00	0.0000	0.00	0.000

Cod. elab.: 014RI213-MU83-6-CL-241_A	Titolo: OPERE D'ARTE MINORI - MURI IN C.A.	Data: Aprile 2011
Nome file: 014RI213-MU83-6-CL-241_A.docx	MU.83 - Muro di sottoscarpa 49.94 mt - da 20+873.00 a 20+921.54	<i>Pagina</i> 68 di 130
Nome file. 014R1213-W003-0-CL-241_A.docx	Relazione di calcolo	Tagina 08 di 130

A	ттоаетнатенто	е ииедиитенно и		ESECUTIVO	u km 44+000 ai	io svincolo con	IAI9
11 2.50	0.001571	0.001571	-62.28	0.00	0.0000	0.00	0.000
12 2.75	0.001571	0.001571	-62.28	0.00	0.0000	0.00	0.000
13 3.00	0.001571	0.001571	-62.28	0.00	0.0000	0.00	0.000
14 3.00	0.003142	0.001571	-252.61	-0.38	0.0000	0.00	0.000
15 3.25	0.003142	0.001571	241.39	1.33	0.0000	0.00	0.000
16 3.50	0.003142	0.001571	241.39	33.56	0.0000	0.00	0.000
17 3.75	0.003142	0.001571	241.39	16.43	0.0000	0.00	0.000
18 4.00	0.003142	0.003142	-255.91	-78.96	0.0000	0.00	0.000
19 4.25	0.003142	0.003142	-255.91	-260.56	0.0039	135.34	0.009
20 4.50	0.003544	0.001571	-256.29	-536.99	0.0196	126.91	0.042
21 4.75	0.003544	0.001571	-256.29	-919.37	0.0659	126.91	0.142
22 5.00	0.003946	0.001571	-259.96	-1420.92	0.1211	120.80	0.249
<u>Verifica</u> j	fessurazione for	<u>ıdazione</u>					
N° Y	${f A_{fs}}$	${f A_{fi}}$	$\mathbf{M}_{ extbf{pf}}$	M	$\boldsymbol{\epsilon}_{\mathrm{m}}$	$\mathbf{S}_{\mathbf{m}}$	w
1 -1.00	0.001571	0.003142	-241.39	0.00	0.0000	0.00	0.000
2 -0.95	0.001571	0.003142	252.61	0.24	0.0000	0.00	0.000
3 -0.90	0.001571	0.003142	252.61	0.97	0.0000	0.00	0.000
4 -0.85	0.001571	0.003142	252.61	2.19	0.0000	0.00	0.000
5 -0.80	0.001571	0.003142	252.61	3.89	0.0000	0.00	0.000
6 -0.75	0.001571	0.003142	252.61	6.07	0.0000	0.00	0.000
7 -0.70	0.001571	0.003142	252.61	8.73	0.0000	0.00	0.000
8 -0.65	0.001571	0.003142	252.61	11.87	0.0000	0.00	0.000
9 -0.60	0.001571	0.003142	252.61	15.48	0.0000	0.00	0.000
10 -0.55	0.001571	0.003142	252.61	19.57	0.0000	0.00	0.000
11 -0.50	0.001571	0.003142	252.61	24.13	0.0000	0.00	0.000
12 0.50	0.001571	0.003142	-241.39	-201.07	0.0000	0.00	0.000
13 0.85	0.001571	0.003142	-241.39	-184.17	0.0000	0.00	0.000
14 1.20	0.001571	0.003142	-241.39	-161.51	0.0000	0.00	0.000
15 1.55	0.001571	0.003142	-241.39	-134.95	0.0000	0.00	0.000
16 1.90	0.001571	0.003142	-241.39	-106.76	0.0000	0.00	0.000
17 2.25	0.001571	0.003142	-241.39	-79.24	0.0000	0.00	0.000
18 2.60	0.001571	0.003142	-241.39	-54.40	0.0000	0.00	0.000
19 2.95	0.001571	0.003142	-241.39	-33.17	0.0000	0.00	0.000
20 3.30	0.001571	0.003142	-241.39	-16.18	0.0000	0.00	0.000
<i>elab.:</i> 014R	I213-MU83-6-CI	L-241_A Tito	lo: OPERE D'A	ARTE MINORI -	MURI IN C.A.		Data: Aprile 2011
			.02 34 19			00 - 20 - 021 54	

Cod. elab.: 014RI213-MU83-6-CL-241_A	Titolo: OPERE D'ARTE MINORI - MURI IN C.A.	Data: Aprile 2011
Nome file: 014RI213-MU83-6-CL-241_A.docx	MU.83 - Muro di sottoscarpa 49.94 mt - da 20+873.00 a 20+921.54	<i>Pagina</i> 69 di 130
Nome file. of hazis meds o el 211_1.dock	Relazione di calcolo	1 ugina 0) ai 150

PROGETTO E	SECUTIVO)
------------	----------	---

21 3.65	0.001571	0.003142	-241.39	-4.43	0.0000	0.00	0.000
22 4.00	0.001571	0.003142	-241.39	0.00	0.0000	0.00	0.000

Inviluppo Sollecitazioni paramento

L'ordinata Y(espressa in [m]) è considerata positiva verso il basso con origine in testa al muro

Momento positivo se tende le fibre contro terra (a monte), espresso in [kNm]

Sforzo normale positivo di compressione, espresso in [kN]

Taglio positivo se diretto da monte verso valle, espresso in [kN]

Inviluppo combinazioni SLU

Nr.Y	Nmin	Nmax	Mmin	Mmax	Tmin	Tmax
10.00	0.0000	0.0000	0.0000	0.0000	0.0000	0.0000
20.75	9.3750	12.0711	0.0000	1.5645	0.0000	5.7483
31.50	18.7500	24.1422	0.0000	7.2985	0.0000	11.4966
42.25	28.1250	36.2133	0.0000	17.3784	0.0000	17.2449
53.00	37.5000	48.2844	0.0000	31.7937	0.0000	22.9932
63.50	209.0984	238.9547	-34.4870	41.5713	224.2547	383.7475
74.25	543.5367	786.8690	245.5756	459.8738	1095.2961	1364.8319
85.00	880.5393	1524.1253	1340.4557	1508.7580	1889.7157	2800.3846

Inviluppo combinazioni SLE

Nr.Y	Nmin	Nmax	Mmin	Mmax	Tmin	Tmax
10.00	0.0000	0.0000	0.0000	0.0000	0.0000	0.0000
20.75	9.3750	9.3750	0.0000	0.0000	0.0000	0.0000
31.50	18.7500	18.7500	0.0000	0.0000	0.0000	0.0000
42.25	28.1250	28.1250	0.0000	0.0000	0.0000	0.0000
53.00	37.5000	37.5000	0.0000	0.0000	0.0000	0.0000
63.50	204.6974	204.6974	-33.5647	-33.5647	237.0331	237.0331
74.25	771.5912	771.5912	260.5639	260.5639	1331.6510	1331.6510
85.00	1506.1779	1506.4257	1420.9177	1420.9626	2761.1440	2761.6387

Inviluppo Sollecitazioni fondazione di valle

Cod. elab.: 014RI213-MU83-6-CL-241_A	Titolo: OPERE D'ARTE MINORI - MURI IN C.A.	Data: Aprile 2011
Nome file: 014RI213-MU83-6-CL-241_A.docx	MU.83 - Muro di sottoscarpa 49.94 mt - da 20+873.00 a 20+921.54	<i>Pagina</i> 70 di 130
Nome file. 014K1213-W083-0-CL-241_A.docx	Relazione di calcolo	Fagina 70 di 130

L'ascissa X(espressa in m) è considerata positiva verso monte con origine in corrispondenza dell'estremo libero della fondazione di valle Momento positivo se tende le fibre inferiori, espresso in [kNm]

Taglio positivo se diretto verso l'alto, espresso in [kN]

Inviluppo combinazioni SLU

Nr.X	Mmin	Mmax	Tmin	Tmax
10.05	0.1342	0.3605	5.3686	14.4002
20.20	2.1510	5.7187	21.5385	56.8569
30.35	6.6005	17.3618	37.8046	98.1977
40.50	13.4972	35.1223	54.1669	138.4227

Inviluppo combinazioni SLE

Nr.X	Mmin	Mmax	Tmin	Tmax
10.05	0.2437	0.2440	9.7409	9.7541
20.20	3.8841	3.8895	38.7433	38.7980
30.35	11.8501	11.8670	67.4150	67.5147
40.50	24.0921	24.1275	95.7561	95.9041

Inviluppo Sollecitazioni fondazione di monte

L'ascissa X(espressa in m) è considerata positiva verso valle con origine in corrispondenza dell'estremo libero della fondazione di monte Momento positivo se tende le fibre inferiori, espresso in [kNm]

Taglio positivo se diretto verso l'alto, espresso in [kN]

Inviluppo combinazioni SLU

Nr.X	Mmin	Mmax	Tmin	Tmax
10.35	-9.3263	-0.0003	-51.5287	-0.0316
21.40	-121.4376	-0.5036	-151.0388	-1.1937
32.45	-305.4179	-3.0674	-185.2851	-3.9565

Cod. elab.: 014RI213-MU83-6-CL-241_A	Titolo: OPERE D'ARTE MINORI - MURI IN C.A.	Data: Aprile 2011
Nome file: 014RI213-MU83-6-CL-241_A.docx	MU.83 - Muro di sottoscarpa 49.94 mt - da 20+873.00 a 20+921.54	<i>Pagina</i> 71 di 130
Nome file. 014Rt215-W005-0-CL-241_A.docx	Relazione di calcolo	Tagina /Tai 130

DDOCETTO	ESECUTIVO
FRUMELLO	ESECULIVO

43.50	-477.8808	-9.3725	-129.6550	-8.3200
TJ.JU	- T / / .0000	-7.5143	-127.0330	-0.5200

Inviluppo combinazioni SLE

Nr.X	Mmin	Mmax	Tmin	Tmax
10.35	-4.4855	-4.4256	-24.5412	-24.2019
21.40	-55.3084	-54.4004	-67.3523	-66.1033
32.45	-137.5737	-134.9477	-81.2948	-79.2983
43.50	-206.1102	-201.0665	-41.7560	-39.1745

Inviluppo armature e tensioni nei materiali del muro

L'ordinata Y(espressa in [m]) è considerata positiva verso il basso con origine in testa al muro

- B base della sezione espressa in [m]
- H altezza della sezione espressa in [m]
- A_{fs} area di armatura in corrispondenza del lembo di monte in [mq]
- $A_{\rm fi}\,$ area di armatura in corrispondenza del lembo di valle in [mq]
- σ_c tensione nel calcestruzzo espressa in [MPa]
- τ_c tensione tangenziale nel calcestruzzo espressa in [MPa]
- $\sigma_{\mbox{\tiny fs}}\,$ tensione nell'armatura disposta sul lembo di monte in [MPa]
- $\sigma_{\scriptscriptstyle fi}~$ tensione nell'armatura disposta sul lembo di valle in [MPa]
- $N_{\rm u}\;$ sforzo normale ultimo espresso in [kN]
- M_{u} momento ultimo espresso in [kNm]
- CS coefficiente sicurezza sezione

VRcd Aliquota di taglio assorbito dal cls, espresso in [kN]

VRsd Aliquota di taglio assorbito dall'armatura, espresso in [kN]

VRd Resistenza al taglio, espresso in [kN]

Inviluppo SLU

Nr. Y	В, Н	$\mathbf{A_{fs}}$	$\mathbf{A_{fi}}$	N_u	$\mathbf{M}_{\mathbf{u}}$	CS	$\mathbf{V}_{\mathbf{Rd}}$	$\mathbf{V}_{\mathbf{Rcd}}$	$\mathbf{V}_{\mathbf{R}\mathbf{s}\mathbf{d}}$
1 0.00	1.00, 0.50 0.0	001571 0.0	001571	0.00	0.00	1000.00	174.73		

Cod. elab.: 014RI213-MU83-6-CL-241_A	Titolo: OPERE D'ARTE MINORI - MURI IN C.A.	Data: Aprile 2011
N CL OLIDINA MUON COL MAI A IN	MU.83 - Muro di sottoscarpa 49.94 mt - da 20+873.00 a 20+921.54	<i>Pagina</i> 72 di 130
Nome file: 014RI213-MU83-6-CL-241_A.docx	Relazione di calcolo	1 agina 72 di 130

.75 1.00, 0.50	0.001571	0.001571	4158.22	0.00	362.97	176.00		
.50 1.00, 0.50	0.001571	0.001571	1780.57	0.00	77.71	177.26		
.25 1.00, 0.50	0.001571	0.001571	851.27	0.00	24.77	178.53		
.00 1.00, 0.50	0.001571	0.001571	532.89	0.00	11.61	179.80		
.50 1.00, 1.00	0.003142	0.001571	9637.44	13.64	40.33	2828.88	2828.88133165.63	
.25 1.00, 1.00	0.003142	0.003142	2707.89	-2172.18	4.72	2897.90	2897.90266331.26	
.00 1.00, 1.00	0.003946	0.001571	1123.19	-1803.35	1.22	2967.45	2967.45266331.26	
	50 1.00, 0.50 25 1.00, 0.50 00 1.00, 0.50 50 1.00, 1.00 25 1.00, 1.00	1.00, 0.50 0.001571 1.00, 0.50 0.001571 1.00, 0.50 0.001571 1.00, 0.50 0.001571 1.00, 1.00 0.003142 1.00, 1.00 0.003142	1.00, 0.50 0.001571 0.001571 1.00, 0.50 0.001571 0.001571 1.00, 0.50 0.001571 0.001571 1.00, 1.00 0.003142 0.001571 1.00, 1.00 0.003142 0.003142	50	50 1.00, 0.50 0.001571 0.001571 1780.57 0.00 25 1.00, 0.50 0.001571 0.001571 851.27 0.00 00 1.00, 0.50 0.001571 0.001571 532.89 0.00 50 1.00, 1.00 0.003142 0.001571 9637.44 13.64 25 1.00, 1.00 0.003142 0.003142 2707.89 -2172.18	50 1.00, 0.50 0.001571 0.001571 1780.57 0.00 77.71 25 1.00, 0.50 0.001571 0.001571 851.27 0.00 24.77 00 1.00, 0.50 0.001571 0.001571 532.89 0.00 11.61 50 1.00, 1.00 0.003142 0.001571 9637.44 13.64 40.33 25 1.00, 1.00 0.003142 0.003142 2707.89 -2172.18 4.72	50 1.00, 0.50 0.001571 0.001571 1780.57 0.00 77.71 177.26 25 1.00, 0.50 0.001571 0.001571 851.27 0.00 24.77 178.53 00 1.00, 0.50 0.001571 0.001571 532.89 0.00 11.61 179.80 50 1.00, 1.00 0.003142 0.001571 9637.44 13.64 40.33 2828.88 25 1.00, 1.00 0.003142 0.003142 2707.89 -2172.18 4.72 2897.90	50 1.00, 0.50 0.001571 0.001571 1780.57 0.00 77.71 177.26 25 1.00, 0.50 0.001571 0.001571 851.27 0.00 24.77 178.53 00 1.00, 0.50 0.001571 0.001571 532.89 0.00 11.61 179.80 50 1.00, 1.00 0.003142 0.001571 9637.44 13.64 40.33 2828.88 2828.88133165.63 25 1.00, 1.00 0.003142 0.003142 2707.89 -2172.18 4.72 2897.90 2897.90266331.26

Inviluppo SLE

Nr.	Y	В, Н	$\mathbf{A_{fs}}$	${f A_{fi}}$	$\sigma_{\rm c}$	$ au_{ m c}$	σ_{fs}	σ_{fi}
1	0.00	1.00, 0.50	0.001571	0.001571	0.000	0.000	0.000	0.000
2	0.75	1.00, 0.50	0.001571	0.001571	0.017	0.000	-0.257	-0.257
3	1.50	1.00, 0.50	0.001571	0.001571	0.034	0.000	-0.514	-0.514
4	2.25	1.00, 0.50	0.001571	0.001571	0.051	0.000	-0.771	-0.771
5	3.00	1.00, 0.50	0.001571	0.001571	0.069	0.000	-1.028	-1.028
6	3.50	1.00, 1.00	0.003142	0.001571	0.350	0.294	-5.002	-0.637
7	4.25	1.00, 1.00	0.003142	0.003142	2.150	1.649	13.491	-29.848
8	5.00	1.00, 1.00	0.003946	0.001571	11.860	3.420	259.966	-154.850

Inviluppo armature e tensioni nei materiali della fondazione

Simbologia adottata

- B base della sezione espressa in [m]
- H altezza della sezione espressa in [m]
- $A_{\rm fi}\,$ area di armatura in corrispondenza del lembo inferiore in [mq]
- $A_{\mbox{\tiny fs}}$ area di armatura in corrispondenza del lembo superiore in [mq]
- σ_c $\,$ tensione nel calcestruzzo espressa in [MPa]
- τ_c $\,$ tensione tangenziale nel calcestruzzo espressa in [MPa]
- $\sigma_{\rm fi}~$ tensione nell'armatura disposta in corrispondenza del lembo inferiore in [MPa]
- $\sigma_{\text{fs}}\,$ tensione nell'armatura disposta in corrispondenza del lembo superiore in [MPa]
- $N_u \;$ sforzo normale ultimo espresso in [kN]
- M_u momento ultimo espresso in [kNm]
- CS coefficiente sicurezza sezione
- VRcd Aliquota di taglio assorbito dal cls, espresso in [kN]

Cod. elab.: 014RI213-MU83-6-CL-241_A	Titolo: OPERE D'ARTE MINORI - MURI IN C.A.	Data: Aprile 2011
Nome file: 014RI213-MU83-6-CL-241_A.docx	MU.83 - Muro di sottoscarpa 49.94 mt - da 20+873.00 a 20+921.54	Pagina 73 di 130
•	Relazione di calcolo	o .

VRsd	Aliquota di taglio assorbito dall'armatura, espre-	sso in	[kN]

VRd Resistenza al taglio, espresso in [kN]

Fondazione di valle

(L'ascissa X, espressa in [m], è positiva verso monte con origine in corrispondenza dell'estremo libero della fondazione di valle)

Inviluppo SLU

Nr	. Y	В, Н	$\mathbf{A}_{\mathbf{fs}}$	${f A_{fi}}$	N_u	$\mathbf{M}_{\mathbf{u}}$	CS	$\mathbf{V}_{\mathbf{Rd}}$	$\mathbf{V}_{\mathbf{Rcd}}$	$\mathbf{V}_{\mathbf{R}\mathbf{s}\mathbf{d}}$
1	0.05	1.00, 1.00	0.001571	0.003142	0.00	1110.76	3080.99	317.11		
2	0.20	1.00, 1.00	0.001571	0.003142	0.00	1110.76	194.23	317.11		
3	0.35	1.00, 1.00	0.001571	0.003142	0.00	1110.76	63.98	317.11		
4	0.50	1.00, 1.00	0.001571	0.003142	0.00	1110.76	31.63	317.11		

Inviluppo SLE

Nr.	\mathbf{X}	В, Н	$\mathbf{A}_{\mathbf{f}\mathbf{s}}$	${f A_{fi}}$	$\sigma_{\rm c}$	$ au_{ m c}$	σ_{fi}	σ_{fs}
5	0.05	1.00, 1.00	0.001571	0.003142	0.002	0.012	0.089	-0.024
6	0.20	1.00, 1.00	0.001571	0.003142	0.032	0.048	1.417	-0.381
7	0.35	1.00, 1.00	0.001571	0.003142	0.098	0.084	4.323	-1.161
8	0.50	1.00, 1.00	0.001571	0.003142	0.199	0.119	8.789	-2.361

Fondazione di monte

(L'ascissa X, espressa in [m], è positiva verso valle con origine in corrispondenza dell'estremo libero della fondazione di monte)

Inviluppo SLU

Nr.	Y	В, Н	$\mathbf{A}_{\mathbf{f}\mathbf{s}}$	${f A_{fi}}$	N_{u}	$\mathbf{M}_{\mathbf{u}}$	CS	$\mathbf{V}_{\mathbf{Rd}}$	$\mathbf{V}_{\mathbf{Rcd}}$	$\mathbf{V}_{\mathbf{R}\mathbf{s}\mathbf{d}}$
1	0.35	1.00, 1.00 0	.001571	0.003142	0.00	-562.15	60.28	317.11		
2	1.40	1.00, 1.00 0	.001571	0.003142	0.00	-562.15	4.63	317.11		
3	2.45	1.00, 1.00 0	.001571	0.003142	0.00	-562.15	1.84	317.11		
4	3.50	1.00, 1.00 0	.001571	0.003142	0.00	-562.15	1.18	317.11		

Inviluppo SLE

Nr.	\mathbf{X}	В, Н	$\mathbf{A_{fs}}$	$\mathbf{A_{fi}}$	$\sigma_{\rm c}$	τ_{c}	$\sigma_{\rm fi}$	$\sigma_{\rm fs}$

Cod. elab.: 014RI213-MU83-6-CL-241_A	Titolo: OPERE D'ARTE MINORI - MURI IN C.A.	Data: Aprile 2011
Nome file: 014RI213-MU83-6-CL-241_A.docx	MU.83 - Muro di sottoscarpa 49.94 mt - da 20+873.00 a 20+921.54	<i>Pagina</i> 74 di 130
_	Relazione di calcolo	O

5 0.35	1.00, 1.00 0.001571	0.003142	0.044	-0.030	-0.456	3.184
6 1.40	1.00, 1.00 0.001571	0.003142	0.541	-0.083	-5.620	39.255
7 2.45	1.00, 1.00 0.001571	0.003142	1.345	-0.101	-13.979	97.642
8 3.50	1.00, 1.00 0.001571	0.003142	2.016	-0.052	-20.944	146.285

4.1.2. MURO TIPO "2"

Normativa

N.T.C. 2008 - Approccio 1

Simbologia adottata

γ_{Gsfav}	Coefficiente parziale sfavorevole sulle azioni permanenti
γ_{Gfav}	Coefficiente parziale favorevole sulle azioni permanenti
γ_{Qsfav}	Coefficiente parziale sfavorevole sulle azioni variabili
γ_{Qfav}	Coefficiente parziale favorevole sulle azioni variabili
$\gamma_{tan\varphi'}$	Coefficiente parziale di riduzione dell'angolo di attrito drenato

 $[\]gamma_{c^\prime}$ Coefficiente parziale di riduzione della coesione drenata

Coefficienti di partecipazione combinazioni statiche

Coefficienti parziali per le azioni o per l'effetto delle azioni:

Carichi	Effetto		A1	A2	EQU	HYD
Permanenti	Favorevole	γ_{Gfav}	1.00	1.00	0.90	0.90
Permanenti	Sfavorevole	γ_{Gsfav}	1.30	1.00	1.10	1.30
Variabili	Favorevole	$\gamma_{ m Qfav}$	0.00	0.00	0.00	0.00

Cod. elab.: 014RI213-MU83-6-CL-241_A	Titolo: OPERE D'ARTE MINORI - MURI IN C.A.	Data: Aprile 2011
Nome file: 014RI213-MU83-6-CL-241_A.docx	MU.83 - Muro di sottoscarpa 49.94 mt - da 20+873.00 a 20+921.54	<i>Pagina</i> 75 di 130
Nome file. 014R1213-W083-0-CL-241_A.docx	Relazione di calcolo	Fagina 73 di 130

 $[\]gamma_{cu}\,$ Coefficiente parziale di riduzione della coesione non drenata

 $[\]gamma_{qu}\,$ Coefficiente parziale di riduzione del carico ultimo

 $[\]gamma_{\gamma}$ Coefficiente parziale di riduzione della resistenza a compressione uni assiale delle rocce

		PROGETTO ESE	ECUTIVO			
Variabili	Sfavorevole	$\gamma_{ m Qsfav}$	1.50	1.30	1.50	1.50
Coefficienti pe	rziali per i parametri geotec	onici dal tarrano				
Parametri	izian per i parametri geotec	mer der terreno	<u>·</u> M1	<i>M</i> 2	М2	MI
Tangente dell'a	ngolo di attrito	γ _{tanφ'}	1.00	1.25	1.25	1.00
Coesione effica		γtanφ·	1.00	1.25	1.25	1.00
Resistenza non		γcu	1.00	1.40	1.40	1.00
	ompressione uniassiale	γcu γqu	1.00	1.60	1.60	1.00
Peso dell'unità	_	γ_{γ}	1.00	1.00	1.00	1.00
Coefficienti di	partecipazione combinaz	ioni sismiche				
	•					
Coefficienti par	rziali per le azioni o per l'ef	fetto delle azion	<u>ni:</u>			
Carichi	Effetto		AI	A2	EQU	HYD
Permanenti	Favorevole	γ_{Gfav}	1.00	1.00	1.00	0.90
Permanenti	Sfavorevole	γ_{Gsfav}	1.00	1.00	1.00	1.30
Variabili	Favorevole	γ_{Qfav}	0.00	0.00	0.00	0.00
Variabili	Sfavorevole	γ_{Qsfav}	1.00	1.00	1.00	1.50
Coefficienti par	rziali per i parametri geotec	enici del terreno	<u>.</u>			
Parametri			M1	<i>M</i> 2	<i>M</i> 2	M1
Tangente dell'a	ngolo di attrito	$\gamma_{tan\varphi'}$	1.00	1.25	1.25	1.00
Coesione effica	ace	γ _{c'}	1.00	1.25	1.25	1.00
Resistenza non	drenata	$\gamma_{\rm cu}$	1.00	1.40	1.40	1.00
Resistenza a co	empressione uniassiale	γ_{qu}	1.00	1.60	1.60	1.00
Peso dell'unità	di volume	γ_{γ}	1.00	1.00	1.00	1.00

FONDAZIONE SUPERFICIALE

Coefficienti parziali γ_R per le verifiche agli stati limite ultimi STR e GEO

Verifica Coefficienti parziali

R1 R2 R3

Cod. elab.: 014RI213-MU83-6-CL-241_A	Titolo: OPERE D'ARTE MINORI - MURI IN C.A.	Data: Aprile 2011
Nome file: 014RI213-MU83-6-CL-241 A.docx	MU.83 - Muro di sottoscarpa 49.94 mt - da 20+873.00 a 20+921.54	<i>Pagina</i> 76 di 130
Nome file: 014Rt215-W005-0-CL-241_A.docx	Relazione di calcolo	1 agina 70 al 130

$\label{lem:corrido} Corrido io Plurimo da le Tirrenico - Nord Europa / Itinerario Agrigento - Caltanissetta - A19 / S.S.~n°~640~" di Porto Empedocle" \\ Ammo dernamento e adeguamento alla Cat.~B~del~D.M.~5.11.2001~dal~km~44+000~allo~svincolo~con~l'A19$

PROGETTO ESECUTIVO

Capacità portante della fondazione	1.00	1.00	1.40
Scorrimento	1.00	1.00	1.10
Resistenza del terreno a valle	1.00	1.00	1.40
Stabilità globale		1.10	

Cod. elab.: 014RI213-MU83-6-CL-241_A	Titolo: OPERE D'ARTE MINORI - MURI IN C.A.	Data: Aprile 2011
Nome file: 014RI213-MU83-6-CL-241_A.docx	MU.83 - Muro di sottoscarpa 49.94 mt - da 20+873.00 a 20+921.54	<i>Pagina</i> 77 di 130
	Relazione di calcolo	1 00,000 // 41 150

Geometria muro e fondazione

Descrizione Muro a gradoni in c.a.

Descrizione dei gradoni

Simbologia adottata

Nr. numero d'ordine del gradone (a partire dall'alto)

Bs base superiore del gradone espressa in [m]

Bi base inferiore del gradone espressa in [m]

Hg altezza del gradone espressa in [m]

 $\alpha_e~$ inclinazione esterna del gradone espressa in $[^\circ]$

 α_i $\,$ inclinazione interna del gradone espressa in $[^\circ]$

Nr.	Bs	Bi	Hg	α_{e}	α_{i}
1	0.50	0.50	4.00	0.00	0.00
2	1.40	1.40	4.00	0.00	0.00

Altezza del paramento 8.00 [m]

Fondazione

Lunghezza mensola fondazione di valle	1.70 [m]
Lunghezza mensola fondazione di monte	4.80 [m]
Lunghezza totale fondazione	7.90 [m]
Inclinazione piano di posa della fondazione	0.00 [°]
Spessore fondazione	1.60 [m]
Spessore magrone	0.20 [m]

Cod. elab.: 014RI213-MU83-6-CL-241_A	Titolo: OPERE D'ARTE MINORI - MURI IN C.A.	Data: Aprile 2011
Nome file: 014RI213-MU83-6-CL-241_A.docx	MU.83 - Muro di sottoscarpa 49.94 mt - da 20+873.00 a 20+921.54	Pagina 78 di 130
110me fue. 014M215-M005-0-CL-241_1.docx	Relazione di calcolo	1 agina 70 di 130

Cod. elab.: 014RI213-MU83-6-CL-241_A	Titolo: OPERE D'ARTE MINORI - MURI IN C.A.	Data: Aprile 2011
Nome file: 014RI213-MU83-6-CL-241_A.docx	MU.83 - Muro di sottoscarpa 49.94 mt - da 20+873.00 a 20+921.54	<i>Pagina</i> 79 di 130
	Relazione di calcolo	Tagina / 7 di 130

Materiali utilizzati per la struttura

Calcestruzzo

Peso specifico 25.000 [kN/mc]

Classe di Resistenza C25/30

Resistenza caratteristica a compressione R_{ck} 30.00 [MPa]

Modulo elastico E 31447.048 [MPa]

Acciaio

Tipo B450C

Tensione di snervamento σ_{fa} 449.94 [MPa]

Geometria profilo terreno a monte del muro

Simbologia adottata e sistema di riferimento

(Sistema di riferimento con origine in testa al muro, ascissa X positiva verso monte, ordinata Y positiva verso l'alto)

N numero ordine del punto

X ascissa del punto espressa in [m]

Y ordinata del punto espressa in [m]

A inclinazione del tratto espressa in [°]

N	X	Y	A
1	0.90	0.00	0.00
2	2.36	0.00	0.00
3	4.74	0.00	0.00
4	5.34	0.00	0.00
5	7.00	0.00	0.00
6	9.65	0.00	0.00
7	50.00	0.00	0.00

Terreno a valle del muro

Cod. elab.: 014RI213-MU83-6-CL-241_A	Titolo: OPERE D'ARTE MINORI - MURI IN C.A.	Data: Aprile 2011
Name Flat 014B1212 M1192 6 CL 241 A door	MU.83 - Muro di sottoscarpa 49.94 mt - da 20+873.00 a 20+921.54	
Nome file: 014RI213-MU83-6-CL-241_A.docx	Relazione di calcolo	Pagina 80 di 130

Inclinazione terreno a valle del muro rispetto all'orizzontale 0.00 [°]

Altezza del rinterro rispetto all'attacco fondaz.valle-paramento 0.00 [m]

Descrizione terreni

Simbologia adottata

Nr.	Indice del terreno
Descrizione	Descrizione terreno
γ	Peso di volume del terreno espresso in [kN/mc]
γ_s	Peso di volume saturo del terreno espresso in [kN/mc]
ϕ	Angolo d'attrito interno espresso in [°]
δ	Angolo d'attrito terra-muro espresso in [°]
c	Coesione espressa in [MPa]
c_a	Adesione terra-muro espressa in [MPa]

Descrizione	γ	$\gamma_{\rm s}$	ф	δ	c	c_a
Rilevato	18.00	19.00	35.00	23.33	0.0000	0.0000
Argille somm	itali20.25	20.25	19.75	19.75	0.0262	0.0131
Argille marno	se 20.30	20.30	19.30	19.30	0.0360	0.0180
Argille profor	nde 20.50	20.50	21.66	21.66	0.0230	0.0115
Bonifica	24.00	24.00	40.00	26.60	0.0000	0.0000

Stratigrafia

Simbologia adottata

N Indice dello strato

H Spessore dello strato espresso in [m]

a Inclinazione espressa in [°]

Cod. elab.: 014RI213-MU83-6-CL-241_A	Titolo: OPERE D'ARTE MINORI - MURI IN C.A.	Data: Aprile 2011
Nome file: 014RI213-MU83-6-CL-241_A.docx	MU.83 - Muro di sottoscarpa 49.94 mt - da 20+873.00 a 20+921.54	<i>Pagina</i> 81 di 130
	Relazione di calcolo	1 agina 81 di 130

Kw	Costante di Winkler orizzontale espressa in Kg/cm ² /cm
Ks	Coefficiente di spinta
Terreno	Terreno dello strato

Nr.	H	a	Kw	Ks	Terreno
1	3.00	0.00	0.79	0.40	Rilevato
2	3.00	0.00	0.79	0.40	Rilevato
3	3.50	0.00	1.37	0.40	Rilevato
4	2.00	0.00	38.69	0.40	Bonifica
5	5.50	0.00	7.56	0.40	Argille sommitali
6	3.75	0.00	11.37	0.40	Argille marnose
7	3.75	0.00	14.18	0.40	Argille marnose
8	5.00	0.00	19.73	0.40	Argille profonde
9	5.00	0.00	24.47	0.40	Argille profonde
10	3.00	0.00	28.25	0.00	Argille profonde
11	3.00	0.00	30.00	0.00	Argille profonde

Terreno di riempimento

Bonifica

Condizioni di carico

Simbologia e convenzioni di segno adottate

Carichi verticali positivi verso il basso.

Carichi orizzontali positivi verso sinistra.

Momento positivo senso antiorario.

- X Ascissa del punto di applicazione del carico concentrato espressa in [m]
- F_x Componente orizzontale del carico concentrato espressa in [kN]
- F_y Componente verticale del carico concentrato espressa in [kN]
- M Momento espresso in [kNm]
- X_i Ascissa del punto iniziale del carico ripartito espressa in [m]
- X_f Ascissa del punto finale del carico ripartito espressa in [m]
- Q_i Intensità del carico per $x=X_i$ espressa in [kN/m]
- Q_f Intensità del carico per x= X_f espressa in [kN/m]
- D/C Tipo carico : D=distribuito C=concentrato

Cod. elab.: 014RI213-MU83-6-CL-241_A	Titolo: OPERE D'ARTE MINORI - MURI IN C.A.	Data: Aprile 2011
Name Flat 014D1212 M1192 6 CL 241 A deep	MU.83 - Muro di sottoscarpa 49.94 mt - da 20+873.00 a 20+921.54	
Nome file: 014RI213-MU83-6-CL-241_A.docx	Relazione di calcolo	Pagina 82 di 130

Condizione n° 1 (Carico da traffico)					
D	Profilo	$X_i = 7.00$	$X_f = 10.00$	$Q_i = 20.0000$	$\mathbf{Q_f} = 20.0000$
D	Profilo	$X_i = 10.00$	$X_f = 17.50$	$Q_i = 20.0000$	$\mathbf{Q_f} = 20.0000$
Condizione no	2 (Permanenti)			
D	Profilo	$X_i = 0.90$	$X_f = 2.26$	$Q_i = 0.0000$	$\mathbf{Q_f} = 52.5600$
D	Profilo	$X_i = 2.26$	$X_f = 17.50$	$Q_i = 52.5600$	$Q_f = 52.2600$
D	Profilo	$X_i = 3.26$	$X_f = 5.64$	$Q_i = 0.0000$	$\mathbf{Q_f} = 92.1600$
D	Profilo	$X_i = 5.64$	$X_f = 17.50$	$Q_i = 92.1600$	$\mathbf{Q_f} = 92.1600$
D	Profilo	$X_i = 6.29$	$X_f = 7.88$	$Q_i = 0.0000$	$\mathbf{Q_f} = 19.8000$
D	Profilo	$X_i = 7.88$	$X_f = 17.50$	$Q_i = 19.8000$	$\mathbf{Q_f} = 19.8000$
D	Profilo	$X_{i} = 7.00$	$X_f = 17.50$	$Q_i = 4.0000$	$Q_f = 4.0000$

Descrizione combinazioni di carico

Simbologia adottata

 $\emph{F/S}$ Effetto dell'azione (FAV: Favorevole, SFAV: Sfavorevole)

- γ Coefficiente di partecipazione della condizione
- Ψ Coefficiente di combinazione della condizione

Combinazione nº 1 - Caso A1-M1 (STR)

	S/F	γ	Ψ	$\gamma * \Psi$
Peso proprio muro	FAV	1.00	1.00	1.00
Peso proprio terrapieno	FAV	1.00	1.00	1.00
Spinta terreno	SFAV	1.30	1.00	1.30
Carico da traffico	SFAV	1.50	1.00	1.50

Combinazione nº 2 - Caso A2-M2 (GEO)

	S/F	γ	Ψ	γ*Ψ
Peso proprio muro	SFAV	1.00	1.00	1.00
Peso proprio terrapieno	SFAV	1.00	1.00	1.00
Spinta terreno	SFAV	1.00	1.00	1.00
Carico da traffico	SFAV	1.30	1.00	1.30

Cod. elab.: 014RI213-MU83-6-CL-241_A	Titolo: OPERE D'ARTE MINORI - MURI IN C.A.	Data: Aprile 2011
Nome file: 014RI213-MU83-6-CL-241_A.docx	MU.83 - Muro di sottoscarpa 49.94 mt - da 20+873.00 a 20+921.54	<i>Pagina</i> 83 di 130
	Relazione di calcolo	

Combinazione n° 3 - Caso A2-M2 (GEO-STAB)

	S/F	γ	Ψ	$\gamma * \Psi$
Peso proprio muro	SFAV	1.00	1.00	1.00
Peso proprio terrapieno	SFAV	1.00	1.00	1.00
Spinta terreno	SFAV	1.00	1.00	1.00
Carico da traffico	SFAV	1.30	1.00	1.30

Combinazione nº 4 - Caso A1-M1 (STR) - Sisma Vert. negativo

	S/F	γ	Ψ	$\gamma * \Psi$
Peso proprio muro	SFAV	1.00	1.00	1.00
Peso proprio terrapieno	SFAV	1.00	1.00	1.00
Spinta terreno	SFAV	1.00	1.00	1.00
Permanenti	SFAV	1.00	1.00	1.00

Combinazione nº 5 - Caso A2-M2 (GEO) - Sisma Vert. negativo

	S/F	γ	Ψ	$\gamma * \Psi$
Peso proprio muro	SFAV	1.00	1.00	1.00
Peso proprio terrapieno	SFAV	1.00	1.00	1.00
Spinta terreno	SFAV	1.00	1.00	1.00
Permanenti	SFAV	1.00	1.00	1.00

Combinazione nº 6 - Caso A2-M2 (GEO-STAB) - Sisma Vert. negativo

	S/F	γ	Ψ	γ * Ψ
Peso proprio muro	SFAV	1.00	1.00	1.00
Peso proprio terrapieno	SFAV	1.00	1.00	1.00
Spinta terreno	SFAV	1.00	1.00	1.00
Permanenti	SFAV	1.00	1.00	1.00

Combinazione n° 7 - Caso A1-M1 (STR) - Sisma Vert. positivo

	S/F	γ	Ψ	$\gamma * \Psi$
Peso proprio muro	SFAV	1.00	1.00	1.00
Peso proprio terrapieno	SFAV	1.00	1.00	1.00
Spinta terreno	SFAV	1.00	1.00	1.00
Permanenti	SFAV	1.00	1.00	1.00

Cod. elab.: 014RI213-MU83-6-CL-241_A	Titolo: OPERE D'ARTE MINORI - MURI IN C.A.	Data: Aprile 2011
Nome file: 014RI213-MU83-6-CL-241_A.docx	MU.83 - Muro di sottoscarpa 49.94 mt - da 20+873.00 a 20+921.54	<i>Pagina</i> 84 di 130
Nome file: 014K1215-W005-0-CL-241_A.docx	Relazione di calcolo	1 agina 64 di 130

Combinazione n° 8 - Caso A		_		
	S/F	γ	Ψ	γ*Ψ
Peso proprio muro	SFAV	1.00	1.00	1.00
Peso proprio terrapieno	SFAV	1.00	1.00	1.00
Spinta terreno	SFAV	1.00	1.00	1.00
Permanenti	SFAV	1.00	1.00	1.00
Combinazione n° 9 - Caso A	.2-M2 (GEO-ST	'AB) - Sisma	Vert. positivo	
	S/F	γ	Ψ	γ * Ψ
Peso proprio muro	SFAV	1.00	1.00	1.00
Peso proprio terrapieno	SFAV	1.00	1.00	1.00
Spinta terreno	SFAV	1.00	1.00	1.00
Permanenti	SFAV	1.00	1.00	1.00
Combinazione n° 10 - Quasi	Permanente (SI	LE)		
	S/F	γ	Ψ	γ * Ψ
Peso proprio muro		1.00	1.00	1.00
Peso proprio terrapieno		1.00	1.00	1.00
Spinta terreno		1.00	1.00	1.00
Permanenti	SFAV	1.00	1.00	1.00
Carico da traffico	SFAV	1.00	0.20	0.20
Combinazione n° 11 - Frequ	ente (SLE)			
	S/F	γ	Ψ	γ * Ψ
Peso proprio muro		1.00	1.00	1.00
Peso proprio terrapieno		1.00	1.00	1.00
Spinta terreno		1.00	1.00	1.00
Permanenti	SFAV	1.00	1.00	1.00
Carico da traffico	SFAV	1.00	0.50	0.50
Combinazione n° 12 - Rara ((SLE)			
	S/F	γ	Ψ	γ * Ψ
Peso proprio muro		1.00	1.00	1.00
Peso proprio terrapieno		1.00	1.00	1.00
Spinta terreno		1.00	1.00	1.00
Permanenti	SFAV	1.00	1.00	1.00

Cod. elab.: 014RI213-MU83-6-CL-241_A	Titolo: OPERE D'ARTE MINORI - MURI IN C.A.	Data: Aprile 2011
Nome file: 014RI213-MU83-6-CL-241_A.docx	MU.83 - Muro di sottoscarpa 49.94 mt - da 20+873.00 a 20+921.54	<i>Pagina</i> 85 di 130
Nome file. 014Rt215-W005-0-CL-241_A.docx	Relazione di calcolo	1 agina 85 di 150

Carico da traffico	SFAV	1.00	1.00	1.00
Carico da Harrico	131°/1 V	1.00	1.00	1.00

Impostazioni di analisi

Metodo verifica sezioni	Stato limite
-------------------------	--------------

Impostazioni verifiche SLU

Coefficienti parziali per resistenze di calcolo dei materiali	
Coefficiente di sicurezza calcestruzzo a compressione	1.60
Coefficiente di sicurezza calcestruzzo a trazione	1.60
Coefficiente di sicurezza acciaio	1.15
Fattore riduzione da resistenza cubica a cilindrica	0.83
Fattore di riduzione per carichi di lungo periodo	0.85
Coefficiente di sicurezza per la sezione	1.00

Impostazioni verifiche SLE

Condizioni ambientali	Ordinarie
-----------------------	-----------

Armatura ad aderenza migliorata

Verifica fessurazione

Sensibilità delle armature Poco sensibile Valori limite delle aperture delle fessure $w_1 = 0.20$ $w_2 = 0.30$ $w_3 = 0.40$

Metodo di calcolo aperture delle fessure Circ. Min. 252 (15/10/1996)

Verifica delle tensioni

Combinazione di carico $Rara \; \sigma_c < 0.60 \; f_{ck} \; \text{-} \; \sigma_f < 0.80 \; f_{yk}$

Quasi permanente $\sigma_c \! < \! 0.45 \ f_{ck}$

Calcolo della portanza metodo di Vesic

Cod. elab.: 014RI213-MU83-6-CL-241_A	Titolo: OPERE D'ARTE MINORI - MURI IN C.A.	Data: Aprile 2011
Nome file: 014RI213-MU83-6-CL-241_A.docx	MU.83 - Muro di sottoscarpa 49.94 mt - da 20+873.00 a 20+921.54	<i>Pagina</i> 86 di 130
	Relazione di calcolo	

Corridoio PlurimodaleTirrenico - Nord Europa / Itinerario Agrigento — Caltanissetta - A19 / S.S. nº 640 "di Porto Empedocle" Ammodernamento e adeguamento alla Cat. B del D.M. 5.11.2001 dal km 44+000 allo svincolo con l'A19 PROGETTO ESECUTIVO

Coefficiente correttivo su Nγ per effetti cinematici (combinazioni sismiche SLU): 1.00 Coefficiente correttivo su Nγ per effetti cinematici (combinazioni sismiche SLE): 1.00

Impostazioni avanzate

Componente verticale della spinta nel calcolo delle sollecitazioni

Influenza del terreno sulla fondazione di valle nelle verifiche e nel calcolo delle sollecitazioni

Diagramma correttivo per eccentricità negativa con aliquota di parzializzazione pari a 0.00

Cod. elab.: 014RI213-MU83-6-CL-241_A	Titolo: OPERE D'ARTE MINORI - MURI IN C.A.	Data: Aprile 2011
Nome file: 014RI213-MU83-6-CL-241_A.docx	MU.83 - Muro di sottoscarpa 49.94 mt - da 20+873.00 a 20+921.54	<i>Pagina</i> 87 di 130
	Relazione di calcolo	- 5.6 37 61 130

Quadro riassuntivo coeff. di sicurezza calcolati

Simbologia adottata

C Identificativo della combinazione

 Tipo Tipo combinazione

 Sisma Combinazione sismica

 CS_{SCO} Coeff. di sicurezza allo scorrimento

 CS_{RIB} Coeff. di sicurezza al ribaltamento

 CS_{QLIM} Coeff. di sicurezza a carico limite

 CS_{STAB} Coeff. di sicurezza a stabilità globale

C	Tipo	Sisma	cs_{sco}	cs_{rib}	cs_{qlim}	cs_{stab}
1A1-M1 - [1]		2.83		36.14		
2A2-M2 - [1]		2.18		14.25		
3STAB - [1]					1.86	
4A1-M1 - [2]	Orizzontale + Verticale negativo	1.60		19.56		
5A2-M2 - [2]	Orizzontale + Verticale negativo	1.02		5.33		
6STAB - [2]	Orizzontale + Verticale negativo				1.32	
7A1-M1 - [3]	Orizzontale + Verticale positivo	1.61		18.98		
8A2-M2 - [3]	Orizzontale + Verticale positivo	1.03		5.17		
9STAB - [3]	Orizzontale + Verticale positivo				1.32	
10	SLEQ - [1]		1.92		23.92	
11	SLEF - [1]		1.89		23.61	
12	SLER - [1]		1.84		23.11	

Cod. elab.: 014RI213-MU83-6-CL-241_A	Titolo: OPERE D'ARTE MINORI - MURI IN C.A.	Data: Aprile 2011
Nome file: 014RI213-MU83-6-CL-241 A.docx	MU.83 - Muro di sottoscarpa 49.94 mt - da 20+873.00 a 20+921.54	<i>Pagina</i> 88 di 130
	Relazione di calcolo	

Sollecitazioni paramento

Combinazione n° 1

L'ordinata Y(espressa in m) è considerata positiva verso il basso con origine in testa al muro

Momento positivo se tende le fibre contro terra (a monte), espresso in kNm

Sforzo normale positivo di compressione, espresso in kN

Taglio positivo se diretto da monte verso valle, espresso in kN

Nr.	Y	N	M	T
1	0.00	0.0000	0.0000	0.0000
2	1.20	17.0100	1.1030	4.0138
3	2.40	38.0399	10.8342	16.0553
4	3.60	63.0897	38.8268	36.1244
5	4.40	203.3429	54.6505	53.9636
6	5.60	262.0927	126.9483	87.4121
7	6.80	324.8624	241.3869	128.8882
8	8.00	391.5860	407.6322	178.2600

Sollecitazioni fondazione di valle

Combinazione n° 1

L'ascissa X(espressa in m) è considerata positiva verso monte con origine in corrispondenza dell'estremo libero della fondazione di valle

Momento positivo se tende le fibre inferiori, espresso in kNm

Taglio positivo se diretto verso l'alto, espresso in kN

T	M	Nr. X
20.0405	1.6982	1 0.17
82.3891	27.6757	2 0.68

Cod. elab.: 014RI213-MU83-6-CL-241_A	Titolo: OPERE D'ARTE MINORI - MURI IN C.A.	Data: Aprile 2011
Nome file: 014RI213-MU83-6-CL-241 A.docx	MU.83 - Muro di sottoscarpa 49.94 mt - da 20+873.00 a 20+921.54	
Nome fue: 014R1215-MU85-0-CL-241_A.docx	Relazione di calcolo	Pagina 89 di 130

3 1.19	86.3029	148.0783
4 1.70	179.2835	217.1081

Sollecitazioni fondazione di monte

Combinazione n° 1

L'ascissa X(espressa in m) è considerata positiva verso valle con origine in corrispondenza dell'estremo libero della fondazione di monte

Momento positivo se tende le fibre inferiori, espresso in kNm

Taglio positivo se diretto verso l'alto, espresso in kN

T	M	X	Nr.
-16.5234	-3.8473	0.48	1
-83.8488	-72.9193	1.92	2
-177.8069	-258.1155	3.36	3
-298.3976	-597.7868	4.80	4

Armature e tensioni nei materiali del muro

Combinazione nº 1

L'ordinata Y(espressa in [m]) è considerata positiva verso il basso con origine in testa al muro

- B base della sezione espressa in [m]
- H altezza della sezione espressa in [m]
- $A_{\text{fs}}\,$ area di armatura in corrispondenza del lembo di monte in [mq]
- $A_{\rm fi}\,$ area di armatura in corrispondenza del lembo di valle in [mq]
- $N_u \;\; sforzo \; normale \; ultimo \; espresso \; in \; [kN]$
- M_{u} momento ultimo espresso in [kNm]
- CS coefficiente sicurezza sezione

VRcd	Aliquota di taglio assorbito dal cls, espresso in [k	ίN]
------	--	-----

VRsd Aliquota di taglio assorbito dall'armatura, espresso in [kN]

VRd Resistenza al taglio, espresso in [kN]

Cod. elab.: 014RI213-MU83-6-CL-241_A	Titolo: OPERE D'ARTE MINORI - MURI IN C.A.	Data: Aprile 2011
Nome file: 014RI213-MU83-6-CL-241 A.docx	MU.83 - Muro di sottoscarpa 49.94 mt - da 20+873.00 a 20+921.54	<i>Pagina</i> 90 di 130
	Relazione di calcolo	- 10 > 0

Nr.	Y	В, Н	$\mathbf{A}_{\mathbf{fs}}$	$\mathbf{A_{fi}}$	N_u	$\mathbf{M}_{\mathbf{u}}$	CS	$\mathbf{V}_{\mathbf{Rd}}$	$\mathbf{V}_{\mathbf{Red}}$	$\mathbf{V}_{\mathbf{R}\mathbf{s}\mathbf{d}}$
1 (0.00	1.00, 0.50	0.002655	0.001571	0.00	0.00	1000.00	208.13		
2	1.20	1.00, 0.50	0.002655	0.001571	5766.62	-373.94	339.01	210.43		
3 2	2.40	1.00, 0.50	0.002655	0.001571	2544.05	-724.58	66.88	213.27		
4	3.60	1.00, 0.50	0.002655	0.001571	982.26	-604.51	15.57	216.65		
5 4	4.40	1.00, 1.40	0.002655	0.001571	12515.66	-3363.71	61.55	417.71		
6 :	5.60	1.00, 1.40	0.002655	0.001571	8722.80	-4225.01	33.28	426.21		
7	6.80	1.00, 1.40	0.002655	0.001571	5003.94	-3718.14	15.40	435.29		
8	8.00	1.00, 1.40	0.002655	0.001571	2794.26	-2908.76	7.14	444.94		

Armature e tensioni nei materiali della fondazione

Combinazione nº 1

Simbologia adottata

B base della sezione espressa in [m]

H altezza della sezione espressa in [m]

 $A_{\rm fi}\,$ area di armatura in corrispondenza del lembo inferiore in [mq]

 $A_{\mbox{\scriptsize fs}}$ area di armatura in corrispondenza del lembo superiore in [mq]

 $N_u \;\; sforzo \; normale \; ultimo \; espresso \; in \; [kN]$

 M_u momento ultimo espresso in [kNm]

CS coefficiente sicurezza sezione

VRcd Aliquota di taglio assorbito dal cls, espresso in [kN]

VRsd Aliquota di taglio assorbito dall'armatura, espresso in [kN]

VRd Resistenza al taglio, espresso in [kN]

Fondazione di valle

(L'ascissa X, espressa in [m], è positiva verso monte con origine in corrispondenza dell'estremo libero della fondazione di valle)

Nr.	Y	В, Н	$\mathbf{A_{fs}}$	${f A_{fi}}$	N_u	$\mathbf{M}_{\mathbf{u}}$	CS	$\mathbf{V}_{\mathbf{Rd}}$	$\mathbf{V}_{\mathbf{Rcd}}$	$\mathbf{V}_{\mathbf{R}\mathbf{s}\mathbf{d}}$
1	0.17	1.00, 1.60	0.000000	0.005309	0.00	3031.63	1785.22	487.75		
2	0.68	1.00, 1.60	0.002655	0.005309	0.00	3083.52	111.42	487.75		

Cod. elab.: 014RI213-MU83-6-CL-241_A	Titolo: OPERE D'ARTE MINORI - MURI IN C.A.	Data: Aprile 2011
Name Clas OLABIO 2 MI 192 & Cl. 241 A decre	MU.83 - Muro di sottoscarpa 49.94 mt - da 20+873.00 a 20+921.54	
Nome file: 014RI213-MU83-6-CL-241_A.docx	Relazione di calcolo	Pagina 91 di 130

3 1.19	1.00, 1.60 0.002655 0.005309	0.00	3083.52	35.73	4545.13	4545.13319515.05
4 1.70	1.00, 1.60, 0.002655, 0.005309	0.00	3083.52	17.20	4545.13	4545.13639030.11

Fondazione di monte

(L'ascissa X, espressa in [m], è positiva verso valle con origine in corrispondenza dell'estremo libero della fondazione di monte)

Nr.	Y	В, Н	$\mathbf{A}_{\mathbf{f}\mathbf{s}}$	${f A_{fi}}$	N_{u}	$\mathbf{M}_{\mathbf{u}}$	CS	$\mathbf{V}_{\mathbf{Rd}}$	$\mathbf{V}_{\mathbf{Rcd}}$	$\mathbf{V}_{\mathbf{R}\mathbf{s}\mathbf{d}}$
1	0.48	1.00, 1.60 0.	.002655	0.005309	0.00	-1563.23	406.32	433.48		
2	1.92	1.00, 1.60 0.	.002655	0.005309	0.00	-1563.23	21.44	433.48		
3	3.36	1.00, 1.60 0.	.002655	0.005309	0.00	-1563.23	6.06	433.48		
4	4.80	1.00, 1.60 0.	.002655	0.005309	0.00	-1563.23	2.62	433.48		

Sollecitazioni paramento

Combinazione n° 2

L'ordinata Y(espressa in m) è considerata positiva verso il basso con origine in testa al muro

Momento positivo se tende le fibre contro terra (a monte), espresso in kNm

Sforzo normale positivo di compressione, espresso in kN

Taglio positivo se diretto da monte verso valle, espresso in kN

Nr.	Y	N	M	T
1	0.00	0.0000	0.0000	0.0000
2	1.20	16.6430	1.2297	4.1011
3	2.40	36.5718	11.4807	16.4046
4	3.60	59.7866	40.5957	36.9103
5	4.40	172.4887	66.3064	55.1376
6	5.60	228.1800	142.5730	89.3138
7	6.80	287.1572	262.4723	131.6922
8	8.00	349.3620	435.8718	182.1272

Sollecitazioni fondazione di valle

Cod. elab.: 014RI213-MU83-6-CL-241_A	Titolo: OPERE D'ARTE MINORI - MURI IN C.A.	Data: Aprile 2011
Name Clas OLABIO 2 MI 192 & Cl. 241 A decre	MU.83 - Muro di sottoscarpa 49.94 mt - da 20+873.00 a 20+921.54	
Nome file: 014RI213-MU83-6-CL-241_A.docx	Relazione di calcolo	Pagina 92 di 130

Combinazione n° 2

L'ascissa X(espressa in m) è considerata positiva verso monte con origine in corrispondenza dell'estremo libero della fondazione di valle Momento positivo se tende le fibre inferiori, espresso in kNm

Taglio positivo se diretto verso l'alto, espresso in kN

T	M	Nr. X
21.5130	1.8246	1 0.17
87.7601	29.5803	2 0.68
156.5698	91.7755	3 1.19
227.9419	189.7171	4 1.70

Sollecitazioni fondazione di monte

Combinazione n° 2

L'ascissa X(espressa in m) è considerata positiva verso valle con origine in corrispondenza dell'estremo libero della fondazione di monte

Momento positivo se tende le fibre inferiori, espresso in kNm

Taglio positivo se diretto verso l'alto, espresso in kN

Nr. X	M	T
1 0.48	1.1477	4.4039
2 1.92	9.6475	3.9965
3 3.36	2.8517	-16.8398
4 4.80	-48.6571	-58.1051

Armature e tensioni nei materiali del muro

Combinazione n° 2

L'ordinata Y(espressa in [m]) è considerata positiva verso il basso con origine in testa al muro

B base della sezione espressa in [m]

Cod. elab.: 014RI213-MU83-6-CL-241_A	Titolo: OPERE D'ARTE MINORI - MURI IN C.A.	Data: Aprile 2011
Name Clas OLABIO 2 MI 192 & Cl. 241 A decre	MU.83 - Muro di sottoscarpa 49.94 mt - da 20+873.00 a 20+921.54	
Nome file: 014RI213-MU83-6-CL-241_A.docx	Relazione di calcolo	Pagina 93 di 130

H altezza della sezione espressa in [m]

 $A_{\text{fs}}\,$ area di armatura in corrispondenza del lembo di monte in [mq]

Afi area di armatura in corrispondenza del lembo di valle in [mq]

 $N_{\rm u}\,$ sforzo normale ultimo espresso in [kN]

M_u momento ultimo espresso in [kNm]

CS coefficiente sicurezza sezione

VRcd Aliquota di taglio assorbito dal cls, espresso in [kN]

VRsd Aliquota di taglio assorbito dall'armatura, espresso in [kN]

VRd Resistenza al taglio, espresso in [kN]

Nr.	Y	В, Н	$\mathbf{A_{fs}}$	${f A_{fi}}$	N_{u}	$\mathbf{M}_{\mathbf{u}}$	CS	$\mathbf{V}_{\mathbf{Rd}}$	$\mathbf{V}_{\mathbf{Rcd}}$	$\mathbf{V}_{\mathbf{R}\mathbf{s}\mathbf{d}}$
1	0.00	1.00, 0.50	0.002655	0.001571	0.00	0.00	1000.00	208.13		
2	1.20	1.00, 0.50	0.002655	0.001571	5541.82	-409.47	332.98	210.38		
3	2.40	1.00, 0.50	0.002655	0.001571	2304.37	-723.39	63.01	213.07		
4	3.60	1.00, 0.50	0.002655	0.001571	862.92	-585.93	14.43	216.20		
5	4.40	1.00, 1.40	0.002655	0.001571	10286.19	-3954.11	59.63	413.25		
6	5.60	1.00, 1.40	0.002655	0.001571	6486.65	-4053.03	28.43	421.30		
7	6.80	1.00, 1.40	0.002655	0.001571	3530.75	-3227.24	12.30	429.83		
8	8 00	1 00 1 40	0.002655	0.001571	2033 90	-2537 54	5.82	438 83		

Armature e tensioni nei materiali della fondazione

Combinazione n° 2

Simbologia adottata

B base della sezione espressa in [m]

H altezza della sezione espressa in [m]

 $A_{\rm fi}\,$ area di armatura in corrispondenza del lembo inferiore in [mq]

Afs area di armatura in corrispondenza del lembo superiore in [mq]

 $N_u \;$ sforzo normale ultimo espresso in [kN]

M_u momento ultimo espresso in [kNm]

CS coefficiente sicurezza sezione

VRcd Aliquota di taglio assorbito dal cls, espresso in [kN]

Cod. elab.: 014RI213-MU83-6-CL-241_A	Titolo: OPERE D'ARTE MINORI - MURI IN C.A.	Data: Aprile 2011
Nome file: 014RI213-MU83-6-CL-241_A.docx	MU.83 - Muro di sottoscarpa 49.94 mt - da 20+873.00 a 20+921.54	<i>Pagina</i> 94 di 130
	Relazione di calcolo	

VRsd Aliquota di taglio assorbito dall'armatura, espresso in [kN]

VRd Resistenza al taglio, espresso in [kN]

Fondazione di valle

(L'ascissa X, espressa in [m], è positiva verso monte con origine in corrispondenza dell'estremo libero della fondazione di valle)

Nr.	Y	В, Н	$\mathbf{A}_{\mathbf{fs}}$	${f A_{fi}}$	N_u	$\mathbf{M}_{\mathbf{u}}$	CS	$\mathbf{V}_{\mathbf{Rd}}$	$\mathbf{V}_{\mathbf{Rcd}}$	$\mathbf{V}_{\mathbf{R}\mathbf{s}\mathbf{d}}$
1	0.17	1.00, 1.60	0.000000	0.005309	0.00	3031.63	1661.56	487.75		
2	0.68	1.00, 1.60	0.002655	0.005309	0.00	3083.52	104.24	487.75		
3	1.19	1.00, 1.60	0.002655	0.005309	0.00	3083.52	33.60	4545.13	4545.13319	515.05
4	1.70	1.00, 1.60	0.002655	0.005309	0.00	3083.52	16.25	4545.13	4545.13639	030.11

Fondazione di monte

(L'ascissa X, espressa in [m], è positiva verso valle con origine in corrispondenza dell'estremo libero della fondazione di monte)

Nr. Y	В, Н	$\mathbf{A_{fs}}$	$\mathbf{A_{fi}}$	N_u	$\mathbf{M}_{\mathbf{u}}$	CS	V_{Rd}	$\mathbf{V}_{\mathbf{Rcd}}$	$\mathbf{V}_{\mathbf{R}\mathbf{s}\mathbf{d}}$
1 0.48	1.00, 1.60	0.002655	0.005309	0.00	3083.52	2686.61	487.75		
2 1.92	1.00, 1.60	0.002655	0.005309	0.00	3083.52	319.62	487.75		
3 3.36	1.00, 1.60	0.002655	0.005309	0.00	3083.52	1081.28	487.75		
4 4.80	1.00, 1.60	0.002655	0.005309	0.00	-1563.23	32.13	433.48		

Sollecitazioni paramento

Combinazione nº 4

L'ordinata Y(espressa in m) è considerata positiva verso il basso con origine in testa al muro

Momento positivo se tende le fibre contro terra (a monte), espresso in kNm

Sforzo normale positivo di compressione, espresso in kN

Taglio positivo se diretto da monte verso valle, espresso in kN

Cod. elab.: 014RI213-MU83-6-CL-241_A	Titolo: OPERE D'ARTE MINORI - MURI IN C.A.	Data: Aprile 2011
Name Flat 014D1212 M1192 6 CL 241 A deep	MU.83 - Muro di sottoscarpa 49.94 mt - da 20+873.00 a 20+921.54	
Nome file: 014RI213-MU83-6-CL-241_A.docx	Relazione di calcolo	Pagina 95 di 130

Nr. Y	N	\mathbf{M}	T
1 0.00	0.0000	0.0000	0.0000
2 1.20	18.8731	3.4046	8.3173
3 2.40	41.8224	20.0985	24.7747
4 3.60	70.7618	62.3061	53.1939
5 4.40	194.8934	123.9078	91.3385
6 5.60	260.5259	244.9904	140.1637
7 6.80	332.6404	427.7208	201.9331
8 8.00	413.0420	689.1185	280.2516

Sollecitazioni fondazione di valle

Combinazione n° 4

L'ascissa X(espressa in m) è considerata positiva verso monte con origine in corrispondenza dell'estremo libero della fondazione di valle Momento positivo se tende le fibre inferiori, espresso in kNm

Taglio positivo se diretto verso l'alto, espresso in kN

T	M	Nr. X
43.6764	3.7164	1 0.17
173.0694	59.0909	2 0.68
300.0078	179.8299	3 1.19
424.4918	364.6816	4 1.70

Sollecitazioni fondazione di monte

Combinazione nº 4

L'ascissa X(espressa in m) è considerata positiva verso valle con origine in corrispondenza dell'estremo libero della fondazione di monte

Momento positivo se tende le fibre inferiori, espresso in kNm

Taglio positivo se diretto verso l'alto, espresso in kN

Nr. X M

Cod. elab.: 014RI213-MU83-6-CL-241_A	Titolo: OPERE D'ARTE MINORI - MURI IN C.A.	Data: Aprile 2011
N Cl., 014D1212 M1102 & Cl. 241 A dam	MU.83 - Muro di sottoscarpa 49.94 mt - da 20+873.00 a 20+921.54	
Nome file: 014RI213-MU83-6-CL-241_A.docx	Relazione di calcolo	Pagina 96 di 130

1 0.48	-17.0293	-69.1706
2 1.92	-230.2579	-210.3431
3 3.36	-579.9280	-268.0803
4 4.80	-975.8378	-265.2958

Armature e tensioni nei materiali del muro

Combinazione n° 4

L'ordinata Y(espressa in [m]) è considerata positiva verso il basso con origine in testa al muro

- B base della sezione espressa in [m]
- H altezza della sezione espressa in [m]

A_{fs} area di armatura in corrispondenza del lembo di monte in [mq]

 $A_{\rm fi}\,$ area di armatura in corrispondenza del lembo di valle in [mq]

 $N_u \;\; sforzo \; normale \; ultimo \; espresso \; in \; [kN]$

 $M_{\rm u}$ momento ultimo espresso in [kNm]

CS coefficiente sicurezza sezione

VRcd Aliquota di taglio assorbito dal cls, espresso in [kN]

VRsd Aliquota di taglio assorbito dall'armatura, espresso in [kN]

VRd Resistenza al taglio, espresso in [kN]

Nr.	Y	В, Н	$\mathbf{A}_{\mathbf{fs}}$	${f A_{fi}}$	N_u	$\mathbf{M}_{\mathbf{u}}$	CS	$\mathbf{V}_{\mathbf{Rd}}$	$\mathbf{V}_{\mathbf{Rcd}}$	$\mathbf{V}_{\mathbf{R}\mathbf{s}\mathbf{d}}$
1	0.00	1.00, 0.50	0.002655	0.001571	0.00	0.00	1000.00	208.13		
2	1.20	1.00, 0.50	0.002655	0.001571	3585.89	-646.88	190.00	210.68		
3	2.40	1.00, 0.50	0.002655	0.001571	1357.05	-652.16	32.45	213.78		
4	3.60	1.00, 0.50	0.002655	0.001571	614.31	-540.90	8.68	217.68		
5	4.40	1.00, 1.40	0.002655	0.001571	6324.50	-4020.94	32.45	416.49		
6	5.60	1.00, 1.40	0.002655	0.001571	3368.09	-3167.25	12.93	425.98		
7	6.80	1.00, 1.40	0.002655	0.001571	1923.34	-2473.10	5.78	436.41		
8	8.00	1.00, 1.40	0.002655	0.001571	1245.54	-2078.06	3.02	448.04		

Armature e tensioni nei materiali della fondazione

Combinazione n° 4

Simbologia adottata

Cod. elab.: 014RI213-MU83-6-CL-241_A	Titolo: OPERE D'ARTE MINORI - MURI IN C.A.	Data: Aprile 2011
Nome file: 014RI213-MU83-6-CL-241_A.docx	MU.83 - Muro di sottoscarpa 49.94 mt - da 20+873.00 a 20+921.54	Pagina 97 di 130
ivome fue. 014Rt215-W005-0-CL-241_A.docx	Relazione di calcolo	Tagina 77 di 130

B base della sezione espressa in [m]

H altezza della sezione espressa in [m]

 $A_{\rm fi}\,$ area di armatura in corrispondenza del lembo inferiore in [mq]

 $A_{\text{fs}}\,$ area di armatura in corrispondenza del lembo superiore in [mq]

 $N_{\rm u}\,$ sforzo normale ultimo espresso in [kN]

 $M_{\rm u}$ momento ultimo espresso in [kNm]

CS coefficiente sicurezza sezione

VRcd Aliquota di taglio assorbito dal cls, espresso in [kN]

VRsd Aliquota di taglio assorbito dall'armatura, espresso in [kN]

VRd Resistenza al taglio, espresso in [kN]

Fondazione di valle

(L'ascissa X, espressa in [m], è positiva verso monte con origine in corrispondenza dell'estremo libero della fondazione di valle)

V_{Rsd}	$\mathbf{V}_{\mathbf{Rcd}}$	$\mathbf{V}_{\mathbf{Rd}}$	CS	$\mathbf{M}_{\mathbf{u}}$	N_u	${f A_{fi}}$	$\mathbf{A_{fs}}$	В, Н	r. Y	Nr
		487.75	815.75	3031.63	0.00	0.005309	0.000000	1.00, 1.60	1 0.17	1
		487.75	52.18	3083.52	0.00	0.005309	0.002655	1.00, 1.60	2 0.68	2
9515.05	4545.1331	4545.13	17.15	3083.52	0.00	0.005309	0.002655	1.00, 1.60	3 1.19	3
9030.11	4545.1363	4545.13	8.46	3083.52	0.00	0.005309	0.002655	1.00, 1.60	4 1.70	4

Fondazione di monte

(L'ascissa X, espressa in [m], è positiva verso valle con origine in corrispondenza dell'estremo libero della fondazione di monte)

Nr.	Y	В, Н	$\mathbf{A_{fs}}$	$\mathbf{A_{fi}}$	N_u	$\mathbf{M}_{\mathbf{u}}$	CS	$\mathbf{V}_{\mathbf{Rd}}$	$\mathbf{V}_{\mathbf{Rcd}}$	$\mathbf{V}_{\mathbf{R}\mathbf{s}\mathbf{d}}$
1	0.48	1.00, 1.60	0.002655	0.005309	0.00	-1563.23	91.80	433.48		
2	1.92	1.00, 1.60	0.002655	0.005309	0.00	-1563.23	6.79	433.48		
3	3.36	1.00, 1.60	0.002655	0.005309	0.00	-1563.23	2.70	433.48		
4	4.80	1.00, 1.60	0.002655	0.005309	0.00	-1563.23	1.60	433.48		

Sollecitazioni paramento

Cod. elab.: 014RI213-MU83-6-CL-241_A	Titolo: OPERE D'ARTE MINORI - MURI IN C.A.	Data: Aprile 2011
N. CL. OLIDVALA MUON C. CL. A.I. A. I.	MU.83 - Muro di sottoscarpa 49.94 mt - da 20+873.00 a 20+921.54	
Nome file: 014RI213-MU83-6-CL-241_A.docx	Relazione di calcolo	Pagina 98 di 130

Combinazione n° 5

L'ordinata Y(espressa in m) è considerata positiva verso il basso con origine in testa al muro

Momento positivo se tende le fibre contro terra (a monte), espresso in kNm

Sforzo normale positivo di compressione, espresso in kN

Taglio positivo se diretto da monte verso valle, espresso in kN

Nr.	Y	N	\mathbf{M}	T
1	0.00	0.0000	0.0000	0.0000
2	1.20	19.0084	4.5100	10.5887
3	2.40	43.2839	27.3180	34.3251
4	3.60	73.6547	86.9198	73.2763
5	4.40	199.4701	174.6012	124.9756
6	5.60	269.4648	345.7230	196.4879
7	6.80	348.4920	610.6882	290.5472
8	8.00	432.3233	992.5261	396.5983

Sollecitazioni fondazione di valle

Combinazione n° 5

L'ascissa X(espressa in m) è considerata positiva verso monte con origine in corrispondenza dell'estremo libero della fondazione di valle

Momento positivo se tende le fibre inferiori, espresso in kNm

Taglio positivo se diretto verso l'alto, espresso in kN

Nr. X	M	T
1 0.17	4.6331	54.3836
2 0.68	73.1258	213.1092
3 1.19	220.8760	365.1970
4 1.70	444.4983	510.6468

Cod. elab.: 014RI213-MU83-6-CL-241_A	Titolo: OPERE D'ARTE MINORI - MURI IN C.A.	Data: Aprile 2011
Nome file: 014RI213-MU83-6-CL-241_A.docx	MU.83 - Muro di sottoscarpa 49.94 mt - da 20+873.00 a 20+921.54	
Nome file. 014R1213-W083-0-CL-241_A.docx	Relazione di calcolo	Pagina 99 di 130

Sollecitazioni fondazione di monte

Combinazione n° 5

L'ascissa X(espressa in m) è considerata positiva verso valle con origine in corrispondenza dell'estremo libero della fondazione di monte Momento positivo se tende le fibre inferiori, espresso in kNm

Taglio positivo se diretto verso l'alto, espresso in kN

T	M	Nr. X
-97.4188	-23.9571	1 0.48
-301.1017	-326.8727	2 1.92
-387.9982	-832.2320	3 3.36
-381.0219	-1401.8077	4 4.80

Cod. elab.: 014RI213-MU83-6-CL-241_A	Titolo: OPERE D'ARTE MINORI - MURI IN C.A.	Data: Aprile 2011
Nome file: 014RI213-MU83-6-CL-241_A.docx	MU.83 - Muro di sottoscarpa 49.94 mt - da 20+873.00 a 20+921.54	<i>Pagina</i> 100 di 130
Nome fue. 014R1213-101003-0-CL-241_A.docx	Relazione di calcolo	1 agina 100 di 150

Armature e tensioni nei materiali del muro

Combinazione n° 5

L'ordinata Y(espressa in [m]) è considerata positiva verso il basso con origine in testa al muro

- B base della sezione espressa in [m]
- H altezza della sezione espressa in [m]
- $A_{\text{fs}}\,$ area di armatura in corrispondenza del lembo di monte in [mq]
- $A_{\rm fi}\,$ area di armatura in corrispondenza del lembo di valle in [mq]
- $N_u \;\; sforzo \; normale \; ultimo \; espresso \; in \; [kN]$
- M_{u} momento ultimo espresso in [kNm]
- CS coefficiente sicurezza sezione

VRcd Aliquota di taglio assorbito dal cls, espresso in [kN]

VRsd Aliquota di taglio assorbito dall'armatura, espresso in [kN]

VRd Resistenza al taglio, espresso in [kN]

Nr.	Y	В, Н	$\mathbf{A}_{\mathbf{fs}}$	${f A_{fi}}$	N_u	$\mathbf{M}_{\mathbf{u}}$	CS	V_{Rd}	$\mathbf{V}_{\mathbf{Rcd}}$	V_{Rsd}
1	0.00	1.00, 0.50	0.002655	0.001571	0.00	0.00	1000.00	208.13		
2	1.20	1.00, 0.50	0.002655	0.001571	2976.77	-706.28	156.60	210.70		
3	2.40	1.00, 0.50	0.002655	0.001571	951.64	-600.61	21.99	213.97		
4	3.60	1.00, 0.50	0.002655	0.001571	430.08	-507.53	5.84	218.07		
5	4.40	1.00, 1.40	0.002655	0.001571	3800.59	-3326.75	19.05	417.15		
6	5.60	1.00, 1.40	0.002655	0.001571	1931.14	-2477.65	7.17	427.28		
7	6.80	1.00, 1.40	0.002655	0.001571	1156.11	-2025.93	3.32	438.71		
8	8.00	1.00, 1.40	0.002655	0.001571	789.34	-1812.17	1.83	450.83		

Armature e tensioni nei materiali della fondazione

Combinazione n° 5

Simbologia adottata

B base della sezione espressa in [m]

Cod. elab.: 014RI213-MU83-6-CL-241_A	Titolo: OPERE D'ARTE MINORI - MURI IN C.A.	Data: Aprile 2011	
	MU.83 - Muro di sottoscarpa 49.94 mt - da 20+873.00 a 20+921.54		
Nome file: 014RI213-MU83-6-CL-241_A.docx	Relazione di calcolo	Pagina 101 di 130	

H altezza della sezione espressa in [m]

 $A_{\rm fi}\,$ area di armatura in corrispondenza del lembo inferiore in [mq]

 $A_{\rm fs}\,$ area di armatura in corrispondenza del lembo superiore in [mq]

 $N_{\rm u}\,$ sforzo normale ultimo espresso in [kN]

M_u momento ultimo espresso in [kNm]

CS coefficiente sicurezza sezione

VRcd Aliquota di taglio assorbito dal cls, espresso in [kN]

VRsd Aliquota di taglio assorbito dall'armatura, espresso in [kN]

VRd Resistenza al taglio, espresso in [kN]

Fondazione di valle

(L'ascissa X, espressa in [m], è positiva verso monte con origine in corrispondenza dell'estremo libero della fondazione di valle)

V_{Rsd}	$\mathbf{V}_{\mathbf{Rcd}}$	$\mathbf{V}_{\mathbf{Rd}}$	CS	$\mathbf{M}_{\mathbf{u}}$	N_u	${f A_{fi}}$	$\mathbf{A_{fs}}$	В, Н	. Y	Nr
		487.75	654.35	3031.63	0.00	0.005309	0.000000	1.00, 1.60	0.17	1
		487.75	42.17	3083.52	0.00	0.005309	0.002655	1.00, 1.60	0.68	2
9515.05	4545.133	4545.13	13.96	3083.52	0.00	0.005309	0.002655	1.00, 1.60	1.19	3
9030.11	4545.136	4545.13	6.94	3083.52	0.00	0.005309	0.002655	1.00, 1.60	1.70	4

Fondazione di monte

(L'ascissa X, espressa in [m], è positiva verso valle con origine in corrispondenza dell'estremo libero della fondazione di monte)

Nr.	Y	В, Н	$\mathbf{A}_{\mathbf{fs}}$	${f A_{fi}}$	N_u	$\mathbf{M}_{\mathbf{u}}$	CS	$\mathbf{V}_{\mathbf{Rd}}$	$\mathbf{V}_{\mathbf{Rcd}}$	$\mathbf{V}_{\mathbf{R}\mathbf{s}\mathbf{d}}$
1	0.48	1.00, 1.60 0.0	002655	0.005309	0.00	-1563.23	65.25	433.48		
2	1.92	1.00, 1.60 0.0	002655	0.005309	0.00	-1563.23	4.78	433.48		
3	3.36	1.00, 1.60 0.0	002655	0.005309	0.00	-1563.23	1.88	433.48		
4	4.80	1.00, 1.60, 0.0	002655	0.005309	0.00	-1563 23	1 12	433 48		

Cod. elab.: 014RI213-MU83-6-CL-241_A	Titolo: OPERE D'ARTE MINORI - MURI IN C.A.	Data: Aprile 2011
Nome file: 014RI213-MU83-6-CL-241 A.docx	MU.83 - Muro di sottoscarpa 49.94 mt - da 20+873.00 a 20+921.54	<i>Pagina</i> 102 di 130
7	Relazione di calcolo	0

Sollecitazioni paramento

Combinazione n° 7

L'ordinata Y(espressa in m) è considerata positiva verso il basso con origine in testa al muro

Momento positivo se tende le fibre contro terra (a monte), espresso in kNm

Sforzo normale positivo di compressione, espresso in kN

Taglio positivo se diretto da monte verso valle, espresso in kN

Nr.	Y	N	M	T
1	0.00	0.0000	0.0000	0.0000
2	1.20	19.5728	4.0681	9.7146
3	2.40	43.2219	23.1022	27.5693
4	3.60	72.8610	69.3269	57.3859
5	4.40	197.4591	133.3836	96.4620
6	5.60	263.7913	260.9629	146.6845
7	6.80	336.6055	451.8669	209.8512
8	8.00	417.7068	723.1149	289.5671

Sollecitazioni fondazione di valle

Combinazione n° 7

L'ascissa X(espressa in m) è considerata positiva verso monte con origine in corrispondenza dell'estremo libero della fondazione di valle

Momento positivo se tende le fibre inferiori, espresso in kNm

Taglio positivo se diretto verso l'alto, espresso in kN

Nr.	X	M	T
1	0.17	3.8753	45.5456
2	0.68	61.6263	180.5109
3	1.19	187.5702	312.9687
4	1.70	380.4281	442.9192

Cod. elab.: 014RI213-MU83-6-CL-241_A	Titolo: OPERE D'ARTE MINORI - MURI IN C.A.	Data: Aprile 2011
Name Star 014D1212 MH92 6 CL 241 A door	MU.83 - Muro di sottoscarpa 49.94 mt - da 20+873.00 a 20+921.54	
Nome file: 014RI213-MU83-6-CL-241_A.docx	Relazione di calcolo	Pagina 103 di 130

Sollecitazioni fondazione di monte

Combinazione n° 7

L'ascissa X(espressa in m) è considerata positiva verso valle con origine in corrispondenza dell'estremo libero della fondazione di monte

Momento positivo se tende le fibre inferiori, espresso in kNm

Taglio positivo se diretto verso l'alto, espresso in kN

T	M	X	Nr.
-64.6321	-15.9419	0.48	1
-191.9081	-212.6802	1.92	2
-235.3272	-525.5455	3.36	3
-217 8030	-863 7288	4 80	4

Armature e tensioni nei materiali del muro

Combinazione n° 7

L'ordinata Y(espressa in [m]) è considerata positiva verso il basso con origine in testa al muro

- B base della sezione espressa in [m]
- H altezza della sezione espressa in [m]
- $A_{\text{fs}}\,$ area di armatura in corrispondenza del lembo di monte in [mq]
- $A_{\rm fi}\,$ area di armatura in corrispondenza del lembo di valle in [mq]
- $N_{\rm u}\,$ sforzo normale ultimo espresso in [kN]
- M_u momento ultimo espresso in [kNm]
- CS coefficiente sicurezza sezione
- VRcd Aliquota di taglio assorbito dal cls, espresso in [kN]
- VRsd Aliquota di taglio assorbito dall'armatura, espresso in [kN]
- VRd Resistenza al taglio, espresso in [kN]

Nr. Y	В, Н	$\mathbf{A_{fs}}$	$\mathbf{A_{fi}}$	N_u	$\mathbf{M}_{\mathbf{u}}$	CS	$\mathbf{V}_{\mathbf{Rd}}$	$\mathbf{V}_{\mathbf{Rcd}}$	$\mathbf{V}_{\mathbf{R}\mathbf{s}\mathbf{d}}$
1 0.00	1.00, 0.50 0.0	002655 0.0	01571	0.00	0.00	1000.00	208.13		

Cod. elab.: 014RI213-MU83-6-CL-241_A	Titolo: OPERE D'ARTE MINORI - MURI IN C.A.	Data: Aprile 2011
Nome file: 014RI213-MU83-6-CL-241_A.docx	MU.83 - Muro di sottoscarpa 49.94 mt - da 20+873.00 a 20+921.54	<i>Pagina</i> 104 di 130
Nome file. 014Rt215-W005-0-CL-241_A.docx	Relazione di calcolo	1 agina 104 di 130

2 1.20	1.00, 0.50 0.002	655 0.001571	3265.55	-678.72	166.84	210.77	 	
3 2.40	1.00, 0.50 0.002	655 0.001571	1177.38	-629.31	27.24	213.97	 	
4 3.60	1.00, 0.50 0.002	655 0.001571	557.70	-530.65	7.65	217.97	 	
5 4.40	1.00, 1.40 0.002	655 0.001571	5798.39	-3916.81	29.37	416.86	 	
6 5.60	1.00, 1.40 0.002	655 0.001571	3068.56	-3035.65	11.63	426.46	 	
7 6.80	1.00, 1.40 0.002	655 0.001571	1780.06	-2389.59	5.29	436.99	 	
8 8.00	1.00, 1.40 0.002	655 0.001571	1177.47	-2038.38	2.82	448.72	 	

Armature e tensioni nei materiali della fondazione

Combinazione n° 7

Simbologia adottata

- B base della sezione espressa in [m]
- H altezza della sezione espressa in [m]
- $A_{\rm fi}\,$ area di armatura in corrispondenza del lembo inferiore in [mq]
- $A_{\mbox{\scriptsize fs}}$ area di armatura in corrispondenza del lembo superiore in [mq]
- $N_{\rm u}\,$ sforzo normale ultimo espresso in [kN]
- M_{u} momento ultimo espresso in [kNm]
- CS coefficiente sicurezza sezione

VRcd Aliquota di taglio assorbito dal cls, espresso in [kN]

VRsd Aliquota di taglio assorbito dall'armatura, espresso in [kN]

VRd Resistenza al taglio, espresso in [kN]

Fondazione di valle

(L'ascissa X, espressa in [m], è positiva verso monte con origine in corrispondenza dell'estremo libero della fondazione di valle)

Nr.	Y	В, Н	$\mathbf{A}_{\mathbf{f}\mathbf{s}}$	${f A_{fi}}$	N_u	$\mathbf{M}_{\mathbf{u}}$	CS	$\mathbf{V}_{\mathbf{Rd}}$	$\mathbf{V}_{\mathbf{Rcd}}$	$\mathbf{V}_{\mathbf{R}\mathbf{s}\mathbf{d}}$
1	0.17	1.00, 1.60	0.000000	0.005309	0.00	3031.63	782.29	487.75		
2	0.68	1.00, 1.60	0.002655	0.005309	0.00	3083.52	50.04	487.75		
3	1.19	1.00, 1.60	0.002655	0.005309	0.00	3083.52	16.44	4545.13	4545.1331	9515.05
4	1.70	1.00, 1.60	0.002655	0.005309	0.00	3083.52	8.11	4545.13	4545.1363	9030.11

Cod. elab.: 014RI213-MU83-6-CL-241_A	Titolo: OPERE D'ARTE MINORI - MURI IN C.A.	Data: Aprile 2011
Name Flat 014D1212 MU92 6 CL 241 A door	MU.83 - Muro di sottoscarpa 49.94 mt - da 20+873.00 a 20+921.54	
Nome file: 014RI213-MU83-6-CL-241_A.docx	Relazione di calcolo	<i>Pagina</i> 105 di 130

Fondazione di monte

(L'ascissa X, espressa in [m], è positiva verso valle con origine in corrispondenza dell'estremo libero della fondazione di monte)

Nr.	Y	В, Н	$\mathbf{A}_{\mathbf{f}\mathbf{s}}$	${f A_{fi}}$	N_{u}	$\mathbf{M}_{\mathbf{u}}$	CS	$\mathbf{V}_{\mathbf{Rd}}$	$\mathbf{V}_{\mathbf{Rcd}}$	$\mathbf{V}_{\mathbf{R}\mathbf{s}\mathbf{d}}$
1	0.48	1.00, 1.60	0.002655	0.005309	0.00	-1563.23	98.06	433.48		
2	1.92	1.00, 1.60	0.002655	0.005309	0.00	-1563.23	7.35	433.48		
3	3.36	1.00, 1.60	0.002655	0.005309	0.00	-1563.23	2.97	433.48		
4	4.80	1.00, 1.60	0.002655	0.005309	0.00	-1563.23	1.81	433.48		

Sollecitazioni paramento

Combinazione nº 8

L'ordinata Y(espressa in m) è considerata positiva verso il basso con origine in testa al muro

Momento positivo se tende le fibre contro terra (a monte), espresso in kNm

Sforzo normale positivo di compressione, espresso in kN

Taglio positivo se diretto da monte verso valle, espresso in kN

Nr.	Y	N	M	T
1	0.00	0.0000	0.0000	0.0000
2	1.20	19.8202	5.5229	12.6151
3	2.40	44.9075	31.7755	38.3779
4	3.60	76.0901	97.2535	79.3556
5	4.40	202.4467	188.8639	132.4058
6	5.60	273.2532	369.5495	205.9445
7	6.80	353.0922	646.5103	302.0302
8	8.00	437.7353	1042.7752	410.1077

Sollecitazioni fondazione di valle

Combinazione n° 8

L'ascissa X(espressa in m) è considerata positiva verso monte con origine in corrispondenza dell'estremo libero della fondazione di valle

Cod. elab.: 014RI213-MU83-6-CL-241_A	Titolo: OPERE D'ARTE MINORI - MURI IN C.A.	Data: Aprile 2011
Nome file: 014RI213-MU83-6-CL-241_A.docx	MU.83 - Muro di sottoscarpa 49.94 mt - da 20+873.00 a 20+921.54	<i>Pagina</i> 106 di 130
Nome file. 014Rt215-W005-0-CL-241_A.docx	Relazione di calcolo	Tagina 100 di 130

Momento positivo se tende le fibre inferiori, espresso in kNm

Taglio positivo se diretto verso l'alto, espresso in kN

Nr. X	M	T
1 0.17	4.8309	56.7074
2 0.68	76.2572	222.2510
3 1.19	230.3594	380.9266
4 1.70	463.6348	532.7342

Sollecitazioni fondazione di monte

Combinazione n° 8

L'ascissa X(espressa in m) è considerata positiva verso valle con origine in corrispondenza dell'estremo libero della fondazione di monte

Momento positivo se tende le fibre inferiori, espresso in kNm

Taglio positivo se diretto verso l'alto, espresso in kN

T	M	Nr. X
-94.0743	-23.1625	1 0.48
-286.5007	-313.3776	2 1.92
-360.3062	-788.5061	3 3.36
-338.4043	-1307.6790	4 4.80

Armature e tensioni nei materiali del muro

Combinazione n° 8

L'ordinata Y(espressa in [m]) è considerata positiva verso il basso con origine in testa al muro

- B base della sezione espressa in [m]
- H altezza della sezione espressa in [m]

 $A_{\mbox{\tiny fs}}$ area di armatura in corrispondenza del lembo di monte in $[\mbox{mq}]$

A_{fi} area di armatura in corrispondenza del lembo di valle in [mq]

 $N_u \;$ sforzo normale ultimo espresso in [kN]

M_u momento ultimo espresso in [kNm]

CS coefficiente sicurezza sezione

VRcd Aliquota di taglio assorbito dal cls, espresso in [kN]

Cod. elab.: 014RI213-MU83-6-CL-241_A	Titolo: OPERE D'ARTE MINORI - MURI IN C.A.	Data: Aprile 2011
Nome file: 014RI213-MU83-6-CL-241_A.docx	MU.83 - Muro di sottoscarpa 49.94 mt - da 20+873.00 a 20+921.54	<i>Pagina</i> 107 di 130
	Relazione di calcolo	1 agina 107 di 130

VRsd	Aliquota di taglio assorbito dall'armatura, espresso in [kN]

VRd Resistenza al taglio, espresso in [kN]

Nr.	Y	В, Н	$\mathbf{A}_{\mathbf{fs}}$	${f A_{fi}}$	N_u	$\mathbf{M}_{\mathbf{u}}$	CS	$\mathbf{V}_{\mathbf{Rd}}$	$\mathbf{V}_{\mathbf{Rcd}}$	$\mathbf{V}_{\mathbf{R}\mathbf{s}\mathbf{d}}$
1	0.00	1.00, 0.50	0.002655	0.001571	0.00	0.00	1000.00	208.13		
2	1.20	1.00, 0.50	0.002655	0.001571	2600.85	-724.73	131.22	210.81		
3	2.40	1.00, 0.50	0.002655	0.001571	816.10	-577.45	18.17	214.19		
4	3.60	1.00, 0.50	0.002655	0.001571	391.64	-500.57	5.15	218.40		
5	4.40	1.00, 1.40	0.002655	0.001571	3412.64	-3183.68	16.86	417.58		
6	5.60	1.00, 1.40	0.002655	0.001571	1756.97	-2376.13	6.43	427.82		
7	6.80	1.00, 1.40	0.002655	0.001571	1083.28	-1983.49	3.07	439.37		
8	8.00	1.00, 1.40	0.002655	0.001571	751.44	-1790.08	1.72	451.61		

Armature e tensioni nei materiali della fondazione

Combinazione n° 8

Simbologia adottata

B base della sezione espressa in [m]

H altezza della sezione espressa in [m]

 $A_{\rm fi}\,$ area di armatura in corrispondenza del lembo inferiore in [mq]

 $A_{\mbox{\tiny fs}}$ area di armatura in corrispondenza del lembo superiore in [mq]

 $N_{\rm u}\,$ sforzo normale ultimo espresso in [kN]

 $M_{\rm u}$ momento ultimo espresso in [kNm]

CS coefficiente sicurezza sezione

VRcd Aliquota di taglio assorbito dal cls, espresso in [kN]

VRsd Aliquota di taglio assorbito dall'armatura, espresso in [kN]

VRd Resistenza al taglio, espresso in [kN]

Fondazione di valle

(L'ascissa X, espressa in [m], è positiva verso monte con origine in corrispondenza dell'estremo libero della fondazione di valle)

Cod. elab.: 014RI213-MU83-6-CL-241_A	Titolo: OPERE D'ARTE MINORI - MURI IN C.A.	Data: Aprile 2011	
N Cl., 014D1212 M1102 & Cl. 241 A d	MU.83 - Muro di sottoscarpa 49.94 mt - da 20+873.00 a 20+921.54	<i>Pagina</i> 108 di 130	
Nome file: 014RI213-MU83-6-CL-241_A.docx	Relazione di calcolo	Fugina 108 th 130	

Nr. Y	В, Н	$\mathbf{A_{fs}}$	${f A_{fi}}$	N_u	$\mathbf{M}_{\mathbf{u}}$	CS	$\mathbf{V}_{\mathbf{Rd}}$	$\mathbf{V}_{\mathbf{Rcd}}$	$\mathbf{V}_{\mathbf{R}\mathbf{s}\mathbf{d}}$
1 0.17	1.00, 1.60	0.000000	0.005309	0.00	3031.63	627.55	487.75		
2 0.68	1.00, 1.60	0.002655	0.005309	0.00	3083.52	40.44	487.75		
3 1.19	1.00, 1.60	0.002655	0.005309	0.00	3083.52	13.39	4545.13	4545.1331	9515.05
4 1.70	1.00, 1.60	0.002655	0.005309	0.00	3083.52	6.65	4545.13	4545.1363	9030.11

Fondazione di monte

(L'ascissa X, espressa in [m], è positiva verso valle con origine in corrispondenza dell'estremo libero della fondazione di monte)

Nr. Y	В, Н	$\mathbf{A}_{\mathbf{f}\mathbf{s}}$	${f A_{fi}}$	$N_{\rm u}$	$\mathbf{M}_{\mathbf{u}}$	CS	$\mathbf{V}_{\mathbf{Rd}}$	$\mathbf{V}_{\mathbf{Rcd}}$	$\mathbf{V}_{\mathbf{R}\mathbf{s}\mathbf{d}}$
1 0.48	1.00, 1.60	0.002655	0.005309	0.00	-1563.23	67.49	433.48		
2 1.92	1.00, 1.60	0.002655	0.005309	0.00	-1563.23	4.99	433.48		
3 3.36	1.00, 1.60	0.002655	0.005309	0.00	-1563.23	1.98	433.48		
4 4 80	1 00 1 60	0.002655	0.005309	0.00	-1563 23	1.20	433 48		

Sollecitazioni paramento

Combinazione n° 10

L'ordinata Y(espressa in m) è considerata positiva verso il basso con origine in testa al muro

Momento positivo se tende le fibre contro terra (a monte), espresso in kNm

Sforzo normale positivo di compressione, espresso in kN

Taglio positivo se diretto da monte verso valle, espresso in kN

Nr.	Y	N	M	T
1	0.00	0.0000	0.0000	0.0000
2	1.20	16.5461	0.8485	3.0876
3	2.40	37.1685	8.7106	14.3152
4	3.60	63.7809	35.8107	37.5047
5	4.40	186.3613	87.6238	71.8130
6	5.60	249.6668	183.1372	114.3592
7	6.80	319.4543	332.7636	169.8495
8	8.00	397.5290	553.5225	241.8891

Cod. elab.: 014RI213-MU83-6-CL-241_A	Titolo: OPERE D'ARTE MINORI - MURI IN C.A.	Data: Aprile 2011
N. C. OLONOLO MUON COLOMA A L.	MU.83 - Muro di sottoscarpa 49.94 mt - da 20+873.00 a 20+921.54	
Nome file: 014RI213-MU83-6-CL-241_A.docx	Relazione di calcolo	Pagina 109 di 130

Sollecitazioni fondazione di valle

Combinazione nº 10

L'ascissa X(espressa in m) è considerata positiva verso monte con origine in corrispondenza dell'estremo libero della fondazione di valle Momento positivo se tende le fibre inferiori, espresso in kNm

Taglio positivo se diretto verso l'alto, espresso in kN

T	M	X	Nr.
36.4549	3.0977	0.17	1
146.2123	49.6528	0.68	2
256.5588	152.3344	1.19	3
367 4943	311 4429	1 70	4

Sollecitazioni fondazione di monte

Combinazione nº 10

 $L'ascissa\ X(espressa\ in\ m)\ \grave{e}\ considerata\ positiva\ verso\ valle\ con\ origine\ in\ corrispondenza\ dell'estremo\ libero\ della\ fondazione\ di\ monte$

Momento positivo se tende le fibre inferiori, espresso in kNm

Taglio positivo se diretto verso l'alto, espresso in kN

T	M	Nr. X
-47.0139	-11.6038	1 0.48
-137.8926	-153.8035	2 1.92
-169.6003	-377.4918	3 3.36
-165.0506	-627.4078	4 4.80

Armature e tensioni nei materiali del muro

Cod. elab.: 014RI213-MU83-6-CL-241_A	Titolo: OPERE D'ARTE MINORI - MURI IN C.A.	Data: Aprile 2011
N. CL OLIDICAL MUSIC CLOSE A L.	MU.83 - Muro di sottoscarpa 49.94 mt - da 20+873.00 a 20+921.54	
Nome file: 014RI213-MU83-6-CL-241_A.docx	Relazione di calcolo	Pagina 110 di 130

Combinazione nº 10

L'ordinata Y(espressa in [m]) è considerata positiva verso il basso con origine in testa al muro

- B base della sezione espressa in [m]
- H altezza della sezione espressa in [m]
- A_{fs} area di armatura in corrispondenza del lembo di monte in [mq]
- $A_{\rm fi}\,$ area di armatura in corrispondenza del lembo di valle in [mq]
- σ_c tensione nel calcestruzzo espressa in [MPa]
- τ_c tensione tangenziale nel calcestruzzo espressa in [MPa]
- $\sigma_{\text{fs}}\,$ tensione nell'armatura disposta sul lembo di monte in [MPa]
- $\sigma_{\rm fi}$ tensione nell'armatura disposta sul lembo di valle in [MPa]

Nr.	Y	В, Н	$\mathbf{A_{fs}}$	${f A_{fi}}$	$\sigma_{\rm c}$	$ au_{ m c}$	σ_{fs}	$\sigma_{ m fi}$
1	0.00	1.00, 0.50	0.002655	0.001571	0.000	0.000	0.000	0.000
2	1.20	1.00, 0.50	0.002655	0.001571	0.048	0.008	-0.228	-0.666
3	2.40	1.00, 0.50	0.002655	0.001571	0.284	0.037	2.723	-3.480
4	3.60	1.00, 0.50	0.002655	0.001571	1.115	0.098	23.016	-12.306
5	4.40	1.00, 1.40	0.002655	0.001571	0.423	0.063	3.394	-5.983
6	5.60	1.00, 1.40	0.002655	0.001571	0.934	0.100	17.894	-12.833
7	6.80	1.00, 1.40	0.002655	0.001571	1.753	0.148	49.055	-23.498
8	8.00	1.00, 1.40	0.002655	0.001571	2.940	0.211	100.749	-38.733

Armature e tensioni nei materiali della fondazione

Combinazione n° 10

Simbologia adottata

- B base della sezione espressa in [m]
- H altezza della sezione espressa in [m]
- $A_{\mathrm{fi}}\,$ area di armatura in corrispondenza del lembo inferiore in [mq]
- Afs area di armatura in corrispondenza del lembo superiore in [mq]
- $\sigma_c~$ tensione nel calcestruzzo espressa in [MPa]
- τ_c tensione tangenziale nel calcestruzzo espressa in [MPa]
- $\sigma_{\rm fi}~$ tensione nell'armatura disposta in corrispondenza del lembo inferiore in [MPa]
- $\sigma_{\text{fs}}\,$ tensione nell'armatura disposta in corrispondenza del lembo superiore in [MPa]

Cod. elab.: 014RI213-MU83-6-CL-241_A	Titolo: OPERE D'ARTE MINORI - MURI IN C.A.	Data: Aprile 2011
Nome file: 014RI213-MU83-6-CL-241_A.docx	MU.83 - Muro di sottoscarpa 49.94 mt - da 20+873.00 a 20+921.54	<i>Pagina</i> 111 di 130
	Relazione di calcolo	1 000000 111 41 150

Fondazione di valle

(L'ascissa X, espressa in [m], è positiva verso monte con origine in corrispondenza dell'estremo libero della fondazione di valle)

Nr.	X	В, Н	$\mathbf{A}_{\mathbf{fs}}$	${f A_{fi}}$	$\sigma_{\rm c}$	$ au_{ m c}$	$\sigma_{ m fi}$	σ_{fs}
1	0.17	1.00, 1.60	0.000000	0.005309	0.010	0.028	0.414	0.000
2	0.68	1.00, 1.60	0.002655	0.005309	0.149	0.111	6.538	-1.956
3	1.19	1.00, 1.60	0.002655	0.005309	0.458	0.195	20.058	-6.002
4	1.70	1.00, 1.60	0.002655	0.005309	0.936	0.279	41.009	-12.270

Fondazione di monte

(L'ascissa X, espressa in [m], è positiva verso valle con origine in corrispondenza dell'estremo libero della fondazione di monte)

Nr.	X	В, Н	$\mathbf{A_{fs}}$	${f A_{fi}}$	$\sigma_{\rm c}$	$ au_{ m c}$	σ_{fi}	σ_{fs}
1	0.48	1.00, 1.60	0.002655	0.005309	0.040	-0.036	-0.488	2.964
2	1.92	1.00, 1.60	0.002655	0.005309	0.533	-0.105	-6.473	39.282
3	3.36	1.00, 1.60	0.002655	0.005309	1.309	-0.129	-15.888	96.412
4	4.80	1.00, 1.60	0.002655	0.005309	2.175	-0.125	-26.406	160.241

Verifiche a fessurazione

Combinazione n° 10

L'ordinata Y (espressa in [m]) è considerata positiva verso il basso con origine in testa al muro

 $A_{\mbox{\scriptsize fs}}$ area di armatura in corrispondenza del lembo di monte in [mq]

 $A_{\rm fi}\,$ area di armatura in corrispondenza del lembo di valle in [mq]

 $M_{\mbox{\tiny pf}}$ Momento di prima fessurazione espressa in [kNm]

M Momento agente nella sezione espressa in [kNm]

 ϵ_m deformazione media espressa in [%]

 $s_m \;\; Distanza \; media \; tra \; le \; fessure \; espressa \; in \; [mm]$

w Apertura media della fessura espressa in [mm]

Cod. elab.: 014RI213-MU83-6-CL-241_A	Titolo: OPERE D'ARTE MINORI - MURI IN C.A.	Data: Aprile 2011
Name Star 014D1212 MH92 6 CL 241 A door	MU.83 - Muro di sottoscarpa 49.94 mt - da 20+873.00 a 20+921.54	
Nome file: 014RI213-MU83-6-CL-241_A.docx	Relazione di calcolo	<i>Pagina</i> 112 di 130

T 7 . C*		
Veritica	fessurazione	naramento
rcijica	1 CBB WI WZ, WICE	paramenio

N°	Y	$\mathbf{A_{fs}}$	${f A_{fi}}$	$\mathbf{M}_{ ext{pf}}$	M	$\boldsymbol{\epsilon}_{\mathbf{m}}$	$S_{\mathbf{m}}$	w
1	0.00	0.002655	0.001571	-66.43	0.00	0.0000	0.00	0.000
2	0.40	0.002655	0.001571	-66.43	0.00	0.0000	0.00	0.000
3	0.80	0.002655	0.001571	-66.43	-0.19	0.0000	0.00	0.000
4	1.20	0.002655	0.001571	-66.43	-0.85	0.0000	0.00	0.000
5	1.60	0.002655	0.001571	-66.43	-2.24	0.0000	0.00	0.000
6	2.00	0.002655	0.001571	-66.43	-4.69	0.0000	0.00	0.000
7	2.40	0.002655	0.001571	-66.43	-8.71	0.0000	0.00	0.000
8	2.80	0.002655	0.001571	-66.43	-14.88	0.0000	0.00	0.000
9	3.20	0.002655	0.001571	-66.43	-23.74	0.0000	0.00	0.000
10	3.60	0.002655	0.001571	-66.43	-35.81	0.0000	0.00	0.000
11	4.00	0.002655	0.001571	-66.43	-51.52	0.0000	0.00	0.000
12	4.00	0.002655	0.001571	-473.07	-65.18	0.0000	0.00	0.000
13	4.40	0.002655	0.001571	-473.07	-87.62	0.0000	0.00	0.000
14	4.80	0.002655	0.001571	-473.07	-114.38	0.0000	0.00	0.000
15	5.20	0.002655	0.001571	-473.07	-146.03	0.0000	0.00	0.000
16	5.60	0.002655	0.001571	-473.07	-183.14	0.0000	0.00	0.000
17	6.00	0.002655	0.001571	-473.07	-226.28	0.0000	0.00	0.000
18	6.40	0.002655	0.001571	-473.07	-276.01	0.0000	0.00	0.000
19	6.80	0.002655	0.001571	-473.07	-332.76	0.0000	0.00	0.000
20	7.20	0.002655	0.003142	-478.10	-397.20	0.0000	0.00	0.000
21	7.60	0.002655	0.001571	-473.07	-470.55	0.0000	0.00	0.000
22	8.00	0.002655	0.001571	-473.07	-553.52	0.0294	173.71	0.087

Verifica fessurazione fondazione

N° Y	$\mathbf{A}_{\mathbf{f}\mathbf{s}}$	${f A_{fi}}$	$\mathbf{M}_{\mathbf{pf}}$	M	$\boldsymbol{\epsilon}_{\mathrm{m}}$	$\mathbf{S}_{\mathbf{m}}$	w
1 -2.20	0.000000	0.000000	-564.75	0.00	0.0000	0.00	0.000
2 -2.03	0.000000	0.005309	646.93	3.10	0.0000	0.00	0.000
3 -1.86	0.002655	0.005309	657.57	12.40	0.0000	0.00	0.000
4 -1.69	0.002655	0.005309	657.57	27.91	0.0000	0.00	0.000
5 -1.52	0.002655	0.005309	657.57	49.65	0.0000	0.00	0.000
6 -1.35	0.002655	0.005309	657.57	77.63	0.0000	0.00	0.000

Cod. elab.: 014RI213-MU83-6-CL-241_A	Titolo: OPERE D'ARTE MINORI - MURI IN C.A.	Data: Aprile 2011
Nome file: 014RI213-MU83-6-CL-241_A.docx	MU.83 - Muro di sottoscarpa 49.94 mt - da 20+873.00 a 20+921.54	<i>Pagina</i> 113 di 130
•	Relazione di calcolo	

 $\label{lem:corrido} Corrido io Plurimo da le Tirrenico - Nord Europa / Itinerario Agrigento - Caltanissetta - A19 / S.S.~n°~640~" di Porto Empedocle" \\ Ammo dernamento e adeguamento alla Cat.~B~del~D.M.~5.11.2001~dal~km~44+000~allo~svincolo~con~l'A19$

PROGETTO ESECUTIVO

7 -1.18	0.002655	0.005309	657.57	111.85	0.0000	0.00	0.000	
8 -1.01	0.002655	0.005309	657.57	152.33	0.0000	0.00	0.000	
9 -0.84	0.002655	0.005309	657.57	199.09	0.0000	0.00	0.000	
10 -0.67	0.002655	0.005309	657.57	252.12	0.0000	0.00	0.000	
11 -0.50	0.002655	0.005309	657.57	311.44	0.0000	0.00	0.000	
12 0.90	0.002655	0.005309	-625.82	-627.41	0.0467	173.71	0.138	
13 1.38	0.002655	0.005309	-625.82	-545.48	0.0000	0.00	0.000	
14 1.86	0.002655	0.005309	-625.82	-460.84	0.0000	0.00	0.000	
15 2.34	0.002655	0.005309	-625.82	-377.49	0.0000	0.00	0.000	
16 2.82	0.002655	0.005309	-625.82	-298.35	0.0000	0.00	0.000	
17 3.30	0.002655	0.005309	-625.82	-223.57	0.0000	0.00	0.000	
18 3.78	0.002655	0.005309	-625.82	-153.80	0.0000	0.00	0.000	
19 4.26	0.002655	0.005309	-625.82	-92.53	0.0000	0.00	0.000	
20 4.74	0.002655	0.005309	-625.82	-43.79	0.0000	0.00	0.000	
21 5.22	0.002655	0.005309	-625.82	-11.60	0.0000	0.00	0.000	
22 5.70	0.000000	0.000000	-564.75	0.00	0.0000	0.00	0.000	

Cod. elab.: 014RI213-MU83-6-CL-241_A	Titolo: OPERE D'ARTE MINORI - MURI IN C.A.	Data: Aprile 2011	
Nome file: 014RI213-MU83-6-CL-241_A.docx	MU.83 - Muro di sottoscarpa 49.94 mt - da 20+873.00 a 20+921.54	<i>Pagina</i> 114 di 130	
Nome file. 014Rt215-W005-0-CL-241_A.docx	Relazione di calcolo	1 agina 114 di 130	

Sollecitazioni paramento

Combinazione n° 11

L'ordinata Y(espressa in m) è considerata positiva verso il basso con origine in testa al muro

Momento positivo se tende le fibre contro terra (a monte), espresso in kNm

Sforzo normale positivo di compressione, espresso in kN

Taglio positivo se diretto da monte verso valle, espresso in kN

Nr.	Y	N	M	T
1	0.00	0.0000	0.0000	0.0000
2	1.20	16.5461	0.8485	3.0876
3	2.40	37.1685	8.7106	14.3152
4	3.60	63.7809	35.8107	37.5047
5	4.40	186.3613	87.6238	71.8130
6	5.60	249.6668	183.1372	114.3592
7	6.80	319.4543	332.7636	169.8495
8	8.00	397.5290	553.5225	241.8891

Sollecitazioni fondazione di valle

Combinazione nº 11

L'ascissa X(espressa in m) è considerata positiva verso monte con origine in corrispondenza dell'estremo libero della fondazione di valle

Momento positivo se tende le fibre inferiori, espresso in kNm

Taglio positivo se diretto verso l'alto, espresso in kN

Nr.	X	M	T
1	0.17	3.1344	36.8842
2	0.68	50.2199	147.8408
3	1.19	154.0096	259.2535
4	1.70	314.7360	371.1222

Cod. elab.: 014RI213-MU83-6-CL-241_A	Titolo: OPERE D'ARTE MINORI - MURI IN C.A.	Data: Aprile 2011
	MU.83 - Muro di sottoscarpa 49.94 mt - da 20+873.00 a 20+921.54	
Nome file: 014RI213-MU83-6-CL-241_A.docx	Relazione di calcolo	Pagina 115 di 130

Sollecitazioni fondazione di monte

Combinazione n° 11

L'ascissa X(espressa in m) è considerata positiva verso valle con origine in corrispondenza dell'estremo libero della fondazione di monte

Momento positivo se tende le fibre inferiori, espresso in kNm

Taglio positivo se diretto verso l'alto, espresso in kN

T	M	Nr. X
-47.6610	-11.7638	1 0.48
-139.7740	-155.9113	2 1.92
-171.6558	-382.5615	3 3.36
-166.2200	-634.9266	4 4.80

Armature e tensioni nei materiali del muro

Combinazione n° 11

L'ordinata Y(espressa in [m]) è considerata positiva verso il basso con origine in testa al muro

- B base della sezione espressa in [m]
- H altezza della sezione espressa in [m]
- $A_{\mbox{\tiny fs}}$ area di armatura in corrispondenza del lembo di monte in [mq]
- $A_{\rm fi}\,$ area di armatura in corrispondenza del lembo di valle in [mq]
- σ_c tensione nel calcestruzzo espressa in [MPa]
- τ_c $\,$ tensione tangenziale nel calcestruzzo espressa in [MPa]
- $\sigma_{\text{fs}}\,$ tensione nell'armatura disposta sul lembo di monte in [MPa]
- $\sigma_{\scriptscriptstyle fi}~$ tensione nell'armatura disposta sul lembo di valle in [MPa]

Nr.	Y	В, Н	$\mathbf{A}_{\mathbf{f}\mathbf{s}}$	${f A_{fi}}$	$\sigma_{ m c}$	$ au_{c}$	σ_{fs}	$\sigma_{\rm fi}$
1	0.00	1.00, 0.50	0.002655	0.001571	0.000	0.000	0.000	0.000
2	1.20	1.00, 0.50	0.002655	0.001571	0.048	0.008	-0.228	-0.666

Cod. elab.: 014RI213-MU83-6-CL-241_A	Titolo: OPERE D'ARTE MINORI - MURI IN C.A.	Data: Aprile 2011
Nome file: 014RI213-MU83-6-CL-241_A.docx	MU.83 - Muro di sottoscarpa 49.94 mt - da 20+873.00 a 20+921.54	<i>Pagina</i> 116 di 130
110me jue. 014101213-111003-0-CE-241_A.docx	Relazione di calcolo	1 ugiiiu 110 di 130

3	2.40	1.00, 0.50	0.002655	0.001571	0.284	0.037	2.723	-3.480
4	3.60	1.00, 0.50	0.002655	0.001571	1.115	0.098	23.016	-12.306
5	4.40	1.00, 1.40	0.002655	0.001571	0.423	0.063	3.394	-5.983
6	5.60	1.00, 1.40	0.002655	0.001571	0.934	0.100	17.894	-12.833
7	6.80	1.00, 1.40	0.002655	0.001571	1.753	0.148	49.055	-23.498
8	8.00	1.00, 1.40	0.002655	0.001571	2.940	0.211	100.749	-38.733

Armature e tensioni nei materiali della fondazione

Combinazione nº 11

Simbologia adottata

- B base della sezione espressa in [m]
- H altezza della sezione espressa in [m]
- $A_{\rm fi}\,$ area di armatura in corrispondenza del lembo inferiore in [mq]
- $A_{\mbox{\scriptsize fs}}$ area di armatura in corrispondenza del lembo superiore in [mq]
- σ_c tensione nel calcestruzzo espressa in [MPa]
- τ_c tensione tangenziale nel calcestruzzo espressa in [MPa]
- $\sigma_{\scriptscriptstyle fi}~$ tensione nell'armatura disposta in corrispondenza del lembo inferiore in [MPa]
- $\sigma_{\scriptscriptstyle fs}\,$ tensione nell'armatura disposta in corrispondenza del lembo superiore in [MPa]

Fondazione di valle

(L'ascissa X, espressa in [m], è positiva verso monte con origine in corrispondenza dell'estremo libero della fondazione di valle)

Nr.	X	В, Н	$\mathbf{A}_{\mathbf{fs}}$	${f A_{fi}}$	σ_{c}	$ au_{\mathrm{c}}$	σ_{fi}	σ_{fs}
1	0.17	1.00, 1.60	0.000000	0.005309	0.011	0.028	0.419	0.000
2	0.68	1.00, 1.60	0.002655	0.005309	0.151	0.112	6.613	-1.979
3	1.19	1.00, 1.60	0.002655	0.005309	0.463	0.197	20.279	-6.068
4	1.70	1.00, 1.60	0.002655	0.005309	0.946	0.282	41.442	-12.400

Fondazione di monte

(L'ascissa X, espressa in [m], è positiva verso valle con origine in corrispondenza dell'estremo libero della fondazione di monte)

Cod. elab.: 014RI213-MU83-6-CL-241_A	Titolo: OPERE D'ARTE MINORI - MURI IN C.A.	Data: Aprile 2011
Nome file: 014R1213-MU83-6-CL-241 A.docx	MU.83 - Muro di sottoscarpa 49.94 mt - da 20+873.00 a 20+921.54	Pagina 117 di 130
Trome fuel of radio file of a CD 271_11.uoon	Relazione di calcolo	1 000000 117 01 150

Nr.	X	В, Н	$\mathbf{A}_{\mathbf{fs}}$	${f A_{fi}}$	$\sigma_{\rm c}$	$ au_{ m c}$	σ_{fi}	σ_{fs}
1	0.48	1.00, 1.60	0.002655	0.005309	0.041	-0.036	-0.495	3.005
2	1.92	1.00, 1.60	0.002655	0.005309	0.541	-0.106	-6.562	39.820
3	3.36	1.00, 1.60	0.002655	0.005309	1.326	-0.130	-16.101	97.707
4	4.80	1.00, 1.60	0.002655	0.005309	2.201	-0.126	-26.723	162.161

Verifiche a fessurazione

Combinazione n° 11

L'ordinata Y (espressa in [m]) è considerata positiva verso il basso con origine in testa al muro

 $A_{\mbox{\scriptsize fs}}$ area di armatura in corrispondenza del lembo di monte in [mq]

 $A_{\rm fi}\,$ area di armatura in corrispondenza del lembo di valle in [mq]

 $M_{\text{pf}}Momento \ di \ prima \ fessurazione espressa in [kNm]$

- M Momento agente nella sezione espressa in [kNm]
- $\epsilon_m~$ deformazione media espressa in [%]
- $s_{m}\;\;$ Distanza media tra le fessure espressa in [mm]
- w Apertura media della fessura espressa in [mm]

Verifica fessurazione paramento

N°	Y	$\mathbf{A_{fs}}$	${f A_{fi}}$	$\mathbf{M}_{\mathbf{pf}}$	M	$\boldsymbol{\epsilon}_{\mathrm{m}}$	$S_{\mathbf{m}}$	W
1	0.00	0.002655	0.001571	-66.43	0.00	0.0000	0.00	0.000
2	0.40	0.002655	0.001571	-66.43	0.00	0.0000	0.00	0.000
3	0.80	0.002655	0.001571	-66.43	-0.19	0.0000	0.00	0.000
4	1.20	0.002655	0.001571	-66.43	-0.85	0.0000	0.00	0.000
5	1.60	0.002655	0.001571	-66.43	-2.24	0.0000	0.00	0.000
6	2.00	0.002655	0.001571	-66.43	-4.69	0.0000	0.00	0.000
7	2.40	0.002655	0.001571	-66.43	-8.71	0.0000	0.00	0.000
8	2.80	0.002655	0.001571	-66.43	-14.88	0.0000	0.00	0.000
9	3.20	0.002655	0.001571	-66.43	-23.74	0.0000	0.00	0.000
10	3.60	0.002655	0.001571	-66.43	-35.81	0.0000	0.00	0.000
11	4.00	0.002655	0.001571	-66.43	-51.52	0.0000	0.00	0.000
12	4.00	0.002655	0.001571	-473.07	-65.18	0.0000	0.00	0.000
13	4.40	0.002655	0.001571	-473.07	-87.62	0.0000	0.00	0.000
14	4.80	0.002655	0.001571	-473.07	-114.38	0.0000	0.00	0.000

Cod. elab.: 014RI213-MU83-6-CL-241_A	Titolo: OPERE D'ARTE MINORI - MURI IN C.A.	Data: Aprile 2011
Nome file: 014RI213-MU83-6-CL-241 A.docx	MU.83 - Muro di sottoscarpa 49.94 mt - da 20+873.00 a 20+921.54	<i>Pagina</i> 118 di 130
ivome fue. 014Rt215-W005-0-CL-241_A.docx	Relazione di calcolo	1 agina 118 di 130

		J	PROGETTO	ESECUTIVO				
15 5.20	0.002655	0.001571	-473.07	-146.03	0.0000	0.00	0.000	
16 5.60	0.002655	0.001571	-473.07	-183.14	0.0000	0.00	0.000	
17 6.00	0.002655	0.001571	-473.07	-226.28	0.0000	0.00	0.000	
18 6.40	0.002655	0.001571	-473.07	-276.01	0.0000	0.00	0.000	
19 6.80	0.002655	0.001571	-473.07	-332.76	0.0000	0.00	0.000	
20 7.20	0.002655	0.003142	-478.10	-397.20	0.0000	0.00	0.000	
21 7.60	0.002655	0.001571	-473.07	-470.55	0.0000	0.00	0.000	
22 8.00	0.002655	0.001571	-473.07	-553.52	0.0294	173.71	0.087	

Verifica fessurazione fondazione

N° Y	$\mathbf{A}_{\mathbf{fs}}$	${f A_{fi}}$	$\mathbf{M}_{\mathbf{pf}}$	M	$oldsymbol{arepsilon}_{\mathbf{m}}$	$\mathbf{s}_{\mathbf{m}}$	w
1 -2.20	0.000000	0.000000	-564.75	0.00	0.0000	0.00	0.000
2 -2.03	0.000000	0.005309	646.93	3.13	0.0000	0.00	0.000
3 -1.86	0.002655	0.005309	657.57	12.54	0.0000	0.00	0.000
4 -1.69	0.002655	0.005309	657.57	28.24	0.0000	0.00	0.000
5 -1.52	0.002655	0.005309	657.57	50.22	0.0000	0.00	0.000
6 -1.35	0.002655	0.005309	657.57	78.50	0.0000	0.00	0.000
7 -1.18	0.002655	0.005309	657.57	113.10	0.0000	0.00	0.000
8 -1.01	0.002655	0.005309	657.57	154.01	0.0000	0.00	0.000
9 -0.84	0.002655	0.005309	657.57	201.25	0.0000	0.00	0.000
10 -0.67	0.002655	0.005309	657.57	254.82	0.0000	0.00	0.000
11 -0.50	0.002655	0.005309	657.57	314.74	0.0000	0.00	0.000
12 0.90	0.002655	0.005309	-625.82	-634.93	0.0472	173.71	0.140
13 1.38	0.002655	0.005309	-625.82	-552.34	0.0000	0.00	0.000
14 1.86	0.002655	0.005309	-625.82	-466.86	0.0000	0.00	0.000
15 2.34	0.002655	0.005309	-625.82	-382.56	0.0000	0.00	0.000
16 2.82	0.002655	0.005309	-625.82	-302.41	0.0000	0.00	0.000
17 3.30	0.002655	0.005309	-625.82	-226.63	0.0000	0.00	0.000
18 3.78	0.002655	0.005309	-625.82	-155.91	0.0000	0.00	0.000
19 4.26	0.002655	0.005309	-625.82	-93.81	0.0000	0.00	0.000
20 4.74	0.002655	0.005309	-625.82	-44.39	0.0000	0.00	0.000
21 5.22	0.002655	0.005309	-625.82	-11.76	0.0000	0.00	0.000
22 5.70	0.000000	0.000000	-564.75	0.00	0.0000	0.00	0.000

Cod. elab.: 014RI213-MU83-6-CL-241_A	Titolo: OPERE D'ARTE MINORI - MURI IN C.A.	Data: Aprile 2011
Nome file: 014RI213-MU83-6-CL-241_A.docx	MU.83 - Muro di sottoscarpa 49.94 mt - da 20+873.00 a 20+921.54	<i>Pagina</i> 119 di 130
_	Relazione di calcolo	<u> </u>

Sollecitazioni paramento

Combinazione nº 12

L'ordinata Y(espressa in m) è considerata positiva verso il basso con origine in testa al muro

Momento positivo se tende le fibre contro terra (a monte), espresso in kNm

Sforzo normale positivo di compressione, espresso in kN

Taglio positivo se diretto da monte verso valle, espresso in kN

Nr.	Y	N	\mathbf{M}	T
1	0.00	0.0000	0.0000	0.0000
2	1.20	16.5461	0.8485	3.0876
3	2.40	37.1685	8.7106	14.3152
4	3.60	63.7809	35.8107	37.5047
5	4.40	186.3613	87.6238	71.8130
6	5.60	249.6668	183.1372	114.3592
7	6.80	319.4543	332.7636	169.8495
8	8.00	397.5290	553.5225	241.8891

Sollecitazioni fondazione di valle

Combinazione n° 12

L'ascissa X(espressa in m) è considerata positiva verso monte con origine in corrispondenza dell'estremo libero della fondazione di valle

Momento positivo se tende le fibre inferiori, espresso in kNm

Taglio positivo se diretto verso l'alto, espresso in kN

Nr. X	M	T
1 0.17	3.1960	37.6039
2 0.68	51.1706	150.5707
3 1.19	156.8177	263.7704
4 1.70	320.2560	377.2028

Cod. elab.: 014RI213-MU83-6-CL-241_A	Titolo: OPERE D'ARTE MINORI - MURI IN C.A.	Data: Aprile 2011	
	MU.83 - Muro di sottoscarpa 49.94 mt - da 20+873.00 a 20+921.54		
Nome file: 014RI213-MU83-6-CL-241_A.docx	Relazione di calcolo	Pagina 120 di 130	

Sollecitazioni fondazione di monte

Combinazione nº 12

L'ascissa X(espressa in m) è considerata positiva verso valle con origine in corrispondenza dell'estremo libero della fondazione di monte

Momento positivo se tende le fibre inferiori, espresso in kNm

Taglio positivo se diretto verso l'alto, espresso in kN

T	\mathbf{M}	X	Nr.
-48.7500	-12.0331	0.48	1
-142.9435	-159.4603	1.92	2
-175.1257	-391.1045	3.36	3
-168 2104	-647 6147	4 80	4

Armature e tensioni nei materiali del muro

Combinazione n° 12

L'ordinata Y(espressa in [m]) è considerata positiva verso il basso con origine in testa al muro

- B base della sezione espressa in [m]
- H altezza della sezione espressa in [m]
- $A_{\mbox{\tiny fs}}$ area di armatura in corrispondenza del lembo di monte in [mq]
- $A_{\rm fi}\,$ area di armatura in corrispondenza del lembo di valle in [mq]
- σ_c tensione nel calcestruzzo espressa in [MPa]
- τ_c $\,$ tensione tangenziale nel calcestruzzo espressa in [MPa]
- $\sigma_{\text{fs}}\,$ tensione nell'armatura disposta sul lembo di monte in [MPa]
- $\sigma_{\rm fi}$ tensione nell'armatura disposta sul lembo di valle in [MPa]

Nr.	Y	В, Н	$\mathbf{A}_{\mathbf{fs}}$	$\mathbf{A_{fi}}$	$\sigma_{\rm c}$	$ au_{ m c}$	$\sigma_{\!\scriptscriptstyle fs}$	$\sigma_{\rm fi}$
1	0.00	1.00, 0.50	0.002655	0.001571	0.000	0.000	0.000	0.000
2	1.20	1.00, 0.50	0.002655	0.001571	0.048	0.008	-0.228	-0.666

Cod. elab.: 014RI213-MU83-6-CL-241_A	Titolo: OPERE D'ARTE MINORI - MURI IN C.A.	Data: Aprile 2011	
N. CI. OLADIOLO MUON COL MAI A IL	MU.83 - Muro di sottoscarpa 49.94 mt - da 20+873.00 a 20+921.54		
Nome file: 014RI213-MU83-6-CL-241_A.docx	Relazione di calcolo	Pagina 121 di 130	

1	PR (OGE	$\Gamma T \Omega$	ESE	$C\Pi$	TIV	n
	$r \kappa$	ДΙГ	1 I (<i>)</i>	L'OL		1 I V	ι,

3 2.40	1.00, 0.50	0.002655	0.001571	0.284	0.037	2.723	-3.480
4 3.60	1.00, 0.50	0.002655	0.001571	1.115	0.098	23.016	-12.306
5 4.40	1.00, 1.40	0.002655	0.001571	0.423	0.063	3.394	-5.983
6 5.60	1.00, 1.40	0.002655	0.001571	0.934	0.100	17.894	-12.833
7 6.80	1.00, 1.40	0.002655	0.001571	1.753	0.148	49.055	-23.498
8 8.00	1.00, 1.40	0.002655	0.001571	2.940	0.211	100.749	-38.733

Armature e tensioni nei materiali della fondazione

Combinazione n° 12

Simbologia adottata

- B base della sezione espressa in [m]
- H altezza della sezione espressa in [m]
- $A_{\rm fi}\,$ area di armatura in corrispondenza del lembo inferiore in [mq]
- A_{fs} area di armatura in corrispondenza del lembo superiore in [mq]
- σ_c tensione nel calcestruzzo espressa in [MPa]
- τ_c $\,$ tensione tangenziale nel calcestruzzo espressa in [MPa]
- $\sigma_{\!\scriptscriptstyle fi}\,\,$ tensione nell'armatura disposta in corrispondenza del lembo inferiore in [MPa]
- $\sigma_{\text{fs}}\,$ tensione nell'armatura disposta in corrispondenza del lembo superiore in [MPa]

Fondazione di valle

(L'ascissa X, espressa in [m], è positiva verso monte con origine in corrispondenza dell'estremo libero della fondazione di valle)

Nr.	X	В, Н	$\mathbf{A}_{\mathbf{f}\mathbf{s}}$	${f A_{fi}}$	$\sigma_{\rm c}$	$ au_{ m c}$	$\sigma_{ m fi}$	$\sigma_{ m fs}$
1	0.17	1.00, 1.60	0.000000	0.005309	0.011	0.029	0.427	0.000
2	0.68	1.00, 1.60	0.002655	0.005309	0.154	0.114	6.738	-2.016
3	1.19	1.00, 1.60	0.002655	0.005309	0.472	0.200	20.649	-6.178
4	1.70	1.00, 1.60	0.002655	0.005309	0.963	0.286	42.169	-12.618

Fondazione di monte

(L'ascissa X, espressa in [m], è positiva verso valle con origine in corrispondenza dell'estremo libero della fondazione di monte)

 $Nr. \quad X \qquad \quad B,H \qquad \quad A_{fs} \qquad \quad A_{fi} \qquad \quad \sigma_{c} \qquad \quad \tau_{c} \qquad \quad \sigma_{fi} \qquad \quad \sigma_{fs}$

Cod. elab.: 014RI213-MU83-6-CL-241_A	Titolo: OPERE D'ARTE MINORI - MURI IN C.A.	Data: Aprile 2011
Nome file: 014RI213-MU83-6-CL-241_A.docx	MU.83 - Muro di sottoscarpa 49.94 mt - da 20+873.00 a 20+921.54	<i>Pagina</i> 122 di 130
_	Relazione di calcolo	Q

1	0.48	1.00, 1.60	0.002655	0.005309	0.042	-0.037	-0.506	3.073
2	1.92	1.00, 1.60	0.002655	0.005309	0.553	-0.108	-6.711	40.726
3	3.36	1.00, 1.60	0.002655	0.005309	1.356	-0.133	-16.461	99.889
4	4.80	1.00, 1.60	0.002655	0.005309	2.245	-0.128	-27.257	165.402

Verifiche a fessurazione

Combinazione n° 12

L'ordinata Y (espressa in [m]) è considerata positiva verso il basso con origine in testa al muro

 $A_{\mbox{\scriptsize fs}}$ area di armatura in corrispondenza del lembo di monte in [mq]

 $A_{\rm fi}\,$ area di armatura in corrispondenza del lembo di valle in [mq]

 $M_{\text{pf}}Momento \ di \ prima \ fessurazione espressa in [kNm]$

- M Momento agente nella sezione espressa in [kNm]
- ϵ_m deformazione media espressa in [%]
- $s_{m}\;\;$ Distanza media tra le fessure espressa in [mm]
- w Apertura media della fessura espressa in [mm]

Verifica fessurazione paramento

N°	Y	$\mathbf{A_{fs}}$	${f A_{fi}}$	$\mathbf{M}_{\mathbf{pf}}$	M	$\mathbf{\epsilon}_{\mathbf{m}}$	$S_{\mathbf{m}}$	\mathbf{w}
1	0.00	0.002655	0.001571	-66.43	0.00	0.0000	0.00	0.000
2	0.40	0.002655	0.001571	-66.43	0.00	0.0000	0.00	0.000
3	0.80	0.002655	0.001571	-66.43	-0.19	0.0000	0.00	0.000
4	1.20	0.002655	0.001571	-66.43	-0.85	0.0000	0.00	0.000
5	1.60	0.002655	0.001571	-66.43	-2.24	0.0000	0.00	0.000
6	2.00	0.002655	0.001571	-66.43	-4.69	0.0000	0.00	0.000
7	2.40	0.002655	0.001571	-66.43	-8.71	0.0000	0.00	0.000
8	2.80	0.002655	0.001571	-66.43	-14.88	0.0000	0.00	0.000
9	3.20	0.002655	0.001571	-66.43	-23.74	0.0000	0.00	0.000
10	3.60	0.002655	0.001571	-66.43	-35.81	0.0000	0.00	0.000
11	4.00	0.002655	0.001571	-66.43	-51.52	0.0000	0.00	0.000
12	4.00	0.002655	0.001571	-473.07	-65.18	0.0000	0.00	0.000
13	4.40	0.002655	0.001571	-473.07	-87.62	0.0000	0.00	0.000
14	4.80	0.002655	0.001571	-473.07	-114.38	0.0000	0.00	0.000

Cod. elab.: 014RI213-MU83-6-CL-241_A	Titolo: OPERE D'ARTE MINORI - MURI IN C.A.	Data: Aprile 2011
Nome file: 014RI213-MU83-6-CL-241_A.docx	MU.83 - Muro di sottoscarpa 49.94 mt - da 20+873.00 a 20+921.54	<i>Pagina</i> 123 di 130
Nome file: 014K1213-W003-0-CL-241_A.docx	Relazione di calcolo	1 agma 123 di 130

			PROGETTO	ESECUTIVO				
15 5.20	0.002655	0.001571	-473.07	-146.03	0.0000	0.00	0.000	
16 5.60	0.002655	0.001571	-473.07	-183.14	0.0000	0.00	0.000	
17 6.00	0.002655	0.001571	-473.07	-226.28	0.0000	0.00	0.000	
18 6.40	0.002655	0.001571	-473.07	-276.01	0.0000	0.00	0.000	
19 6.80	0.002655	0.001571	-473.07	-332.76	0.0000	0.00	0.000	
20 7.20	0.002655	0.003142	-478.10	-397.20	0.0000	0.00	0.000	
21 7.60	0.002655	0.001571	-473.07	-470.55	0.0000	0.00	0.000	
22 8.00	0.002655	0.001571	-473.07	-553.52	0.0294	173.71	0.087	

Verifica fessurazione fondazione

N° Y	$\mathbf{A}_{\mathbf{fs}}$	${f A_{fi}}$	$\mathbf{M}_{\mathbf{pf}}$	M	$\boldsymbol{\epsilon}_{\mathrm{m}}$	$\mathbf{s}_{\mathbf{m}}$	w
1 -2.20	0.000000	0.000000	-564.75	0.00	0.0000	0.00	0.000
2 -2.03	0.000000	0.005309	646.93	3.20	0.0000	0.00	0.000
3 -1.86	0.002655	0.005309	657.57	12.79	0.0000	0.00	0.000
4 -1.69	0.002655	0.005309	657.57	28.78	0.0000	0.00	0.000
5 -1.52	0.002655	0.005309	657.57	51.17	0.0000	0.00	0.000
6 -1.35	0.002655	0.005309	657.57	79.97	0.0000	0.00	0.000
7 -1.18	0.002655	0.005309	657.57	115.19	0.0000	0.00	0.000
8 -1.01	0.002655	0.005309	657.57	156.82	0.0000	0.00	0.000
9 -0.84	0.002655	0.005309	657.57	204.87	0.0000	0.00	0.000
10 -0.67	0.002655	0.005309	657.57	259.35	0.0000	0.00	0.000
11 -0.50	0.002655	0.005309	657.57	320.26	0.0000	0.00	0.000
12 0.90	0.002655	0.005309	-625.82	-647.61	0.0482	173.71	0.142
13 1.38	0.002655	0.005309	-625.82	-563.89	0.0000	0.00	0.000
14 1.86	0.002655	0.005309	-625.82	-477.00	0.0000	0.00	0.000
15 2.34	0.002655	0.005309	-625.82	-391.10	0.0000	0.00	0.000
16 2.82	0.002655	0.005309	-625.82	-309.26	0.0000	0.00	0.000
17 3.30	0.002655	0.005309	-625.82	-231.78	0.0000	0.00	0.000
18 3.78	0.002655	0.005309	-625.82	-159.46	0.0000	0.00	0.000
19 4.26	0.002655	0.005309	-625.82	-95.94	0.0000	0.00	0.000
20 4.74	0.002655	0.005309	-625.82	-45.41	0.0000	0.00	0.000
21 5.22	0.002655	0.005309	-625.82	-12.03	0.0000	0.00	0.000
22 5.70	0.000000	0.000000	-564.75	0.00	0.0000	0.00	0.000

Cod. elab.: 014RI213-MU83-6-CL-241_A	Titolo: OPERE D'ARTE MINORI - MURI IN C.A.	Data: Aprile 2011
Nome file: 014RI213-MU83-6-CL-241_A.docx	MU.83 - Muro di sottoscarpa 49.94 mt - da 20+873.00 a 20+921.54	<i>Pagina</i> 124 di 130
	Relazione di calcolo	

Inviluppo Sollecitazioni paramento

L'ordinata Y(espressa in [m]) è considerata positiva verso il basso con origine in testa al muro

Momento positivo se tende le fibre contro terra (a monte), espresso in [kNm]

Sforzo normale positivo di compressione, espresso in [kN]

Taglio positivo se diretto da monte verso valle, espresso in [kN]

Inviluppo combinazioni SLU

Nr.Y	Nmin	Nmax	Mmin	Mmax	Tmin	Tmax
10.00	0.0000	0.0000	0.0000	0.0000	0.0000	0.0000
21.20	16.6430	19.8202	1.1030	5.5229	4.0138	12.6151
32.40	36.5718	44.9075	10.8342	31.7755	16.0553	38.3779
43.60	59.7866	76.0901	38.8268	97.2535	36.1244	79.3556
54.40	172.4887	203.3429	54.6505	188.8639	53.9636	132.4058
65.60	228.1800	273.2532	126.9483	369.5495	87.4121	205.9445
76.80	287.1572	353.0922	241.3869	646.5103	128.8882	302.0302
88.00	349.3620	437.7353	407.6322	1042.7752	178.2600	410.1077

Inviluppo combinazioni SLE

Nr.Y	Nmin	Nmax	Mmin	Mmax	Tmin	Tmax
10.00	0.0000	0.0000	0.0000	0.0000	0.0000	0.0000
21.20	16.5461	16.5461	0.8485	0.8485	3.0876	3.0876
32.40	37.1685	37.1685	8.7106	8.7106	14.3152	14.3152
43.60	63.7809	63.7809	35.8107	35.8107	37.5047	37.5047
54.40	186.3613	186.3613	87.6238	87.6238	71.8130	71.8130
65.60	249.6668	249.6668	183.1372	183.1372	114.3592	114.3592
76.80	319.4543	319.4543	332.7636	332.7636	169.8495	169.8495
88.00	397.5290	397.5290	553.5225	553.5225	241.8891	241.8891

Inviluppo Sollecitazioni fondazione di valle

Cod. elab.: 014RI213-MU83-6-CL-241_A	Titolo: OPERE D'ARTE MINORI - MURI IN C.A.	Data: Aprile 2011
N. C. OLANGIA MUSIC CLICAL A L.	MU.83 - Muro di sottoscarpa 49.94 mt - da 20+873.00 a 20+921.54	
Nome file: 014RI213-MU83-6-CL-241_A.docx	Relazione di calcolo	Pagina 125 di 130

L'ascissa X(espressa in m) è considerata positiva verso monte con origine in corrispondenza dell'estremo libero della fondazione di valle Momento positivo se tende le fibre inferiori, espresso in [kNm]

Taglio positivo se diretto verso l'alto, espresso in [kN]

Inviluppo combinazioni SLU

Nr.X	Mmin	Mmax	Tmin	Tmax
10.17	1.6982	4.8309	20.0405	56.7074
20.68	27.6757	76.2572	82.3891	222.2510
31.19	86.3029	230.3594	148.0783	380.9266
41.70	179.2835	463.6348	217.1081	532.7342

Inviluppo combinazioni SLE

Nr.X	Mmin	Mmax	Tmin	Tmax
10.17	3.0977	3.1960	36.4549	37.6039
20.68	49.6528	51.1706	146.2123	150.5707
31.19	152.3344	156.8177	256.5588	263.7704
41.70	311.4429	320.2560	367.4943	377.2028

Inviluppo Sollecitazioni fondazione di monte

L'ascissa X(espressa in m) è considerata positiva verso valle con origine in corrispondenza dell'estremo libero della fondazione di monte Momento positivo se tende le fibre inferiori, espresso in [kNm]

Taglio positivo se diretto verso l'alto, espresso in [kN]

Inviluppo combinazioni SLU

Nr.X	Mmin	Mmax	Tmin	Tmax
10.48	-23.9571	1.1477	-97.4188	4.4039
21.92	-326.8727	9.6475	-301.1017	3.9965
33.36	-832.2320	2.8517	-387.9982	-16.8398
44.80	-1401.8077	-48.6571	-381.0219	-58.1051

Inviluppo combinazioni SLE

Cod. elab.: 014RI213-MU83-6-CL-241_A	Titolo: OPERE D'ARTE MINORI - MURI IN C.A.	Data: Aprile 2011
Name Clas 014D1212 M1192 & Cl. 241 A decre	MU.83 - Muro di sottoscarpa 49.94 mt - da 20+873.00 a 20+921.54	
Nome file: 014RI213-MU83-6-CL-241_A.docx	Relazione di calcolo	Pagina 126 di 130

Nr.X	Mmin	Mmax	Tmin	Tmax
10.48	-12.0331	-11.6038	-48.7500	-47.0139
21.92	-159.4603	-153.8035	-142.9435	-137.8926
33.36	-391.1045	-377.4918	-175.1257	-169.6003
44.80	-647.6147	-627.4078	-168.2104	-165.0506

Inviluppo armature e tensioni nei materiali del muro

L'ordinata Y(espressa in [m]) è considerata positiva verso il basso con origine in testa al muro

- B base della sezione espressa in [m]
- H altezza della sezione espressa in [m]
- $A_{\text{fs}}\,$ area di armatura in corrispondenza del lembo di monte in [mq]
- $A_{\rm fi}\,$ area di armatura in corrispondenza del lembo di valle in [mq]
- σ_c tensione nel calcestruzzo espressa in [MPa]
- τ_c $\,$ tensione tangenziale nel calcestruzzo espressa in [MPa]
- $\sigma_{\text{fs}}\,$ tensione nell'armatura disposta sul lembo di monte in [MPa]
- $\sigma_{\scriptscriptstyle fi}\,$ tensione nell'armatura disposta sul lembo di valle in [MPa]
- $N_{\rm u}\,$ sforzo normale ultimo espresso in [kN]
- M_u momento ultimo espresso in [kNm]
- CS coefficiente sicurezza sezione

VRcd Aliquota di taglio assorbito dal cls, espresso in [kN]

VRsd Aliquota di taglio assorbito dall'armatura, espresso in [kN]

VRd Resistenza al taglio, espresso in [kN]

Inviluppo SLU

Nr.	Y	В, Н	$\mathbf{A_{fs}}$	${f A_{fi}}$	N_u	$\mathbf{M}_{\mathbf{u}}$	CS	$\mathbf{V}_{\mathbf{Rd}}$	$\mathbf{V}_{\mathbf{Rcd}}$	$\mathbf{V}_{\mathbf{R}\mathbf{s}\mathbf{d}}$
1	0.00	1.00, 0.50	0.002655	0.001571	0.00	0.00	1000.00	208.13		
2	1.20	1.00, 0.50	0.002655	0.001571	2600.85	-373.94	131.22	210.43		
3	2.40	1.00, 0.50	0.002655	0.001571	816.10	-577.45	18.17	213.27		
4	3.60	1.00, 0.50	0.002655	0.001571	391.64	-500.57	5.15	216.65		
5	4.40	1.00, 1.40	0.002655	0.001571	3412.64	-3183.68	16.86	417.71		
6	5.60	1.00, 1.40	0.002655	0.001571	1756.97	-2376.13	6.43	426.21		

Cod. elab.: 014RI213-MU83-6-CL-241_A	Titolo: OPERE D'ARTE MINORI - MURI IN C.A.	Data: Aprile 2011
Nome file: 014RI213-MU83-6-CL-241_A.docx	MU.83 - Muro di sottoscarpa 49.94 mt - da 20+873.00 a 20+921.54	<i>Pagina</i> 127 di 130
	Relazione di calcolo	1 00,000 127 01 150

7 6.80	1.00, 1.40 0.002655 0.001571	1083.28 -1983.49	3.07	435.29	
8 8.00	1.00, 1.40 0.002655 0.001571	751.44 -1790.08	1.72	444.94	
Inviluppo S	SLE				

Nr.	Y	В, Н	$\mathbf{A}_{\mathbf{fs}}$	${f A_{fi}}$	$\sigma_{\rm c}$	$ au_{\mathrm{c}}$	σ_{fs}	$\sigma_{\rm fi}$
1	0.00	1.00, 0.50	0.002655	0.001571	0.000	0.000	0.000	0.000
2	1.20	1.00, 0.50	0.002655	0.001571	0.048	0.008	-0.228	-0.666
3	2.40	1.00, 0.50	0.002655	0.001571	0.284	0.037	2.723	-3.480
4	3.60	1.00, 0.50	0.002655	0.001571	1.115	0.098	23.016	-12.306
5	4.40	1.00, 1.40	0.002655	0.001571	0.423	0.063	3.394	-5.983
6	5.60	1.00, 1.40	0.002655	0.001571	0.934	0.100	17.894	-12.833
7	6.80	1.00, 1.40	0.002655	0.001571	1.753	0.148	49.055	-23.498
8	8.00	1.00, 1.40	0.002655	0.001571	2.940	0.211	100.749	-38.733

Inviluppo armature e tensioni nei materiali della fondazione

Simbologia adottata

- B base della sezione espressa in [m]
- H altezza della sezione espressa in [m]
- $A_{\rm fi}\,$ area di armatura in corrispondenza del lembo inferiore in [mq]
- $A_{\mbox{\scriptsize fs}}$ area di armatura in corrispondenza del lembo superiore in [mq]
- σ_c tensione nel calcestruzzo espressa in [MPa]
- τ_c $\,$ tensione tangenziale nel calcestruzzo espressa in [MPa]
- $\sigma_{\scriptscriptstyle fi}~$ tensione nell'armatura disposta in corrispondenza del lembo inferiore in [MPa]
- $\sigma_{\text{fs}}\,$ tensione nell'armatura disposta in corrispondenza del lembo superiore in [MPa]
- $N_u \; s forzo \; normale \; ultimo \; espresso \; in \; [kN]$
- M_u momento ultimo espresso in [kNm]
- CS coefficiente sicurezza sezione

VRcd Aliquota di taglio assorbito dal cls, espresso in [kN]

VRsd Aliquota di taglio assorbito dall'armatura, espresso in [kN]

VRd Resistenza al taglio, espresso in [kN]

Fondazione di valle

Cod. elab.: 014RI213-MU83-6-CL-241_A	Titolo: OPERE D'ARTE MINORI - MURI IN C.A.	Data: Aprile 2011
Name Star 014D1212 MH92 6 CL 241 A door	MU.83 - Muro di sottoscarpa 49.94 mt - da 20+873.00 a 20+921.54	
Nome file: 014RI213-MU83-6-CL-241_A.docx	Relazione di calcolo	Pagina 128 di 130

(L'ascissa X, espressa in [m], è positiva verso monte con origine in corrispondenza dell'estremo libero della fondazione di valle)

Inviluppo SLU

Nr.	Y	В, Н	$\mathbf{A}_{\mathbf{fs}}$	${f A_{fi}}$	N_u	$\mathbf{M}_{\mathbf{u}}$	CS	$\mathbf{V}_{\mathbf{Rd}}$	$\mathbf{V}_{\mathbf{Rcd}}$	$\mathbf{V}_{\mathbf{R}\mathbf{s}\mathbf{d}}$
1	0.17	1.00, 1.60	0.000000	0.005309	0.00	3031.63	627.55	487.75		
2	0.68	1.00, 1.60	0.002655	0.005309	0.00	3083.52	40.44	487.75		
3	1.19	1.00, 1.60	0.002655	0.005309	0.00	3083.52	13.39	4545.13	4545.13319	515.05
4	1.70	1.00, 1.60	0.002655	0.005309	0.00	3083.52	6.65	4545.13	4545.13639	030.11
Inv	iluppo	<u>SLE</u>								

Nr.	X	В, Н	$\mathbf{A_{fs}}$	${f A_{fi}}$	$\sigma_{\rm c}$	$ au_{\mathrm{c}}$	$\sigma_{\rm fi}$	σ_{fs}
5	0.17	1.00, 1.60	0.000000	0.005309	0.011	0.029	0.427	0.000
6	0.68	1.00, 1.60	0.002655	0.005309	0.154	0.114	6.738	-2.016
7	1.19	1.00, 1.60	0.002655	0.005309	0.472	0.200	20.649	-6.178
8	1.70	1.00, 1.60	0.002655	0.005309	0.963	0.286	42.169	-12.618

Fondazione di monte

(L'ascissa X, espressa in [m], è positiva verso valle con origine in corrispondenza dell'estremo libero della fondazione di monte)

Inviluppo SLU

Nr. Y	В, Н	$\mathbf{A_{fs}}$	${f A_{fi}}$	N_u	$\mathbf{M}_{\mathbf{u}}$	CS	$\mathbf{V}_{\mathbf{Rd}}$	$\mathbf{V}_{\mathbf{Rcd}}$	$\mathbf{V}_{\mathbf{R}\mathbf{s}\mathbf{d}}$
1 0.48	1.00, 1.60	0.002655	0.005309	0.00	-1563.23	65.25	487.75		
2 1.92	1.00, 1.60	0.002655	0.005309	0.00	-1563.23	4.78	487.75		
3 3.36	1.00, 1.60	0.002655	0.005309	0.00	-1563.23	1.88	0.00		
4 4.80	1.00, 1.60	0.002655	0.005309	0.00	-1563.23	1.12	0.00		

Inviluppo SLE

Nr. X	В, Н	$\mathbf{A_{fs}}$	$\mathbf{A_{fi}}$	$\sigma_{\rm c}$	$ au_{ m c}$	$\sigma_{ m fi}$	σ_{fs}
5 0.48	1.00, 1.60	0.002655	0.005309	0.042	-0.037	-0.506	3.073
6 1.92	1.00, 1.60	0.002655	0.005309	0.553	-0.108	-6.711	40.726
7 3.36	1.00, 1.60	0.002655	0.005309	1.356	-0.133	-16.461	99.889

Cod. elab.: 014RI213-MU83-6-CL-241_A	Titolo: OPERE D'ARTE MINORI - MURI IN C.A.	Data: Aprile 2011
Nome file: 014RI213-MU83-6-CL-241_A.docx	MU.83 - Muro di sottoscarpa 49.94 mt - da 20+873.00 a 20+921.54	<i>Pagina</i> 129 di 130
ivome fue. 014Rt215-W005-0-CL-241_A.docx	Relazione di calcolo	1 agina 12) di 130

$\label{lem:corrido} Corrido io Plurimo da le Tirrenico - Nord Europa / Itinerario Agrigento - Caltanissetta - A19 / S.S.~n°~640~" di Porto Empedocle" \\ Ammo dernamento e adeguamento alla Cat.~B~del~D.M.~5.11.2001~dal~km~44+000~allo~svincolo~con~l'A19$

PROGETTO ESECUTIVO

8 4.80 1.00, 1.60 0.002655 0.005309 2.245 -0.128 -27.257 165.402

Cod. elab.: 014RI213-MU83-6-CL-241_A	Titolo: OPERE D'ARTE MINORI - MURI IN C.A.	Data: Aprile 2011
Nome file: 014RI213-MU83-6-CL-241_A.docx	MU.83 - Muro di sottoscarpa 49.94 mt - da 20+873.00 a 20+921.54	<i>Pagina</i> 130 di 130
	Relazione di calcolo	100 41 100